



SCIENTIFIQUE  
ET MÉDICALE DE GRENOBLE

THESE DE DOCTORAT DE SPÉCIALITÉ

Géologie appliquée

Option : Pétrologie - Métallogénie

RICHARD (A.)  
EX. n° I  
Vol. II  
+ 2 cartes Ph.t.

**LE DISTRICT AURIFERE DE CHALLANT (VAL D'AOSTE - ITALIE) :  
GITOLOGIE, GÉOCHIMIE ET MÉTALLOGÉNIE DE L'OR**

J

- 6 MAI 1981

UNIVERSITE DE GRENOBLE 1  
INSTITUT DE GEOLOGIE  
DOCUMENTATION  
RUE MAURICE GIGNOUX  
F 38031 GRENOBLE CEDEX  
TEL. (76) 87.46.43

par Annick RICHARD

30 AOUT 2003

Univ. J. Fourier - O.S.U.G.  
MAISON DES GEOSCIENCES  
DOCUMENTATION  
F. 38041 GRENOBLE CEDEX  
B.P. 53  
Tel. 04 76 63 54 27 - Fax 04 76 51 40 58  
Mail : ptalour@ujf-grenoble.fr

figures et tableaux

UNIVERSITÉ SCIENTIFIQUE  
ET MÉDICALE DE GRENOBLE

THESE DE DOCTORAT DE SPÉCIALITÉ

Géologie appliquée  
Option : Pétrologie - Métallogénie

LE DISTRICT AURIFERE DE CHALLANT (VAL D'AOSTE - ITALIE) :  
GITOLOGIE, GÉOCHIMIE ET MÉTALLOGÉNIE DE L'OR

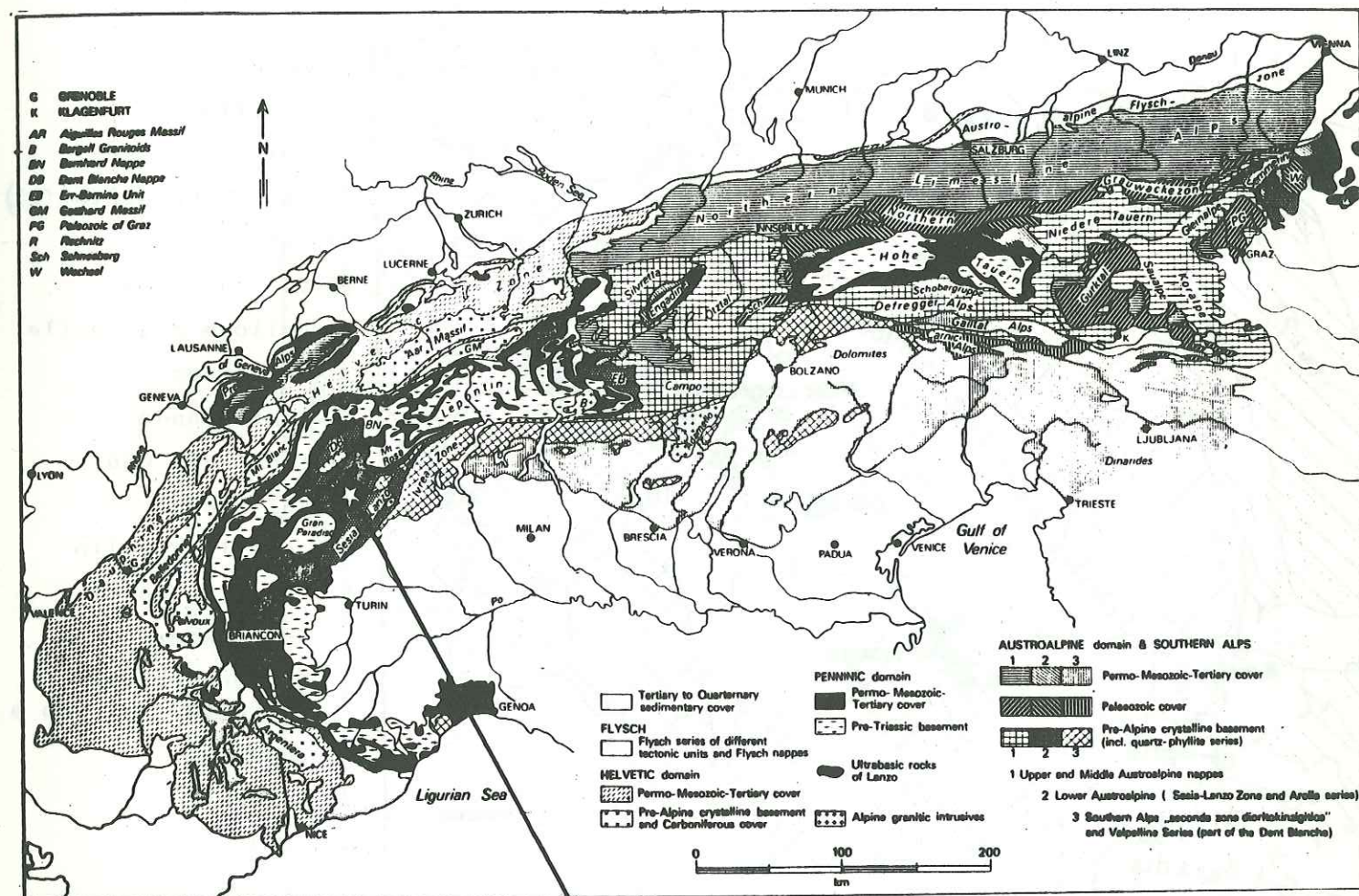
- 6 MAI 1981

UNIVERSITE DE GRENOBLE 1  
INSTITUT DE GEOLOGIE  
DOCUMENTATION  
RUE MAURICE - GIGNOUX  
F 38031 GRENOBLE CEDEX  
TEL. (76) 87.46.43

par Annick RICHARD

figures et tableaux

Fig. 1: Situation du district de Challant sur la carte tectonique schématique des Alpes (d'après E. NIGGLI, 1978).

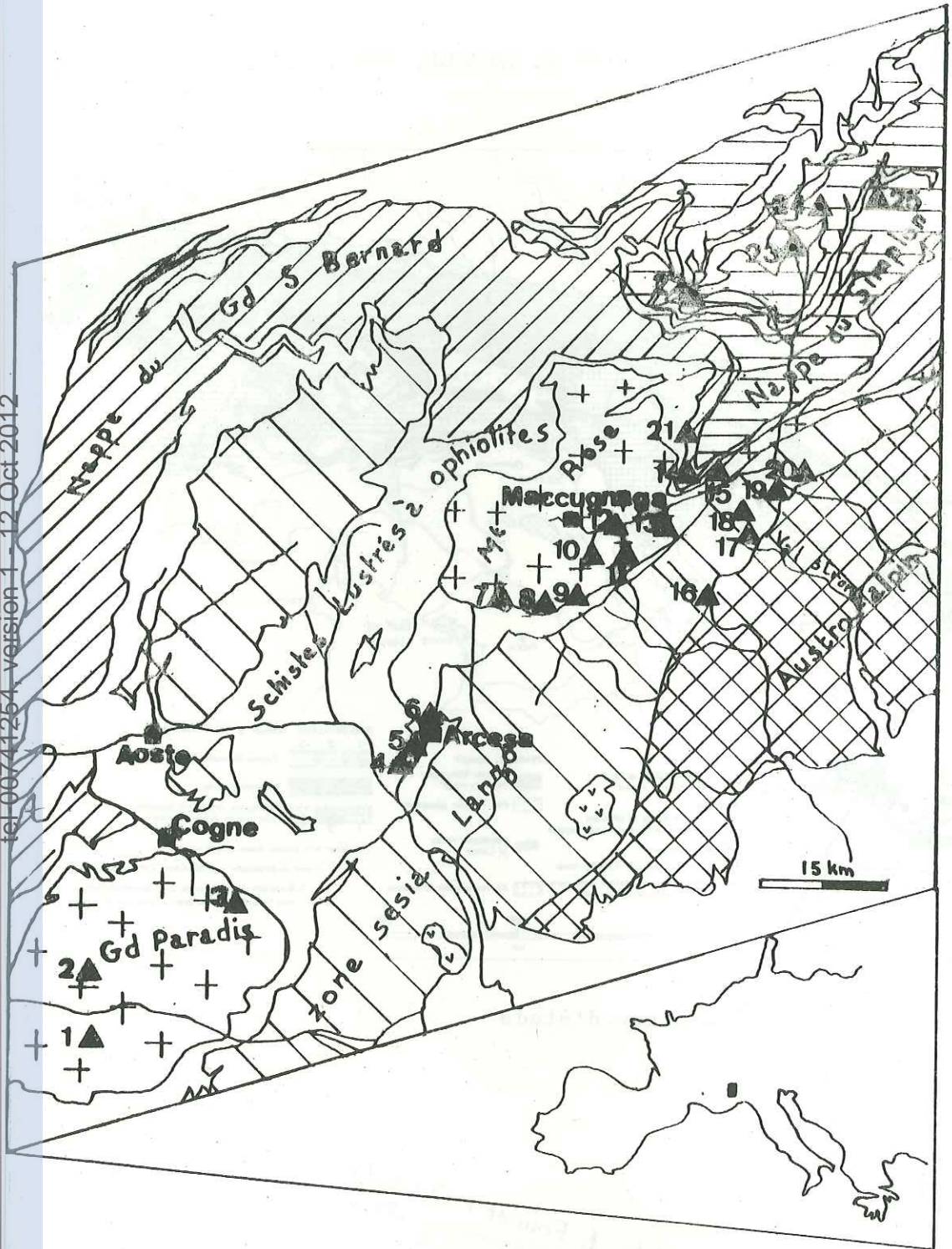


Secteur d'étude

Univ. J. Fourier - O.S.U.G.  
MAISON DES GEOSCIENCES  
DOCUMENTATION  
F. 38041 B.P. 53  
Tél. 04 76 63 54 27 - Fax 04 76 51 40 58  
Mail : ptalour@ujf.grenoble.fr

30 AOUT 2003

Fig. 2 : Les gisements aurifères des Alpes occidentales (d'après Mitttenlocher, 1951).



- 1 Bellagarda
- 2 Cuccagna
- 3 Valleile
- 4 Challant
- 5 Bechaz
- 6 Fenillaz
- 7 Col des Pisse
- 8 Alagna (Pta. Stoffel)
- 9 Colle Bud
- 10 Val Quarazza
- 11 Pallone del Badile
- 12 Pestarena
- 13 Ponte Grande
- 14 Mines des Cani
- 15 Val Bianca
- 16 Robello-Rimella
- 17 Campello Monti
- 18 Val Segnara
- 19 Rumianca (Pieve Vergonte) = Val Toppe
- 20 Vogogna
- 21 Antrona
- 22 Gondo
- 23 Crodo
- 24 Premia
- 25 Formazzola

Tab. 1 : Minéralisations aurifères des Alpes occidentales.

NOM	MORPHOLOGIE	ROCHES ENCAISSANTES	MINÉRALISATIONS	TENUEUR Au en g/t	AGE - PROCESSUS
Pestarena	Lentilles concordantes	Gn. minuti Mont Rose	Qz + Aspy aurifère + Py + C , B, G , T	25 (souvent 60)	Hydrothermal . Cycle hercynien ?
Val Quarazza	Filons discordants	Gn. oeillés Mont Rose	Aspy + Py + G + Qz	?	Hydrothermal . Cycle alpin
Pallone di Badile	"	"	"	20 ( I à 150 ) ( I à 160 )	
Alagna (Kreas)	"	Gn. minuti Mont Rose	Qz + Py aurifère		
Agare	Lentilles concordantes alignées	Nicaschistes Grand Saint Bernard	Qz + Py + Aspy + B , G	10 à 20	Age ?
Cani	Filons discordants	Gn. oeillés G.S.B.	Qz + Py aurifère + Aspy + G , C , B .	"	Hydrothermal . Cycle hercynien ?
Antrona	Amas stratiformes lenticulaires et ramifiés	Schistes "Robello-Rimella" de la zone Slesia-Lanzo	Qz + Py + Au dans galène + C, Aspy , G, B, scheelite " "	3 à 15	
Vogogna	Filons discordants	Gn. d'Antigorio Nappe du Simplon	Py aurifère + bismuthinite + Aspy. C	10 ( 30 à 150 )	Hydrothermal . Cycle alpin
Val Toppe		Gn. minuti Gd Paradis	G + Qz + marcassite		
Val Segnara		Gn. oeillés "	Sidérite + Qz + T + Py + C	Indice Ag ?	Hydrothermal . Cycle alpin ?
Robello-Rimella		Gn. oeillés "	"		
		Gn. minuti Arcesa	Qz + Au natif + Py + G, Cg	10 à 15	Hydrothermal . Cycle alpin
		Gn. oeillés "	Qz + Py aurifère + G, C, Cg	5 à 10	
		Prasinites Mésozoïque	"	0 à 5	Début du Tertiaire
Valleile	Filons -strates	Gn. minuti Arcesa	Qz + Au natif + Py + G, Cg	10 à 15	
Cuccagna	Filons discordants	Gn. oeillés "	Qz + Py aurifère + G, C, Cg	5 à 10	
Bellagarda	Stockworks	Gn. minuti Arcesa	"	0 à 5	
Fenillaz	Filons discordants	Gn. oeillés "	Prasinites Mésozoïque		
Bechaz	"	"			
Challant	"	"			

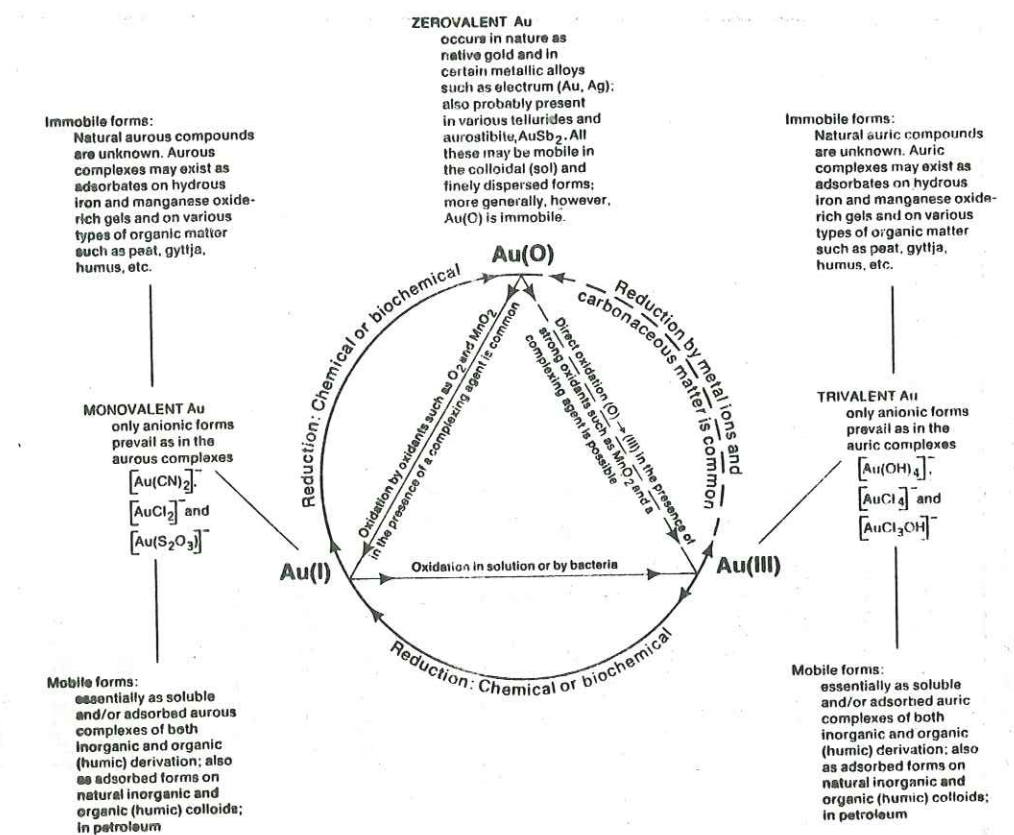
Qz = quartz , Py= pyrite , Aspy = arsénopyrite , G = galène , C = chalcopyrite ,  
B = blonde , T = tétraédrite , Cg = cuivres gris , Gn = gneiss .

FIG. 3 Cycle des conversions de l'or dans la nature d'après Boyle (1979).

Tab. 2 : Essai de typologie quantitative des gisements d'or du monde  
(URSS, Chine exclues; d'après Baché, 1980).

Tableau récapitulatif du stock aurifère recensé (tonnage exploité + réserves)

Groupe	Domaine structural	Type	Description du type	Tonnage métal du type recensé (tonnes)	z	z	z	Clement type	Pays
I - Gisements de type volcano-sédimentaire	Essentiellement vieux boucliers sauf Mother Lode Kuroko	1	<u>Amas sulfurés polymétalliques</u> 1.a liés à un volcanisme calco-alcalin 1.b liés à un volcanisme basique de nature ophiolitique 1.c encalssés dans des sédiments Gisements "tabliritiques" Gisements réputés discordants en contexte volcano-sédimentaire	2 235	2,57			Horne	Canada
		2		140	0,16	2,09	19,50	Limni	Chypre
		3		140	0,16			Cobar	Australie
			3 165	3,65			11 250	Homestake	USA
					12,06			Kalgoorlie	Australie
II - Gisements de type plutono-volcanique	Essentiellement zones alpines	4	<u>Gisements porphyriques cuprifères</u> 4.a à molybdène et or 4.b à or	2 115	2,42	4,12		Bingham	USA
		5	<u>Amas de substitution ou gisements de skarns</u> 5.a à paragenèse polymétallique 5.b à or (et cuivre subordonné) 5.c à minéralisation aurifère disséminée	1 400	1,70			Panguna	Papouasie
		6	<u>Gisements filoniers centrés sur une intrusion</u> 6.a à cuivre dominant 6.b à plomb-zinc dominants 6.c à or-argent dominants Gisements filoniers encalssés dans des volcanites tertiaires riches en argent	230	0,26			Tintic	USA
		7		180	0,20	0,00		Hedley	Canada
				365	0,42			Carlin	USA
						12,00			
				282	0,32			Butte	USA
III - Gisements de type détritique	Vieux boucliers	8	<u>Placers anciens</u> 8.a niveaux conglomératiques continus 8.b niveaux conglomératiques discontinus	50.000	57,65	57,92		Mitwatersrand	Afrique du Sud
	Vieux boucliers Zones alpines	9	<u>Placers récents</u> 9.a alluviaux - fluviiaux	250	0,27			Tarkwa	Ghana
				2.525	2,91	9,50		Bendigo-Dararat	Australie
				5.790	6,67			Rio Cuca	Colombie
				86.740			99,9		



TAB. 3 Abondance de l'or dans les roches, d'après Boyle.

TYPE DE ROCHE	DISPERSION	TENEUR en µg/g
Roches sédimentaires	0,0001 - 2,5000	0,0403
Roches ignées	0,0001 - 2,9000	0,0119
Roches métamorphiques	0,0001 - 3,7000	0,0109
Croûte terrestre		0,0050
Roches ignées		
R. ultrabasiques: dunites, péridotites	0,0002 - 0,7800	0,0114
Lamprophyres	0,0007 - 0,0020	0,0016
R. basiques: gabbros, diabases	0,0003 - 0,6800	0,0230
R. intermédiaires: diorites, monzonites, granodiorites	0,0001 - 0,3500	0,0075
R. acides: granites	0,0002 - 2,9000	0,0114
Roches métamorphiques		
Marbres	0,0002 - 0,1000	0,0132
Schistes	0,0001 - 3,7000	0,0186
Amphibolites, roches vertes	0,0001 - 0,1000	0,0071
Gneiss, granulites	0,0002 - 0,3000	0,0031

Tab. 4 : Éléments en traces dans des échantillons d'or natif de gîtes soviétiques et américains.

Gisement	Au %	Ag %	Cu %	Au/Ag	Au/Cu	Éléments traces ( $\mu\text{g/g}$ ) par ordre d'abondance décroissant.
I REGION DE L'AMOUR						
Glavny-Priamurskiy mésothermal	85	Ia,I0	0,08	-	1062	Te(10000), Zn(300), Sb(300), Bi(250), W(150), Pb(70)
Takhtinsko district mésothermal	87	>I0	0,02	-	4350	As(700); Sb(700), Pb(200), Bi(100), Mo(30), Ni(10)
Kolchanskiy épithermal	65	>I0	0,004	-	16250	Zn(600), Sb(400); Pb(60), Mo(20)
Priokhotskiy entre épi. et mésothermal	80	>I0	0,01	-	8000	Sb(300), Pb(100), Bi(60), Zr(60), Mo(8)
2 NE URSS						
Filonépith. Zone supérieure	82,8	I6,4	0,003	5,04	27610	Fe (3500), As(30), Sb et Zn n.d.
Zone médiane	88,1	II,2	0,027	7,86	3265	As(20), Pb(10), Sb et Bi n.d.
Zone inf.	88,7	II,I	0,02	7,99	4437	Pb(700), As(10), Bi n.d.
3 ETATS - UNIS						
Butte (Montana) porphyry copper dep.	74,0	25,9	0,05	2,9	1500	Pb, Bi, Sb, Zn, Sn, Cr, Ni
Cable mine (Montana) pyrometasomatique	97,5	2,3	0,23	42,4	425	Bi, Pb, Te, Zn; Sb
King Solomon mine (Colorado) contact métasomatique	10,9	0,056	8,3	1600	Bi, Pb, Zn, Te,	
Diana mine (Wyoming) hypothermal	92,5	7,4	0,05	12,5	1850	As, Bi, Ni, Pb,
Little Jonny ( Colorado) mésothermal supp.	89,6	10,3	0,025	8,7	3600	Bi, Pb
Seaford mine ( Idaho) mésothermal inf.	77,6	22,3	0,016	3,5	4700	Pb, Bi, Sb
Round Mountain (Nevada) épithermal	75,5	24,4	0,002	3,1	28000	Pb, Sn, Sb, As
Hahns Peak mine (Colorado) épithermal	66,6	33,3	0,002	2,0	40000	Pb, Sb
Dixie mine (Colorado) zone d'oxydation de dépôt mésothermal	80,7	I9,2	0,001	4,2	67000	Pb

1 d'après Denisov et al (1966).

2 d'après Davidenko et al (1978).

3 d'après Antweiler et Campbell (1976).

TAB. 5 Les minéraux d'or. D'après Boyle (1979).

Native elements, alloys and metallic compounds	Au
Gold	(Au, Ag)
Argentian gold (electrum)	(Au, Cu)
Cuprian gold (cuproauride)	(Au, Pd)
Palladian gold (porpezite)	(Au, Rh)
Rhodian gold (rhodite)	(Au, Ir)
Iridic gold	(Au, Pt)
Platinum gold	(Au, Bi)
Bismuthian gold	Au <sub>2</sub> Hg <sub>3</sub> (?)
Gold amalgam	Au <sub>2</sub> Bi
Maldonite	AuCu <sub>3</sub>
Auricupride	(Cu, Pd) <sub>3</sub> Au <sub>2</sub>
Palladium cuproauride	
Sulphide	Ag <sub>3</sub> AuS <sub>2</sub>
Uytjenbogaardtite	
Tellurides	AuTe <sub>2</sub>
Calaverite	(Au, Ag)Te <sub>2</sub>
Krennerite	(Au, Sb) <sub>2</sub> Te <sub>3</sub>
Montbrayite	Ag <sub>3</sub> AuTe <sub>2</sub>
Petzite (antamokite)	(Ag, Au)Te
Muthmannite	(Au, Ag)Te <sub>4</sub>
Sylvanite	AuCuTe <sub>4</sub>
Kostovite	Pb <sub>3</sub> Au(Te, Sb) <sub>4</sub> S <sub>5-8</sub>
Nagyagite	
Antimonide	AuSb <sub>2</sub>
Aurostibite	
Selenide	Ag <sub>3</sub> AuSe <sub>2</sub>
Fischesserite	
Tellurate	
Gold tellurate (?)	

TAB. 6 Éléments associés à l'or dans les dépôts aurifères de types quartzo-aurifère, disséminés, et skarn. D'après Boyle (1979).

Les éléments de la gangue sont exclus sauf ceux présents en fortes concentrations.

PERIODIC TABLE																	
IA																	O
1 H																	2 He
3 Li	4 Be																
11 Na	12 Mg																
19 K	20 Ca																
37 Rb	38 Sr	39 Y	40 Zr	41 Nb	42 Mo	43 Tc	44 Ru	45 Rh	46 Pd	47 Ag	48 Cd	49 In	50 Sn	51 Sb	52 Te	53 I	54 Xe
55 Cs	56 Ba	57 La	72 Hf	73 Ta	74 W	75 Re	76 Os	77 Ir	78 Pt	79 Au	80 Hg	81 Tl	82 Pb	83 Bi	84 Po	85 At	86 Rn
87 Fr	88 Ra	89 Ac															
58 Ce	59 Pr	60 Nd	61 Pm	62 Sm	63 Eu	64 Gd	65 Tb	66 Dy	67 Ho	68 Er	69 Tm	70 Yb	71 Lu				
90 Th	91 Pa	92 U	93 Np	94 Pu	95 Am	96 Cm	97 Bk	98 Cf	99 E	100 Fm	101 Mv	102 No	103 Lw				

Eléments à fortes teneurs

Eléments à teneurs basses ou occasionnelles

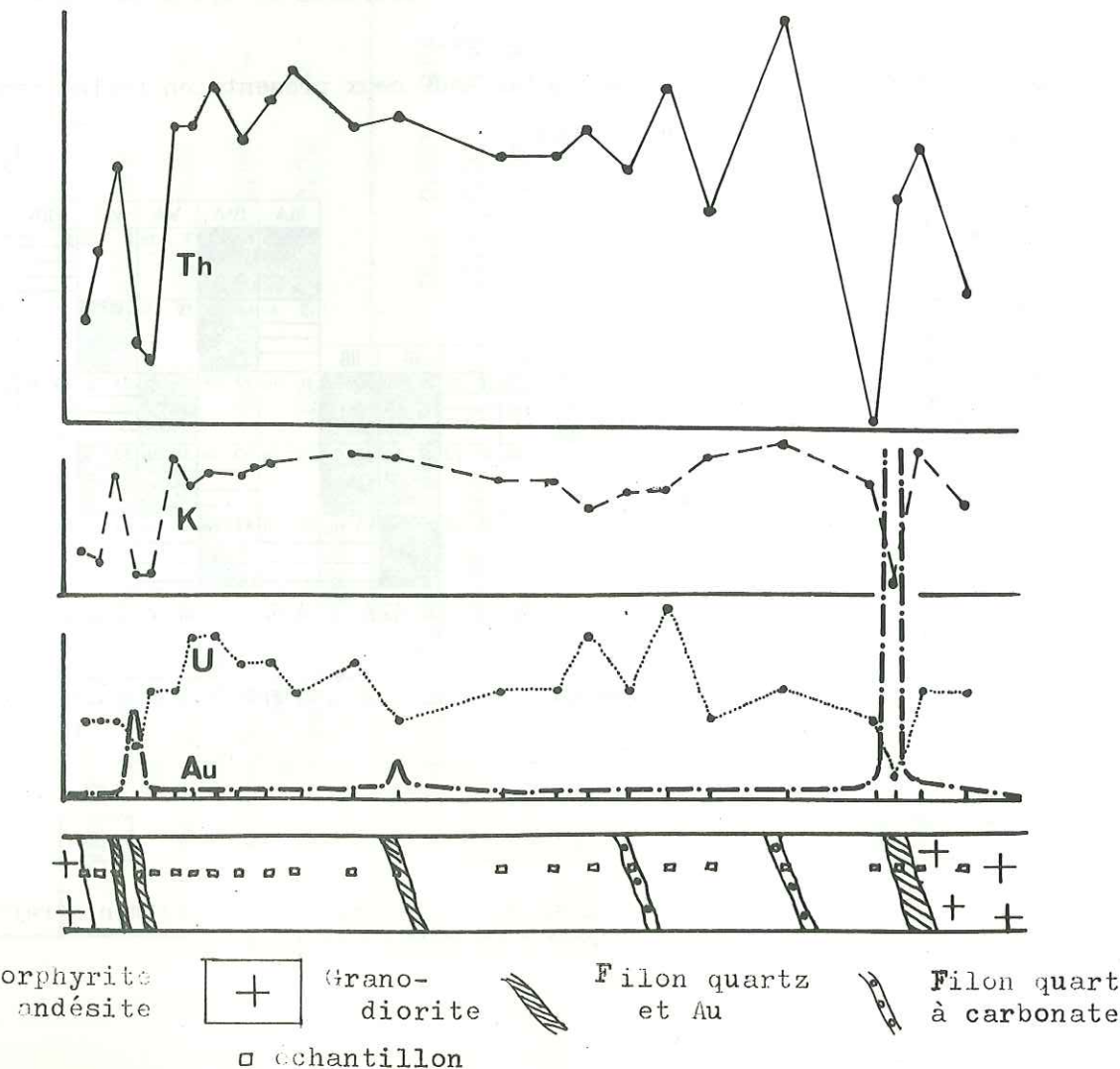
Eléments rares

TAB. 7 Dosages de U, Th, Th/Ra, K dans des roches encaissantes et minérais de gîtes aurifères de l'Ouzbékistan. D'après Savosin et al. (1977).

Type de gisement	U ug/g	Th ug/g	Th/Ra	K %
Filons de quartz + hé- tite + sulfures	Roche enc. (16)	5	12	3,53
	Minerai (10)	2,2	1,4	0,88
Filons de quartz + carbonates + sulfures	Roche enc. (13)	4,8	17,8	3,6
	Minerai (13)	0,7	1,5	1,6
Filons de quartz + peu de sulfures	Roche enc. (15)	5,4	15,4	2,7
	Minerai (10)	1,2	4,9	2,9

(10) = nombre d'échantillons dosés.

FIG. 4 Distribution de Au, U, Th, et K dans l'encaissant et le minerai de gîtes aurifères pauvres en sulfures de l'Ouzbékistan. D'après Savosin et al..



TAB. 8 Bilan des gains et pertes provoqués par l'altération de roches vertes. Exemple du district aurifère de Yellowknife, Canada, d'après Boyle, 1979.

Constituent	A-76*	A-251†	Adjusted‡	Gains and losses in constituents and losses	Percentage gains and losses	A-76*	A-250‡	Adjusted§	Gains and losses in constituents and losses	Percentage gains and losses
	(%)	(%)	(%)	(%)	(%)				(%)	(%)
SiO <sub>2</sub>	50.45	40.36	37.12	-13.33	-26.42	50.45	38.19	38.30	-12.15	-24.08
Al <sub>2</sub> O <sub>3</sub>	13.96	12.87	11.84	-2.12	-15.19	13.96	16.26	16.31	+2.35	+16.83
Fe <sub>2</sub> O <sub>3</sub>	2.00	1.06	0.97	-1.03	-51.50	2.00	0.38	0.38	-1.62	-81.00
FeO	9.61	12.00	11.04	+1.43	+14.88	9.61	3.49	3.50	-6.11	-63.58
CaO	10.23	8.94	8.22	-2.01	-19.65	10.23	11.02	11.05	+0.82	+8.02
MgO	6.53	8.43	7.75	+1.22	+18.68	6.53	5.77	5.79	-0.74	-11.33
Na <sub>2</sub> O	1.85	0.90	0.83	-1.02	-55.14	1.85	0.29	0.29	-1.56	-84.32
K <sub>2</sub> O	0.39	0.41	0.38	-0.01	-2.56	0.39	2.82	2.83	+2.44	+622.64
H <sub>2</sub> O <sup>+</sup>	2.36	5.20	4.78	+2.42	+102.54	2.36	1.16	1.16	-1.20	-50.85
H <sub>2</sub> O <sup>-</sup>	0.11	0.13	0.12	+0.01	+9.09	0.11	0.10	0.10	-0.01	-9.09
TiO <sub>2</sub>	1.02	1.05	0.97	-0.05	-4.90	1.02	0.82	0.82	-0.20	-19.61
P <sub>2</sub> O <sub>5</sub>	0.13	0.11	0.10	-0.03	-23.08	0.13	0.21	0.21	+0.08	+61.54
MnO	0.21	0.22	0.20	-0.01	-4.76	0.21	0.17	0.17	-0.04	-19.05
CO <sub>2</sub>	0.68	8.03	7.39	+6.71	+986.76	0.68	15.57	15.62	+14.94	+2197.06
S	0.22	0.12	0.11	-0.11	-50.00	0.22	3.26	3.27	+3.05	+1386.36
Cl	0.02	0.00	0.00	-0.02	-100.00	0.02	0.01	0.01	-0.01	-50.00
Cr <sub>2</sub> O <sub>3</sub>	0.03	0.03	0.03	0.00	0.00	0.03	0.00	0.00	-0.03	-100.00
C	0.04	0.12	0.11	+0.07	+175.00	0.04	0.04	0.04	0.00	0.00
Total	99.84	99.98				99.84	99.56			
Less O=S, Cl	0.10	0.05				0.10	1.22			
Net total	99.74	99.93				99.74	98.34			
Specific gravity	2.99	2.75				2.99	3.00			
			(ppm)							
Li	16	49				16	12			
Rb	11	12				11	106			
Cs	0.3	0.4				0.3	3.9			
B	15	93				15	150			
As	2	74				2	6900			
Sb	<1	26				<1	23			
Au	0.008	0.017				0.008	0.632			
Ag	0.7	0.256				0.7	1.13			
Ratios										
K <sub>2</sub> O/Na <sub>2</sub> O	0.21	0.46				0.21	9.72			
SiO <sub>2</sub> /CO <sub>2</sub>	74.19	5.03				74.19	2.45			
SiO <sub>2</sub> /H <sub>2</sub> O <sup>+</sup>										
CO <sub>2</sub> +S	15.48	3.02				15.48	1.85			
Au/Ag	0.01	0.06				0.01	0.56			

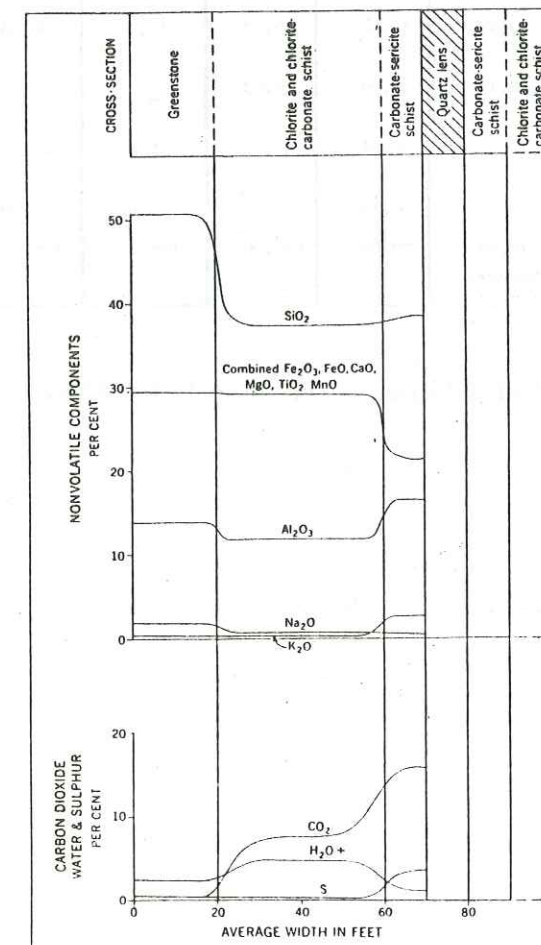
\*A-76—composite sample from epidoite-amphibolite facies (greenstone country rock).

†A-251—composite sample of chlorite-carbonate schist of shear zones. Widths vary from 1-70 ft or more.

‡A-250—composite sample of carbonatized sericitic schist of shear zones. Widths vary from 0.5 to 10 ft or more.

§Adjusted% = percentages of A-251 and A-250 multiplied by the factors 2.75/2.99 and 3.00/2.99 respectively, to reduce to a common volume.

FIG. 5 Profils des échanges chimiques produits par l'altération de roches vertes. Même exemple que le tableau . D'après Boyle, 1979.



Tab. 9 : Composition chimique (éléments majeurs) de listvénites provenant du district aurifère de Kuznetsk Ala-Tay (URSS), de la mine de Hg de New Almaden (Californie) et du Val d'Ayas (Val d'Aoste).

	REGION DE KUZNETSK ALA-TAY (URSS) in GONCHARENKO (1970)						NEW ALMADEN MINE (CALIFORNIE) in Bailey et al. (1964)			VAL D'AYAS (ITALIE)			
	Serpentinite	talc + carb.	qz + micas + carb.	Listvénites qz + talc + micas + carb.	talc + qz + carb.	qz + carb. carb.	Serpentinite	Listvénites qz+carb. stérile	qz+carb. + cinabre	Listvénites Bru 23 qz+carb. + micas	LB I		
	SiO <sub>2</sub>	40,78	33,04	32,43	20,88	43,32	30,49	20,17	35,03	35,52	34,78	35,26	25,87
Al <sub>2</sub> O <sub>3</sub>	0,96	0,26	0,49	0,25	2,53	1,03	1,16	3,19	0,84	0,72	1,50	1,50	1,65
TiO <sub>2</sub>	3,58	2,39	2,11	1,78	1,27	0,91	0,11	6,56	1,74	2,06	5,25	7,45	
V <sub>2</sub> O <sub>3</sub>	3,59	2,51	3,89	4,07	3,58	4,64	5,36	1,72	3,70	3,08	-	-	
CaO	--	--	0,69	--	1,11	0,32	0,28	n.d.	0,98	1,56	3,84	2,10	
MgO	42,93	33,64	30,20	32,33	22,51	30,09	29,76	37,00	25,87	26,14	24,42	27,41	
Na <sub>2</sub> O	--	--	0,07	--	0,10	0,05	0,05	n.d.	n.d.	n.d.	0,01	0,09	
K <sub>2</sub> O	--	--	0,15	--	0,78	0,08	--	n.d.	n.d.	n.d.	0,25	0,55	
CO <sub>2</sub>	8,20	27,16	28,59	38,16	23,65	31,50	35,05	15,02	30,71	30,86	30,40	33,52	
CO <sub>2</sub>	--	23,10	24,08	30,06	20,79	26,00	29,97	14,16	30,34	30,22	--	--	
TiO <sub>2</sub>	0,03	0,13	0,05	0,15	0,12	0,04	0,03	--	--	--	0,03	0,03	
P <sub>2</sub> O <sub>5</sub>	0,03	0,05	--	0,06	--	0,01	0,04	n.d.	n.d.	n.d.	0,02	0,01	
MnO	0,15	0,25	0,20	0,34	0,12	0,13	0,17	0,09	0,08	0,09	0,06	0,10	
Total	100,31	100,11	99,53	99,21	99,08	99,65	100,60	100,27	100,03	100,06	100,97	98,75	
qz. = quartz													
carb. = carbonates													

Pour les résultats du Val d'Ayas voir aussi le tab. (chapitre 2).

FIG. 6 Effets de la température et du pH sur la solubilité de l'or.  
D'après Seward (1973).

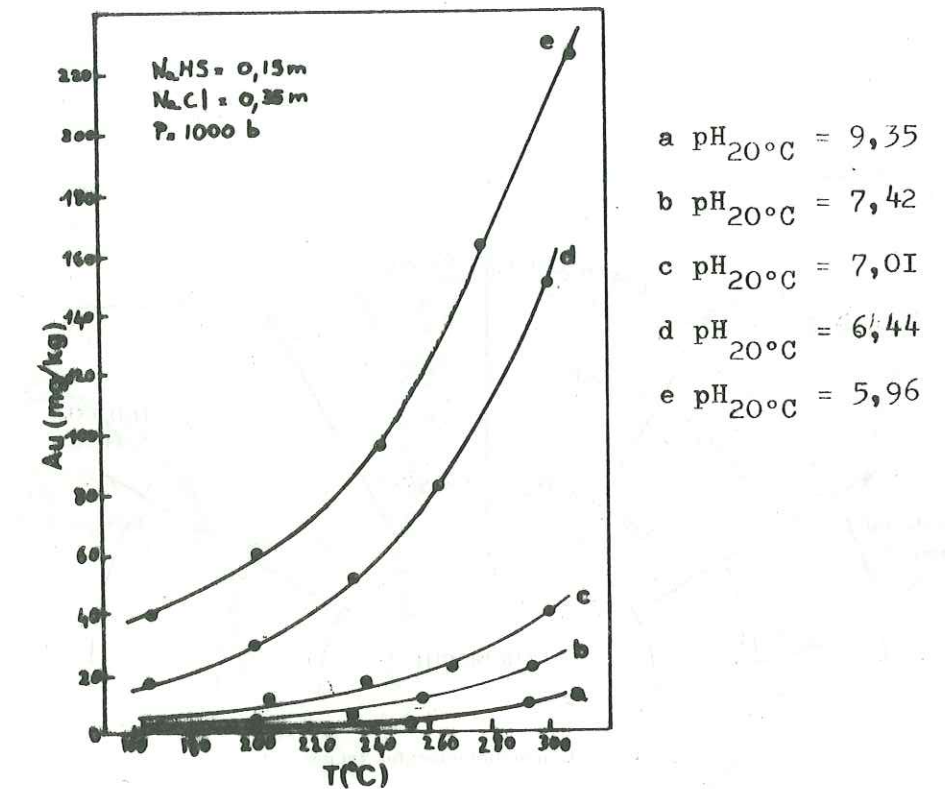


FIG. 7 Variations de la solubilité de l'or ( $m_{\text{Au}}$  molalité) avec le pH à des températures comprises entre 175 et 250 °C. D'après Seward (1973).

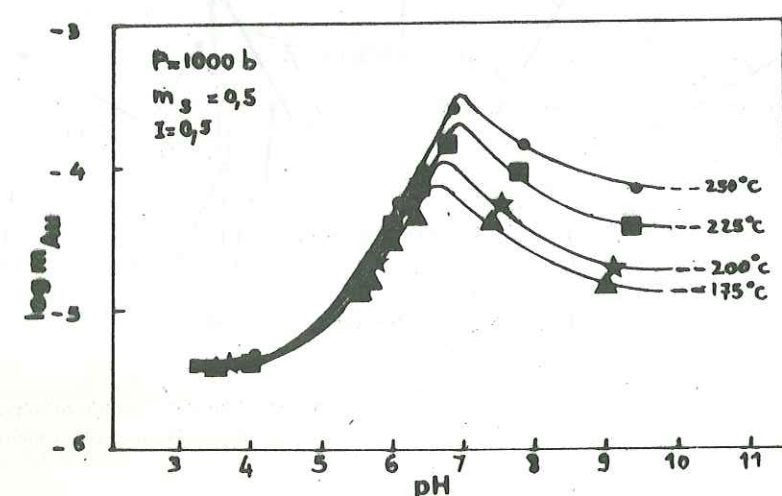


FIG. 8 Diagrammes schématiques illustrant la formation des faciès métamorphiques et des zones de cisaillement aurifères. D'après Boyle (1979).

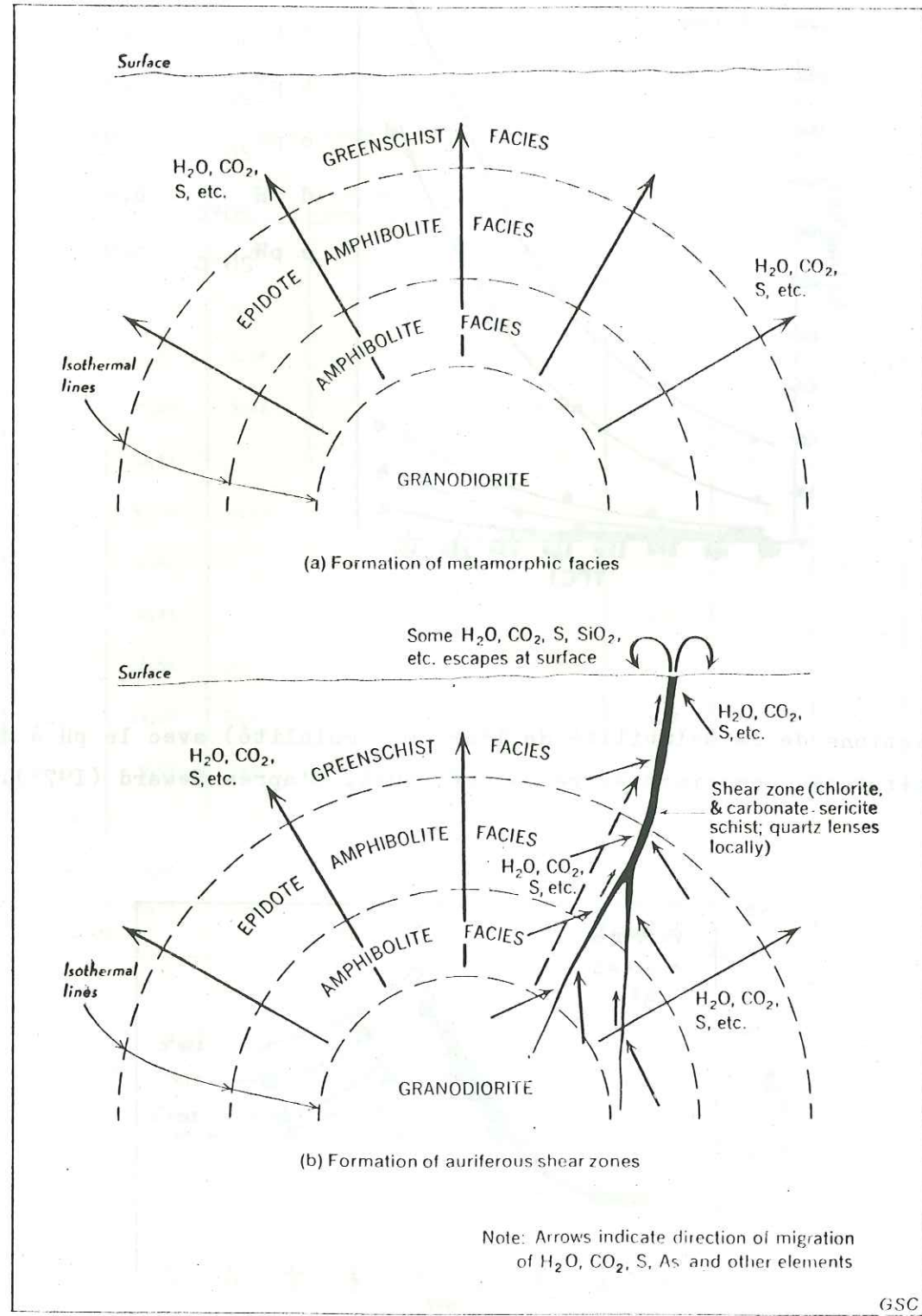
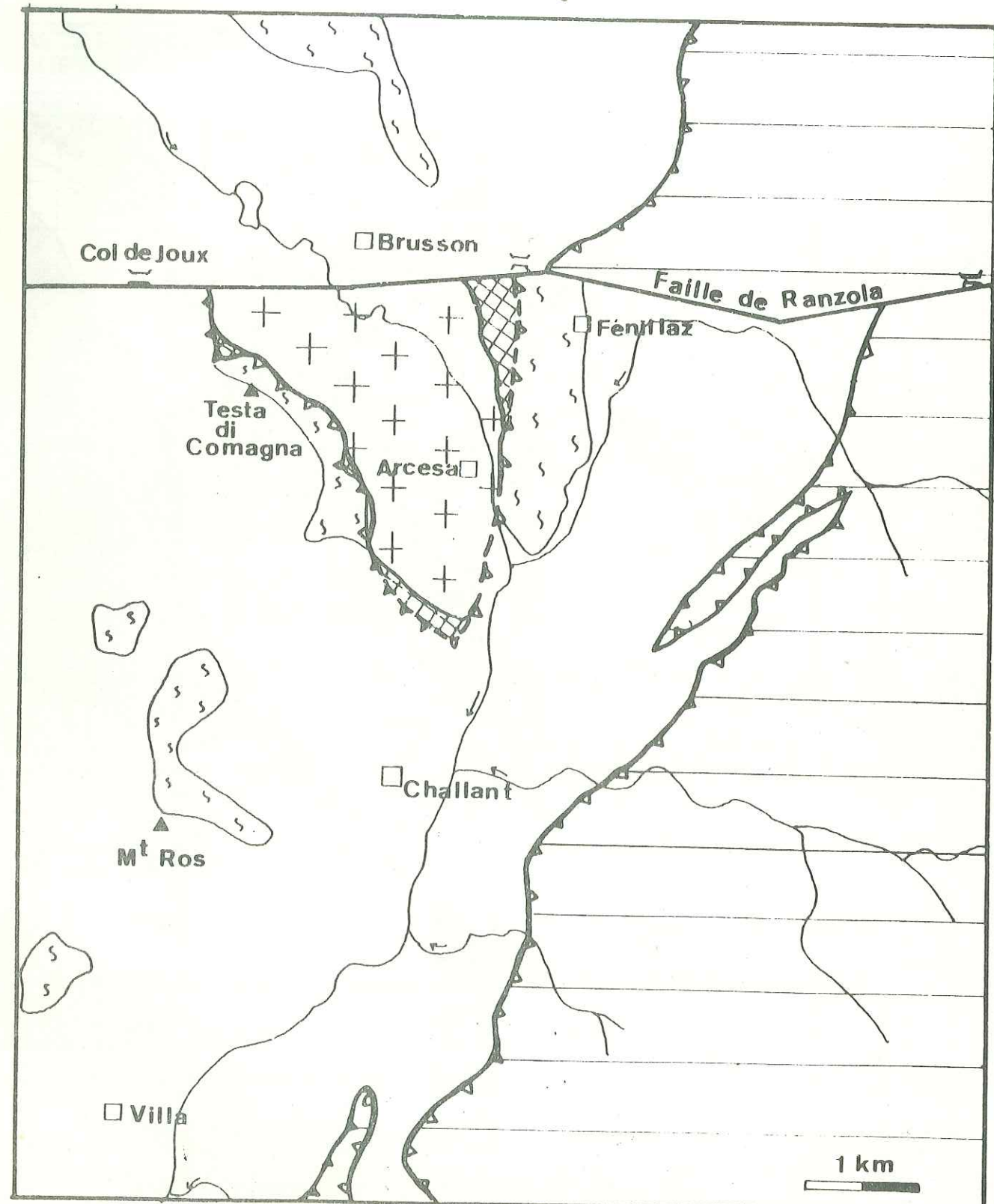
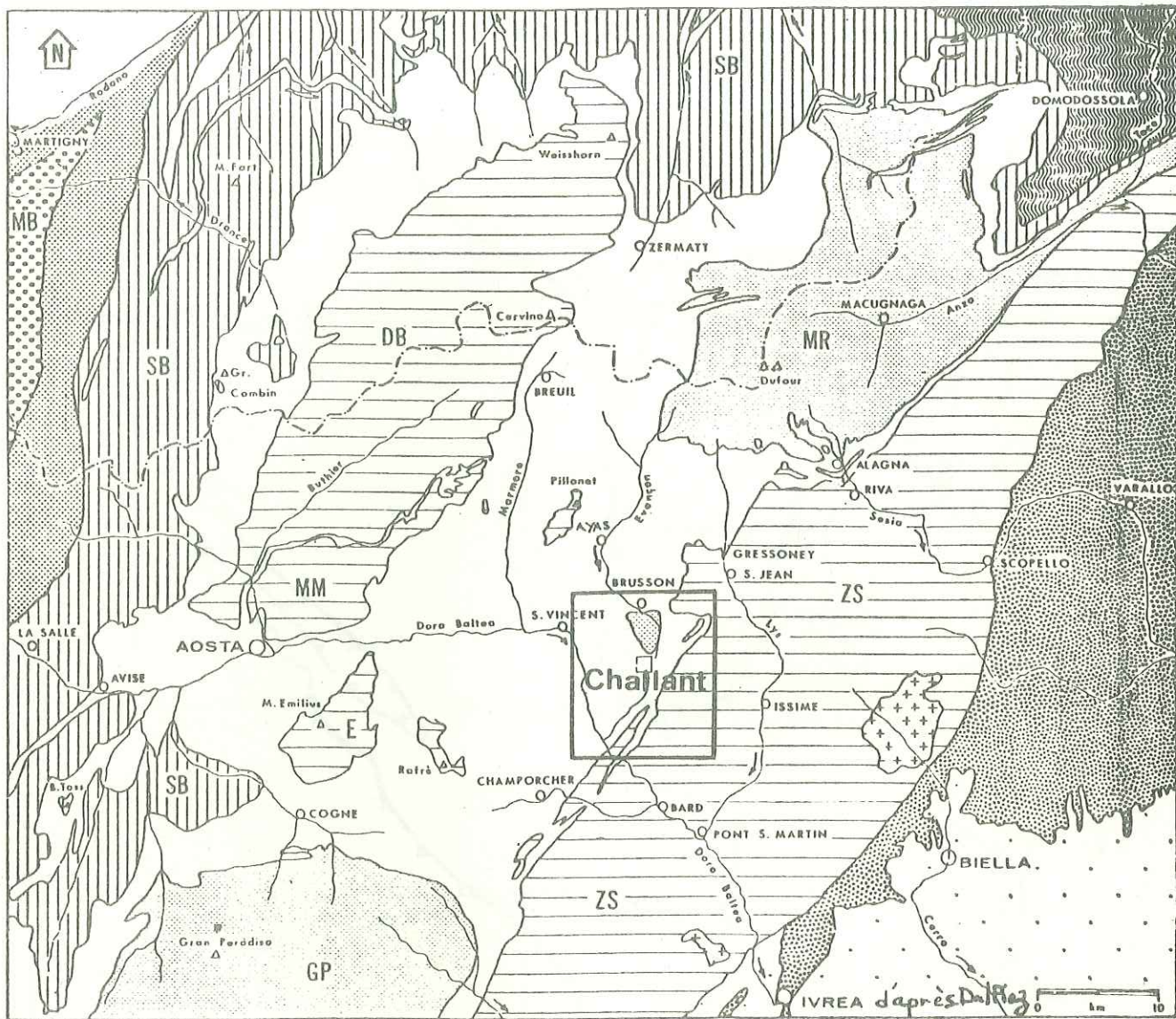


Fig. 11. Carte structurale schématique de la région de Challant.



S Nappe des Schistes  
 Lustrés à ophiolites      + Ecaille d'Arcesa      □ Nappe de la Dent Blanche  
▨ Mélange tectonique      ↙ Chevauchement

Fig. 9 : La région du Challant dans l'agencement structural des Alpes internes.



[Symbol: square]	Dépôts quaternaires	[Symbol: square]	Nappes penniques moyennes
[Symbol: plus]	Plutons tertiaires de Biella et Traversella	[Symbol: vertical lines]	Nappe du Grand Saint Bernard
[Symbol: square]	Schistes lustrés à ophiolites	[Symbol: wavy lines]	Nappe pennique inférieure
[Symbol: cross-hatch]	Alpes du Sud	[Symbol: dots]	Zone helvétique
[Symbol: horizontal lines]	Nappe de la Dent Blanche s.l.	[Symbol: dots and crosses]	Cristallin helvétique

MR = Mont Rose    GP = Grand Paradis    ZS = zone Sessia - Lanzo

Fig. 12. Coupe de la falaise orientale perpendiculaire au filon Fenillaz.

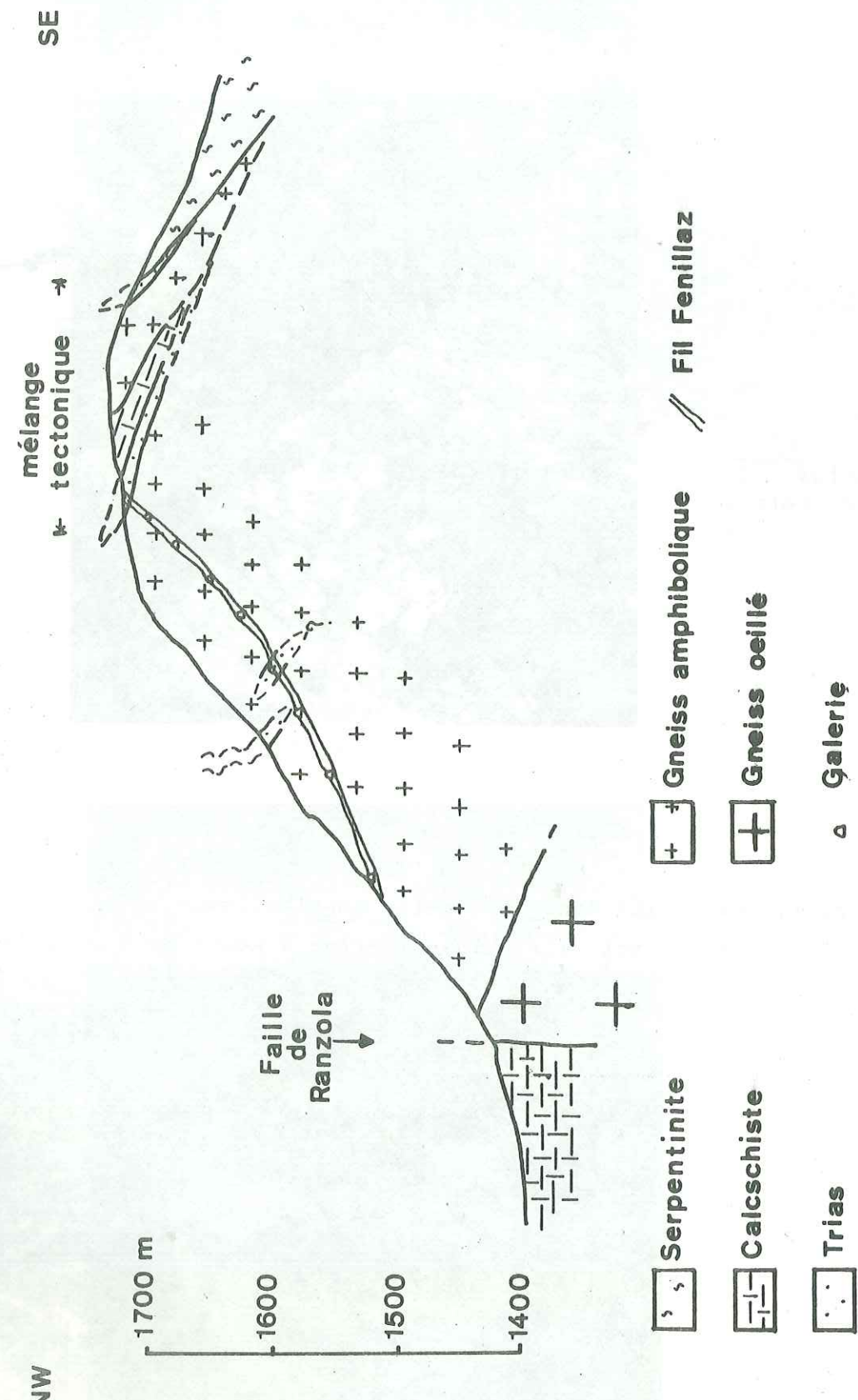


Fig. 13: Contact entre les gneiss oeillés et les neiss amphiboliques en rive gauche du torrent Évançon (altitude 1510 m).



Fig. 14: Microplis dans les neiss amphiboliques.

Le contact (fig. 13) est situé à moins de 5 m en-dessous.

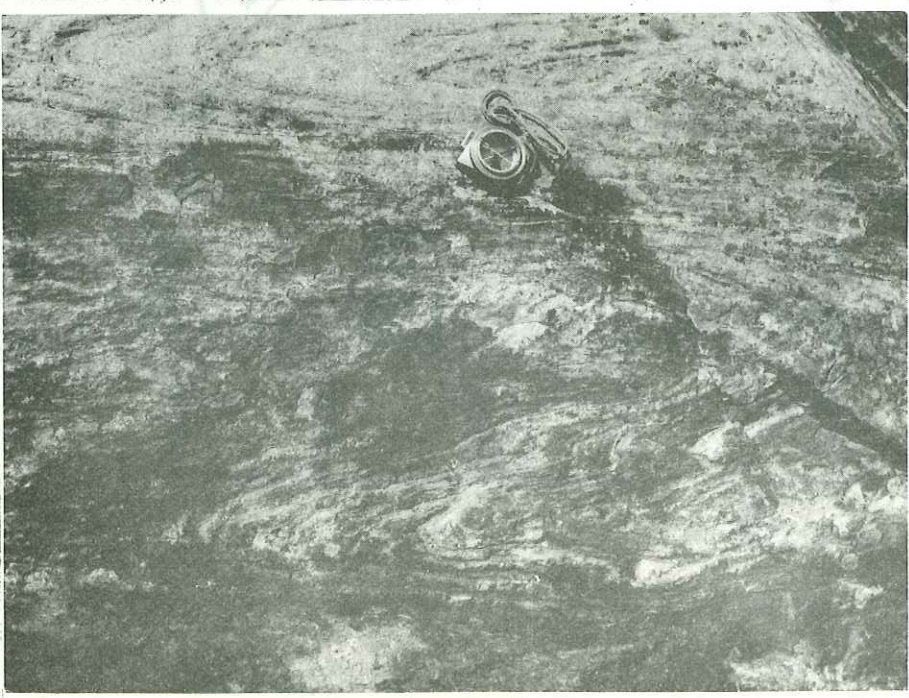


Fig. 15: Niveaux de dolomies antétriasiques remplissés dans les gneiss amphiboliques, (intérieur de la mine de Feuillaz, niveau 1).

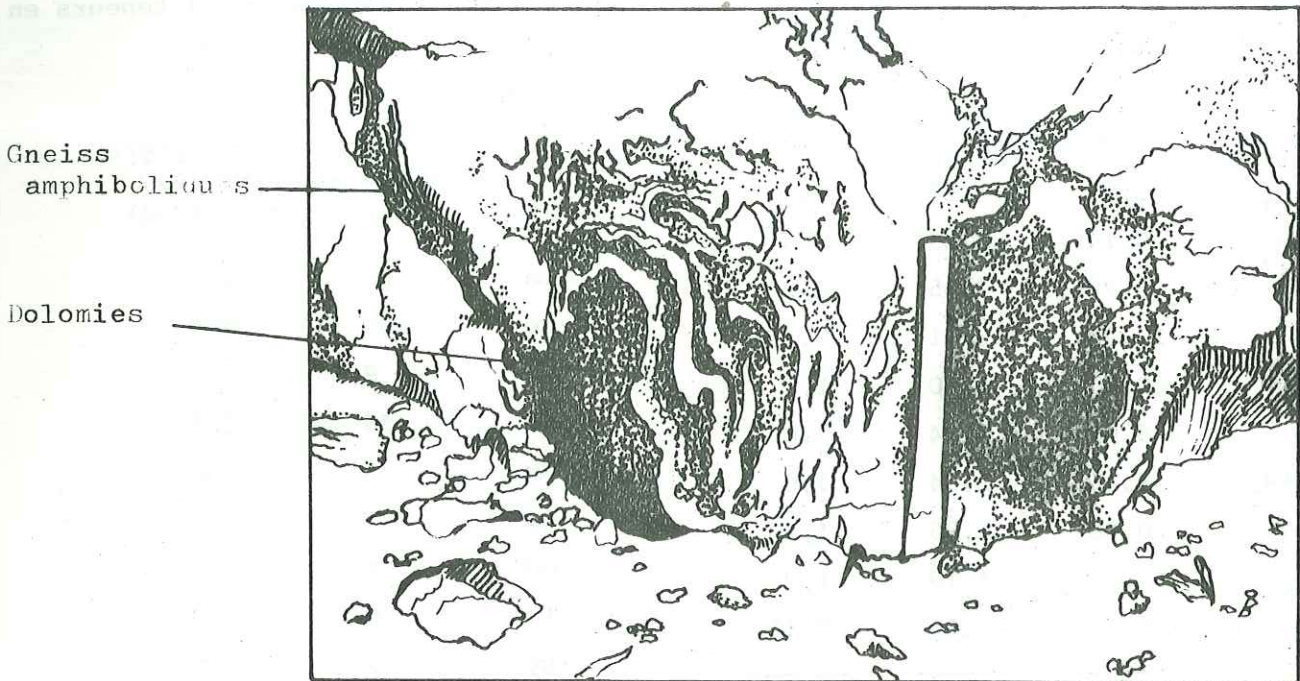
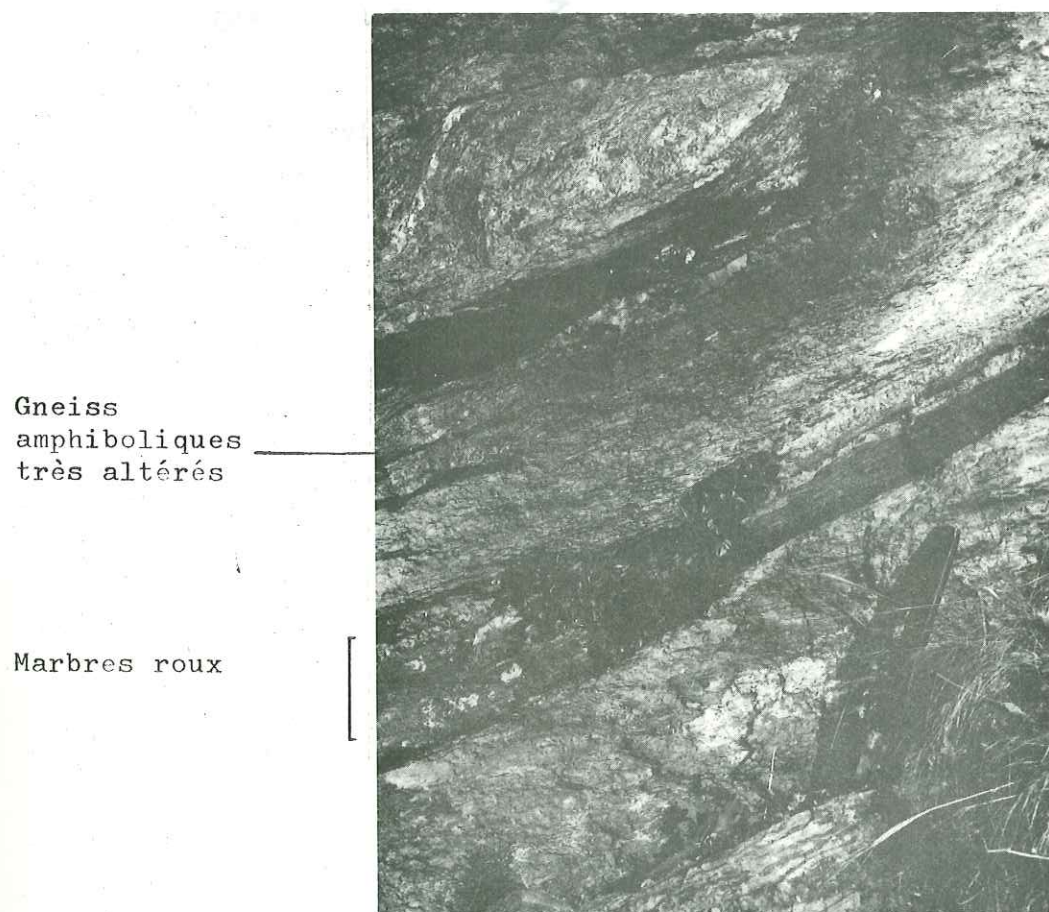


Fig. 16: Banc de marbres roux encaissés dans des schistes très altérés du groupe des gneiss amphiboliques. Sentier inférieur de la mine de Gaebianche (1450 m d'altitude).



TAB 10 : Résultats d'analyses de Lamprophyres : éléments majeurs et traces (teneurs en  $\mu\text{g/g}$ ).

	Minette Crête di Naie	Minette MEC 242	Lamprophyre riche K MRO1627
$\text{SiO}_2$	(1) 45,79	(2) 49,33	(3) 56,00
$\text{Al}_2\text{O}_3$	8,01	11,28	8,90
$\text{Fe}_2\text{O}_3$	6,14	6,23	5,3
$\text{CaO}$	6,28	7,65	4,2
$\text{MgO}$	17,26	13,61	9,4
$\text{Na}_2\text{O}$	0,69	1,60	1,9
$\text{K}_2\text{O}$	5,61	5,94	9,6
$\text{CO}_2 + \text{H}_2\text{O}$	8,45	2,34	1,6
$\text{TiO}_2$	0,88	1,05	1,40
$\text{P}_2\text{O}_5$	1,29	1,10	1,2
$\text{MnO}$	0,10	0,10	0,11
$\Sigma$	100,61	100,23	99,6
$\text{Li}$	100	32	20
$\text{V}$	95	125	110
$\text{Cr}$	430	802	585
$\text{Ni}$	360	395	315
$\text{Co}$	25	57	33
$\text{Cu}$	6	9	10
$\text{Zn}$	15	83	87
$\text{Rb}$	70	245	370
$\text{Sr}$	230	690	580
$\text{Y}$	10	36	52
$\text{Zr}$	440	375	730
$\text{Nb}$	4	26	40
$\text{Sb}$	0,2	-	-
$\text{Cs}$	0,1	-	4
$\text{Ba}$	620	-	$4500 \pm 500$
$\text{Hf}$	1	-	24
$\text{Ta}$	-	-	2
$\text{Th}$	15	-	268
$\text{U}$	5	-	33

(1) = SME

(2) (3) = d'après Dal Piaz

TAB 11 : Résultats d'analyses de lamprophyres:Lanthanides ( teneurs en  $\mu\text{g/g}$ ).

	Minette Crête di Naie	Lamprophyre MRO1627 (Dal Piaz)
La	26	165
Ce	65	390
Pr	8,5	-
Nd	35	265
Sm	5	50
Eu	1	8
Gd	4	-
Tb	0,5	3
Dy	2	9
Ho	0,3	-
Er	1,2	-
Tm	<0,15	-
Yb	<0,6	2,5
Lu	<0,2	0,5
$\Sigma$	150	895

- non analysé

Fig. 17: Profils de Lanthanides normalisés aux chondrites dans des lamprophyres riches en potassium.

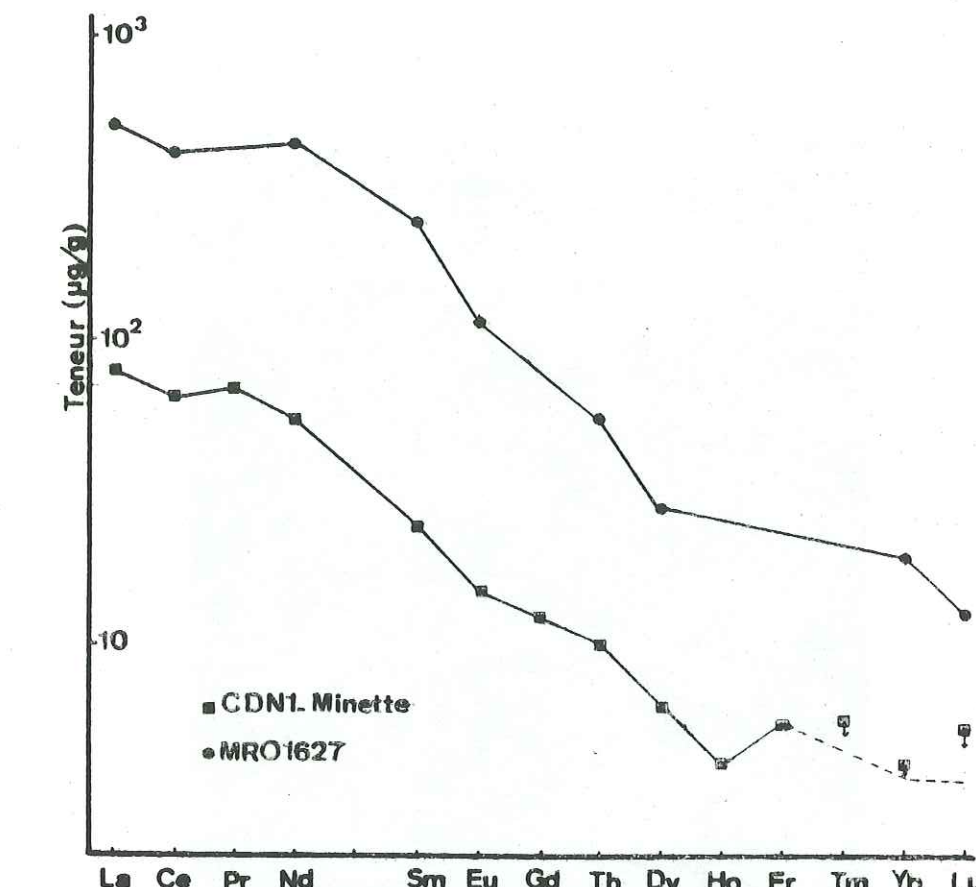


Fig. 18 : Corrélations entre  $\text{P}_2\text{O}_5$ ,  $\text{Zr}$ ,  $\text{TiO}_2$ ,  $\text{Nb}$ ,  $\text{Y}$  dans des lamprophyres, d'après Dal Piaz (1979).

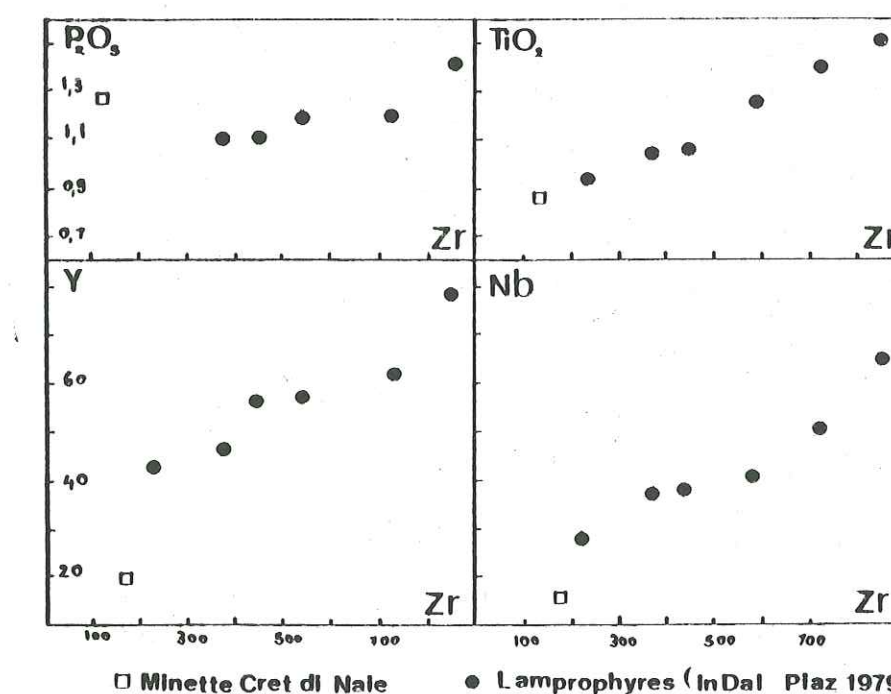


Fig. 19: Listvénite quartzifiée de la carrière de Sizan ( Challant-Saint-Victor).

Filonnets de quartz



TAB. 12 : ANALYSES PAR FLUORESCENCE X DES DIFFERENTS TYPES DE ROCHES. (Laboratoire de l'Institut Dolomieu-Grenoble)

%	Gneiss œillés			Complexe des amphiboliques			Trias			Dol.		
	Bru15	Bru28	Gae13	Fen6-2	Fen3-3	Gae2b	Fen1-2	Fen7-12	Bru32	Fen7-10	Dol.	
SiO <sub>2</sub>	74,35	72,96	73,79	56,95	57,64	66,03	32,40	10,70	11,88	10,86	9,31	
Al <sub>2</sub> O <sub>3</sub>	15,08	14,52	15,16	14,04	11,85	12,97	1,26	1,44	1,21	2,56	1,53	
Fe <sub>2</sub> O <sub>3</sub>	1,94	1,83	1,67	12,35	7,56	3,59	0,79	0,39	6,47	0,99	0,59	
CaO	0,97	0,66	0,36	5,37	5,30	3,49	33,87	41,25	26,77	26,27	44,34	
MgO	0,46	0,55	0,39	2,65	2,70	1,63	2,13	3,13	13,77	18,98	3,90	
Na <sub>2</sub> O	3,38	3,19	3,24	4,53	1,33	3,27	0,10	0,09	0,01	0,04	0,30	
K <sub>2</sub> O	5,00	4,46	4,70	1,56	2,54	2,38	0,33	0,20	0,15	0,41	0,19	
H <sub>2</sub> O+CO <sub>2</sub>	1,40	1,09	1,20	0,74	9,02	5,34	30,12	40,12	39,86	39,35	40,41	
TiO <sub>2</sub>	0,23	0,23	0,27	2,46	1,14	0,50	0,00	0,01	0,00	0,05	0,00	
P <sub>2</sub> O <sub>5</sub>	0,23	0,17	0,21	0,25	0,18	0,11	0,20	0,24	0,14	0,19	0,24	
MnO	0,06	0,05	0,04	0,23	0,14	0,07	0,04	0,01	0,17	0,02	0,00	
	100,29	99,71	101,01	101,74	99,40	99,39	101,25	97,6	100,43	99,70	100,80	
µg/g												
Ni	1500	1500	2020	0	90	1380	1270	210	220	220	40	
Rb	300	300	265	50	100	130	20	0	0	26	0	
Sr	85	70	75	100	65	127	625	944	220	908	105	

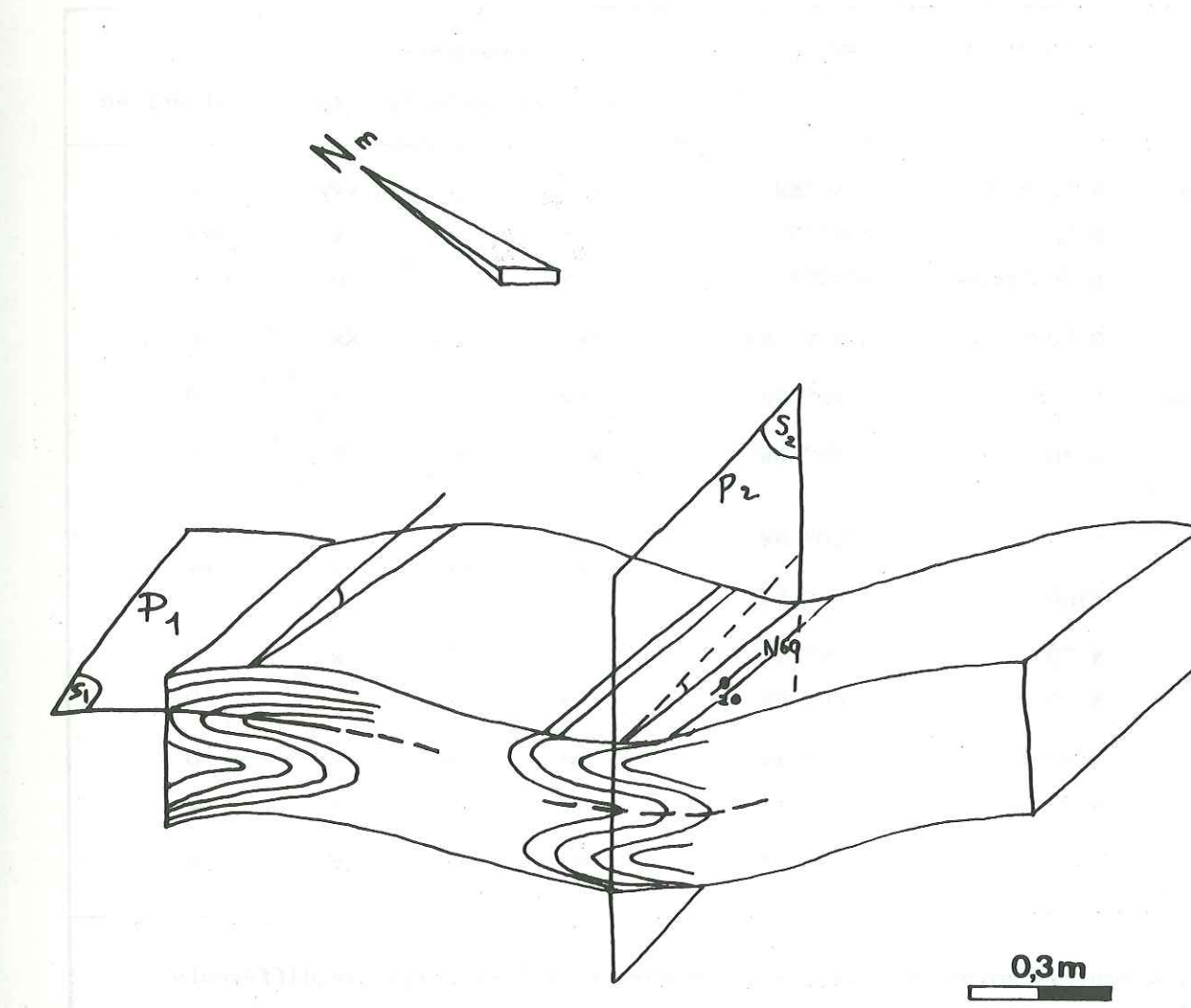
Dol = dolomie  
Fen 6-2 = Amphibolite

Fen 3-3 = Gneiss altéré  
Gae 3-3 = Gneiss altéré

Gae<sub>2</sub><sup>b</sup> = Gneiss à lits de quartz

	Serpentinite				Amphibolites				Listvénites			
	Bru20	Bru21	LB2	Goiat4	OrbC	Bru23	Arb 7	Fen4-12	LB1	CN2		
%												
SiO <sub>2</sub>	39,12	30,03	36,12	48,51	48,00	35,26	30,03	29,05	25,87	72,18		
Al <sub>2</sub> O <sub>3</sub>	1,97	1,62	1,66	16,35	14,24	1,50	1,32	3,43	1,65	2,27		
Fe <sub>2</sub> O <sub>3</sub>	7,81	6,03	8,09	9,42	11,02	5,25	6,52	4,53	7,45	2,44		
CaO	0,03	0,13	2,94	10,12	9,74	3,84	0,43	19,10	2,10	5,57		
MgO	38,36	28,75	34,98	7,90	6,43	24,42	29,32	12,11	27,41	5,34		
Na <sub>2</sub> O	0,02	0,02	0,02	2,92	2,95	0,01	0,14	0,38	0,09	0,24		
K <sub>2</sub> O	0,00	0,00	0,00	0,32	0,19	0,25	0,28	1,26	0,53	0,62		
H <sub>2</sub> O+CO <sub>2</sub>	13,79	32,82	16,46	3,82	3,64	30,40	32,93	30,37	33,52	11,25		
TiO <sub>2</sub>	0,06	0,04	0,07	1,55	2,18	0,03	0,02	0,07	0,03	0,02		
P <sub>2</sub> O <sub>5</sub>	0,	0,02	0,02	0,13	0,32	0,02	0,01	0,10	0,01	0,03		
MnO	0,09	0,09	0,11	0,16	0,19	0,00	0,08	0,23	0,10	0,04		
	101,25	99,54	100,47	101,21	98,90	100,97	101,09	100,64	98,75	100,01		
μ <sup>9</sup> /g												
Ni	1420	2255	2325	765	620	2200	2744	1815	2300	2150		
Rb	0	17	25	8	10	20-50	35	50	50	60		
Sr	10	20	28	250	242	90-65	25	600	110	220		

Fig. 20 : Les deux phases de plissement et les foliations associées dans les gneiss amphiboliques du secteur de Ciamusera.

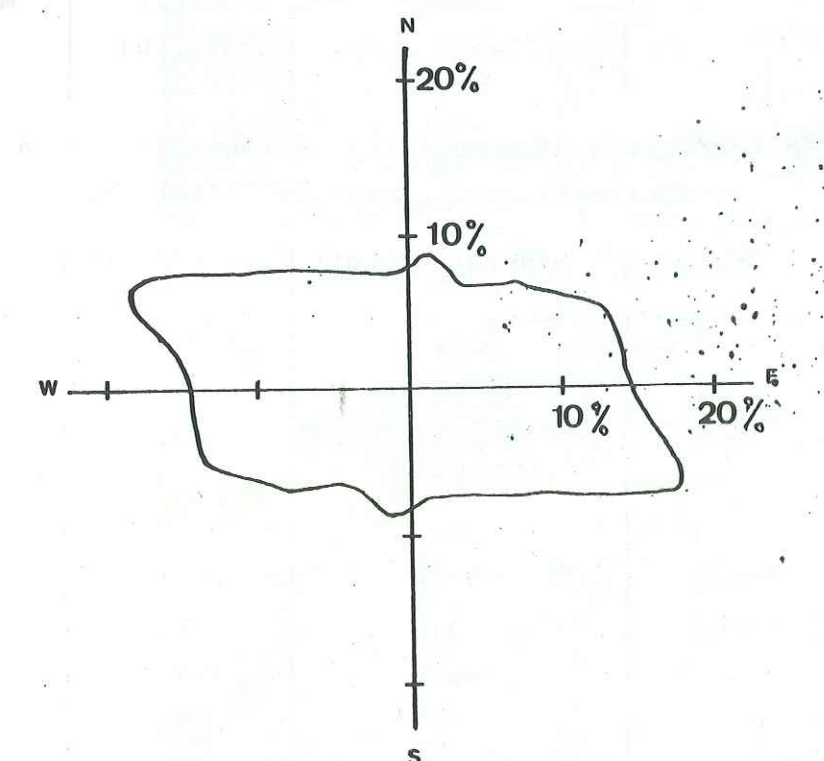
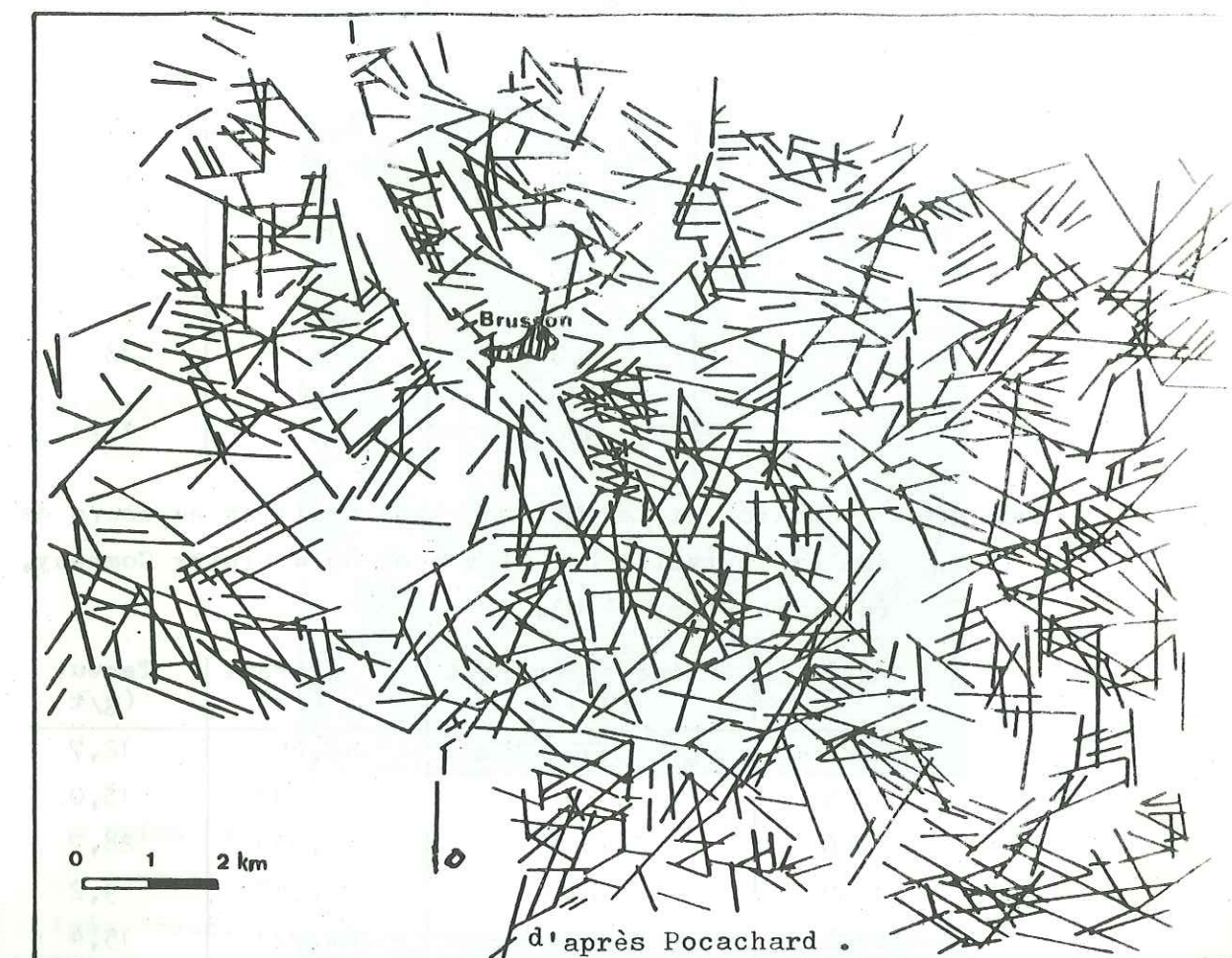


Tab. 13: Direction , pendage et paragenèse des principaux filons aurifères du district de Challant.

FILON	DIRECTION	PENDAGE	PARAGENÈSE			
			Quartz	Sulfures	Au	Listvénites
Ciamusera	N 50 à 90	50°NW	xxx	x	xxx	x
	N 120	60°NE	xx	x	x	xxx
	N 160(rare)	50-90°E	xx	x	0	0
Bechaz	N 50 à 70	50 à 75°NW	xxx	xxx	xx	0
Gaebianche	N 100	40° NE	xxx	x	x	0
Testa di Comagna	N 30	35° NW	xxx	x	?	0
Orbeillaz	N 120	50° SW	xxx	xx	x	xx
	N 160	45° SW				
Goia di Pauline	N 30	75° W	xx	0	x	0
	N 110	60° NE	xxx	x	x	0
Villa	N 50	70° NW	xx	x	x	0
	N 135	70° SW	xx	x	x	0
Sache	N 115	70° NE	xxx	xxx +W	x	0

0 nul; x peu; xx moyen;xxx beaucoup . Valeurs relatives entre les différents filons.

Fig. 21 : Carte photo-interprétative des fractures et rosace des pourcentages de direction , dans la basse vallée d'Ayas



Tab. 14: Teneurs en Au et Ag des filons Bouchaille et Béchaz,  
(d'après Schmidt, 1880).

Filon	Minerai trié (kg)	Teneur Au (g/t)	Teneur Ag (g/t)
Bouchaille	85	18	-
Béchaz n° 1	118	60	-
	1000	27	134
" 2	90	27	-
	1500	22	430
" 3	420	43	-
" 4	60	73	-
" 5	74	37	-
	1000	23	23
" 6	60	20	-
	100	20	33

Tab. 15: Production et teneurs du filon Fenillaz au cours de son exploitation par l'Evançon Gold Mining Company,  
(d'après Hotz, 1910).

Année	Minerai extrait (kg)	Or extrait (kg)	Teneur (g/t)
1904	3355	42,667	12,7
1905	6256	97,892	13,0
1906	6452	222,916	28,7
1907	7406	81,648	9,2
1908	12017	185,721	15,4
1909	6000	26,847	4,5
	Total	Total	Moyenne
	41485	657,691	12,25

Tab. 16: Production d'or du filon Speranza de 1938 à 1948  
(in Statistiques minières de l'Italie).

Année	Minerai extrait (kg)	Or extrait (kg)	Teneur (g/t)
1938	3500	12,2	3,5
1939	1500	6	4
1944	257	1,6	6,3
1945	71	?	-
1946	667	?	-
1947	175	?	-
1948	50	0,3	5,5
	Total	Total	Moyenne
	6220	20,1	5

Fig. 22: Un exemple de filon du district de Challant: les rameaux supérieurs du filon Gaebianche (altitude 1 480 m).

Epaisseur des filons : 0,30m

Roche encaissante = amphibolite

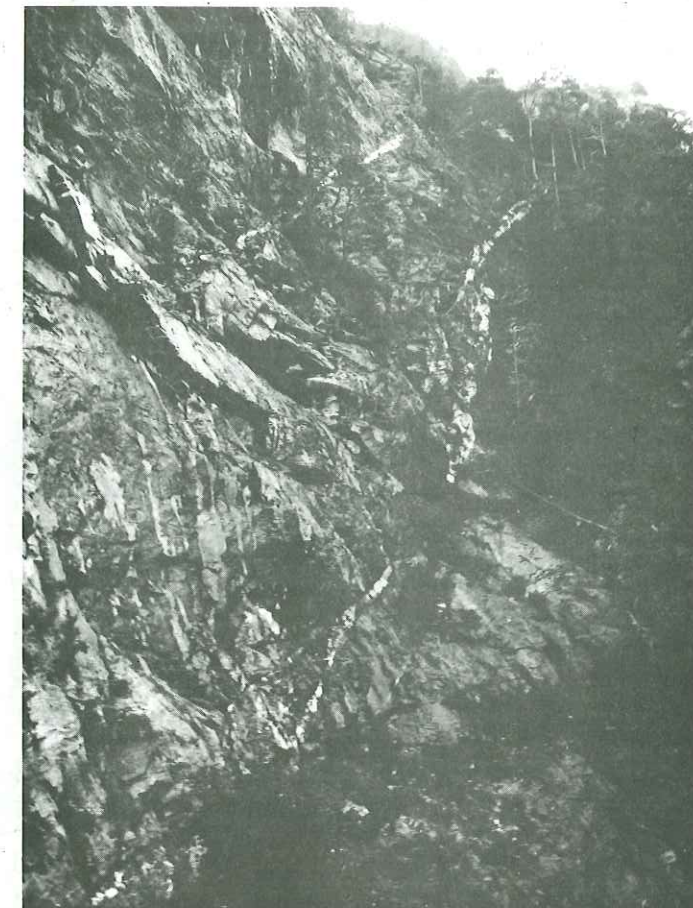
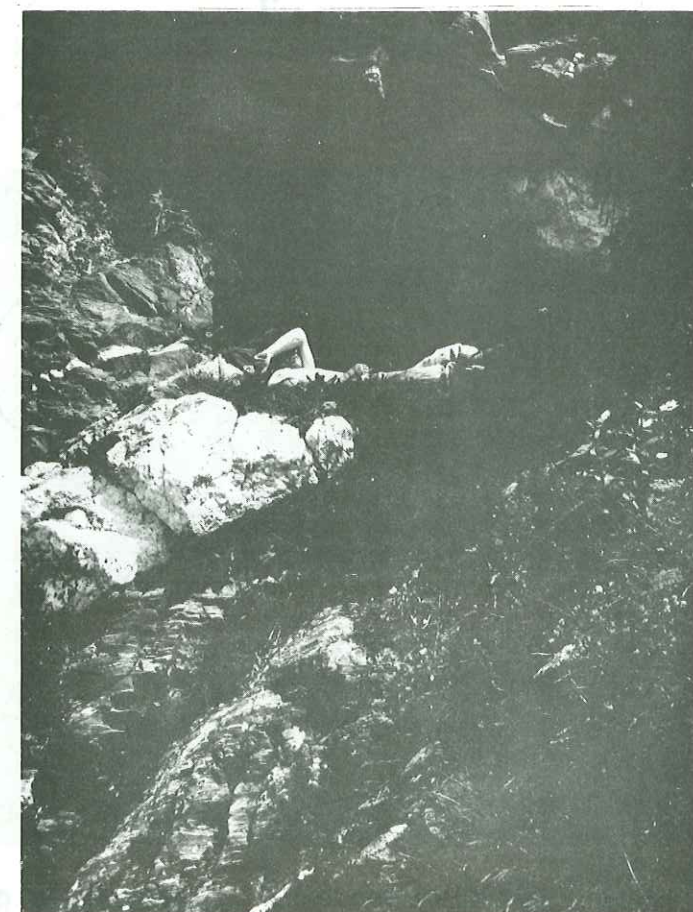


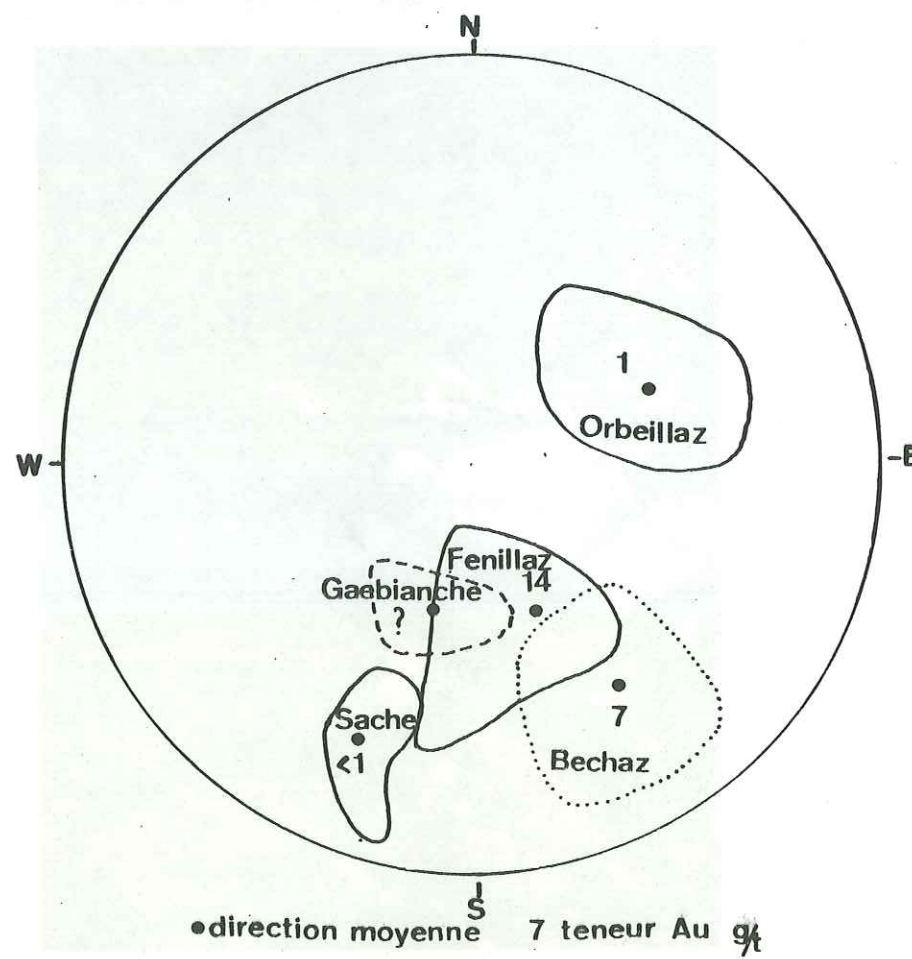
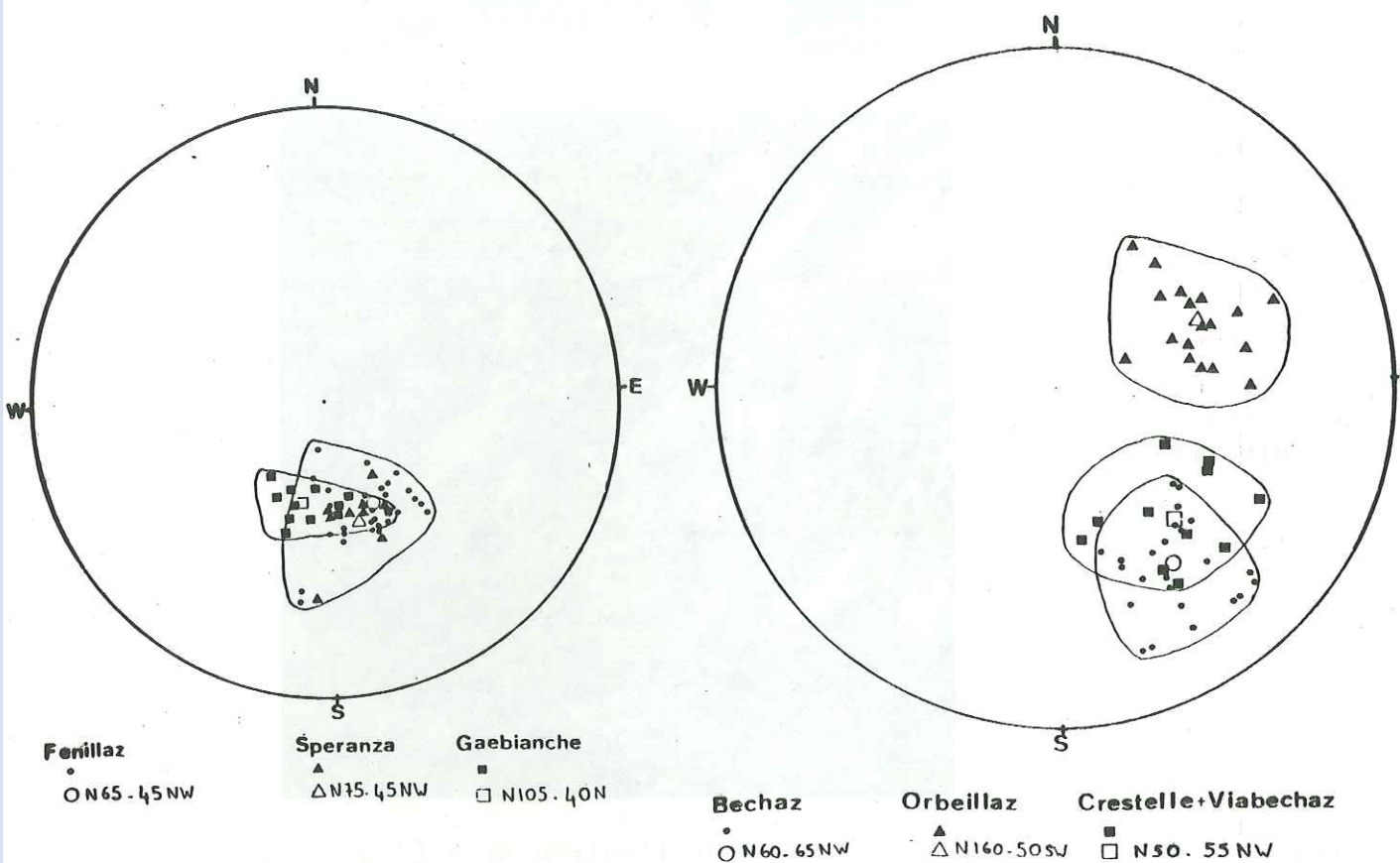
Fig. 23: Le filon Fenillaz au niveau de l'entrée n° 4 (1 621 m).

Le contact entre la masse quartzuse et les gneiss encaissants est très franc.



Epaisseur du filon : 1m

**Fig. 24:** Directions moyennes des filons et teneur en or associée: stéréogrammes des plans de fractures des épontes des principaux filons du district de Challant (canevas de Wülf, hémisphère inférieur).

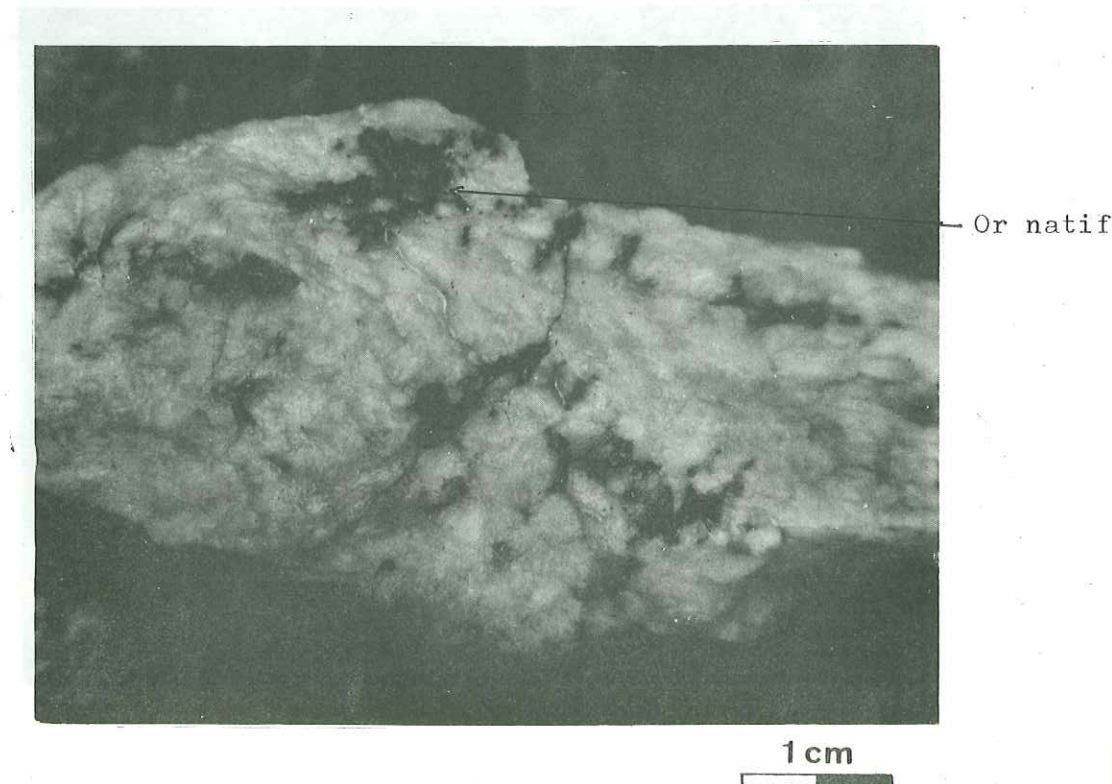


**Fig. 25:** Fermeture du filon Fenillaz au contact entre les gneiss amphiboliques et les marbres triasiques.

- ① Les plans de foliation des marbres sont silicifiés.
- ② Le filon se subdivise en plusieurs filonnets centimétriques.



**Fig. 26:** Or natif dans quartz. Filon Speranza.



Tab. 17: Teneurs d'exploitation des principaux filons du district de Challant.  
(D'après Hotz - 1910, Roccati - 1921, Schmidt - 1900, Stella - 1944).

Fig. 27: Cristaux de quartz encroûtés par de la limonite provenant du filon Béchaz n° 3.

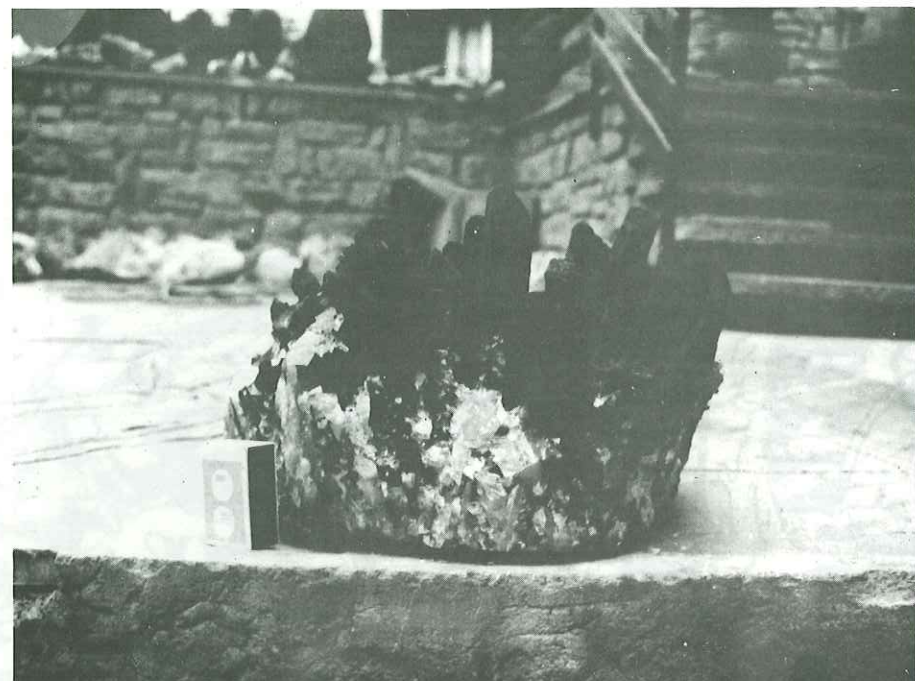
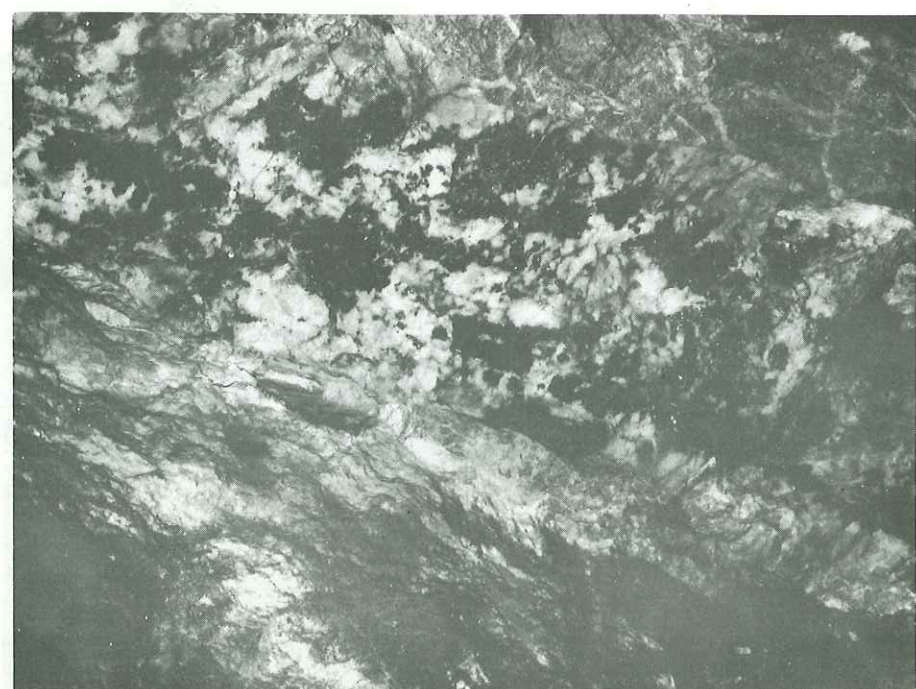


Fig. 28: Colonne pyriteuse du filon Béchaz n° 3 (altitude 1 500 m, en galerie).  
Epaisseur : 0,30m .Roches encaissantes = gneiss œillés.



Filons	Teneur moyenne (g/t)	Remarques
Type à or natif Fenillaz	13,05 $12,25+3=15,25$	In De Ferrari. In Hotz. Calculée sur 40 000t de minerai. +3 = quartz stérile. Dispersion : 10 à 125g/t .
Speranza	5	Calculée sur 6 000t de minerai.
Gaeblanche	2	In Hotz. Quartz stérile. Calculée sur 2 000t de minerai.
Type à pyrite aurifère Béchaz	6+1=7	+1 = quartz stérile. Dispersion : 5 à 100 g/t. Calculée sur 4 000t de minerai.
Bouchaille	18	Calculée sur 84 kg de minerai.
Orbeillaz	4 à 11	Calculée sur 200 kg de minerai trié, provenant de la colonne pyriteuse.
Villa	6 à 14	In Villa. Teneur en Ag : 100 g/t
Filons dans ophiolites	5 à 10	In Schmidt.
Sache	5	In Roccati. Minerai non trié, teneur Cu: 0,5%

TAB . 18 Tonnage extrait et réserves probables des principaux filons du district de Challant.

FILONS	TONNAGE THEORIQUE OR EXTRAIT en kg	RESERVES EN OR (kg)	REMARQUES
Fenillaz	660 à 1100	200 à 400	Complètement exploité
Speranza	20	?	Partiellement "
Gaeblanche	I	340 (5000)	Non exploité. ( )=réserves possibles
Béchaz n°3	110	2,5	Partiellement exploité
n°4	I,2	5	"
Bouchaille	?	60	Peu exploité
Comba Toppa	9	220	Partiellement exploité
Orbeillaz	25	30	" "

Fig. 29: Différents secteurs miniers et situation des mines et filons.

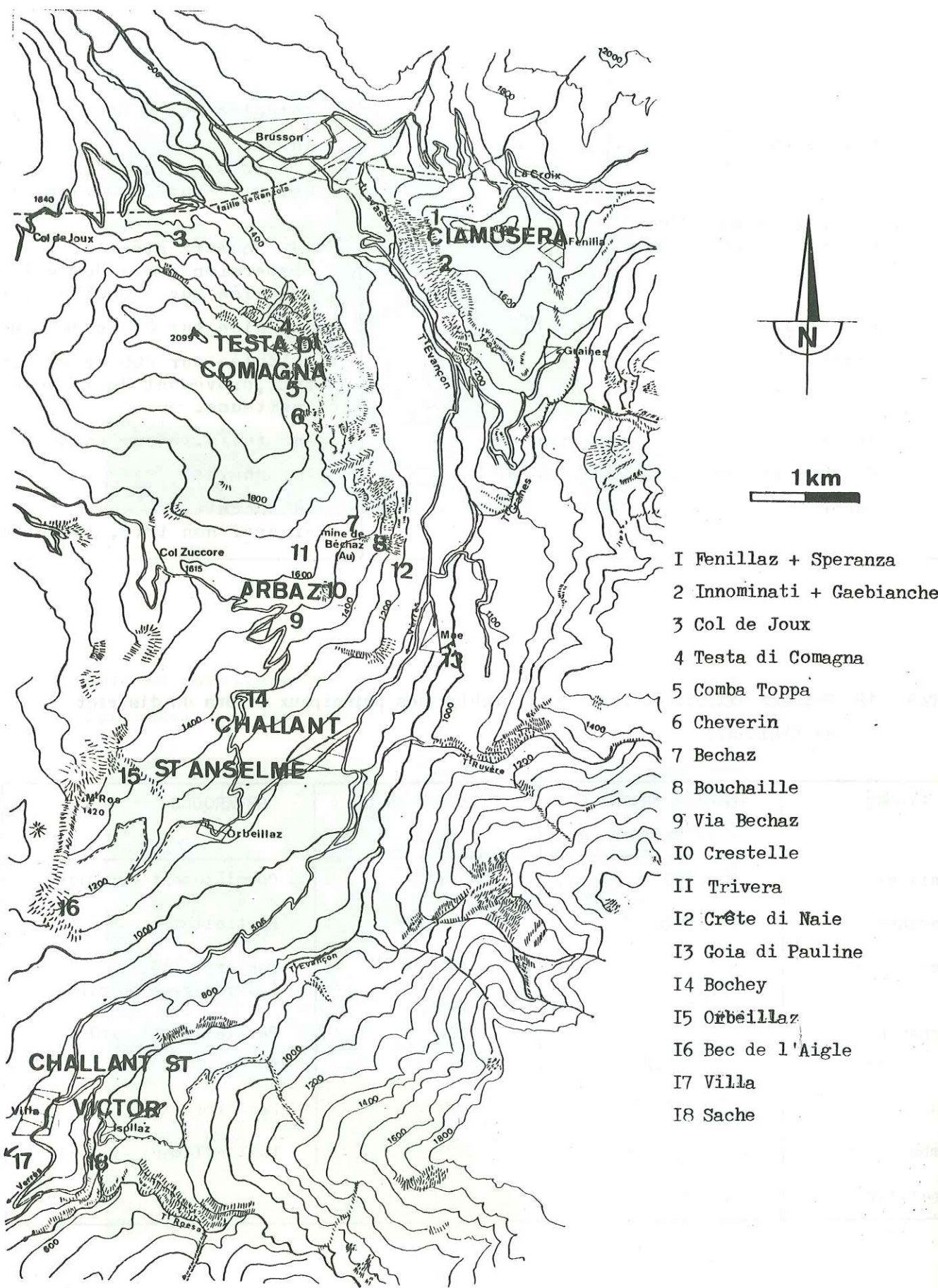


Fig. 30: Situation des filons du secteur Ciamusera sur carte géologique au 1/5 000.

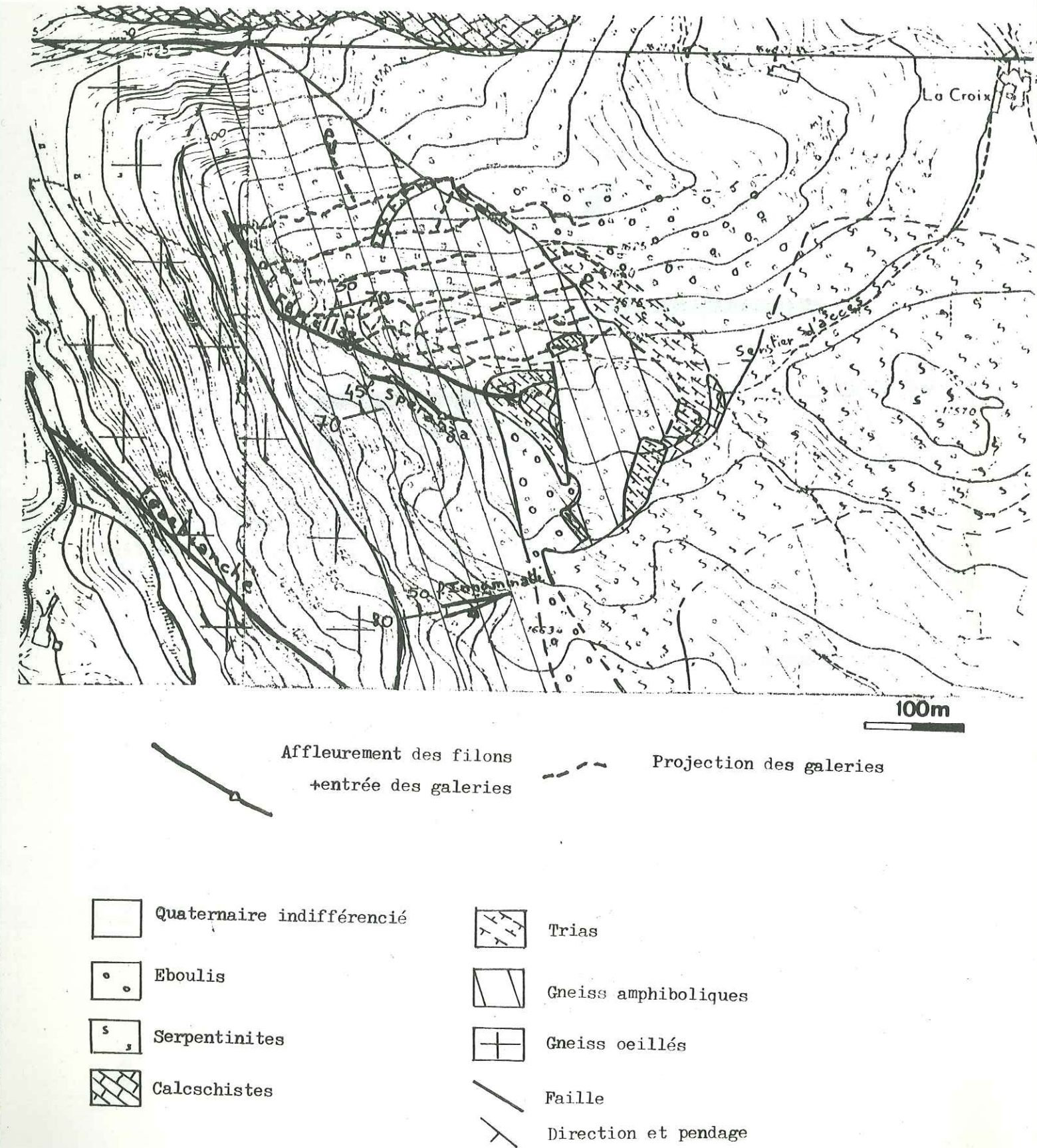


Fig. 32: Relations spatiales entre les fractures N 70 et N 120 au niveau 4 du filon Fenillaz.

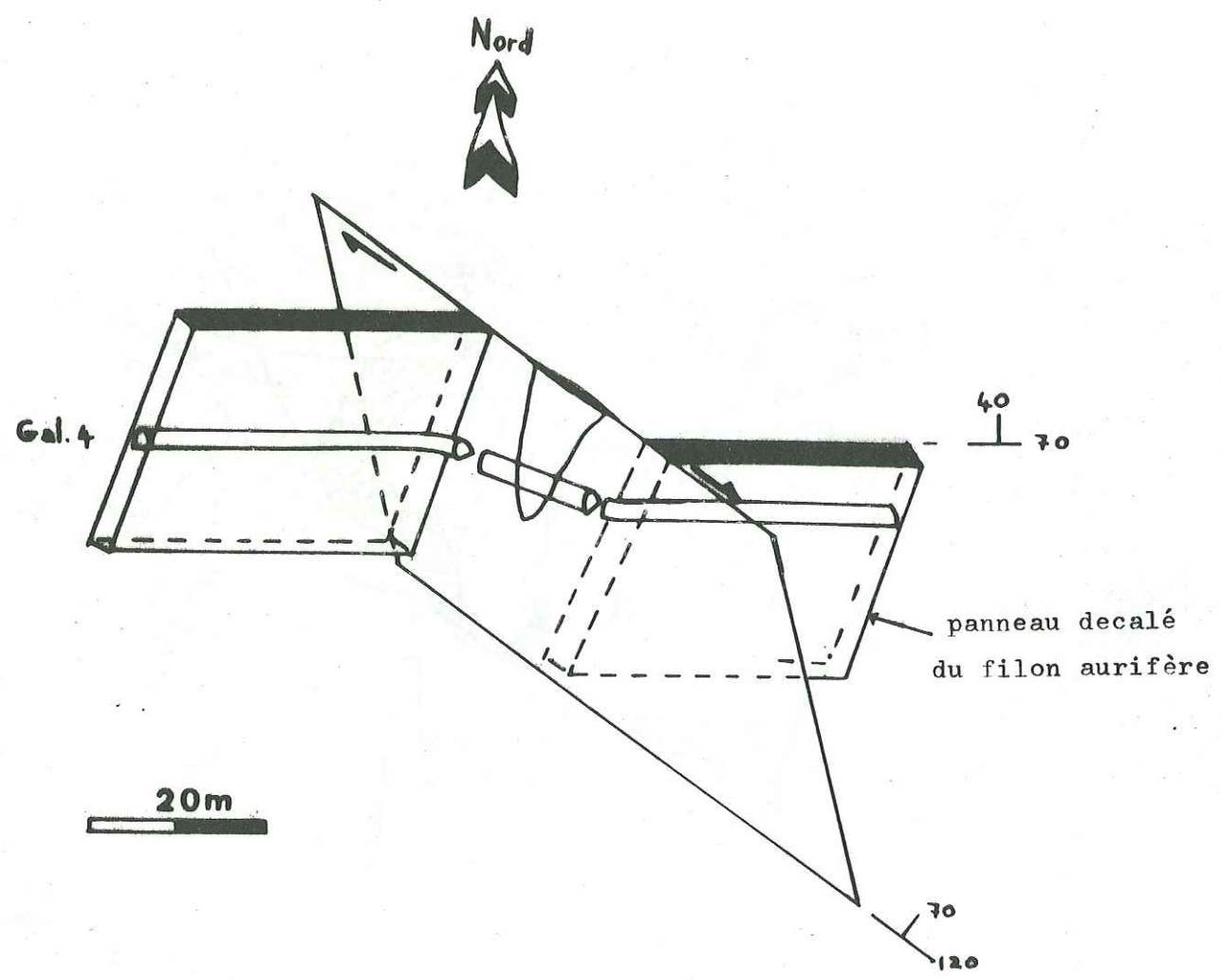
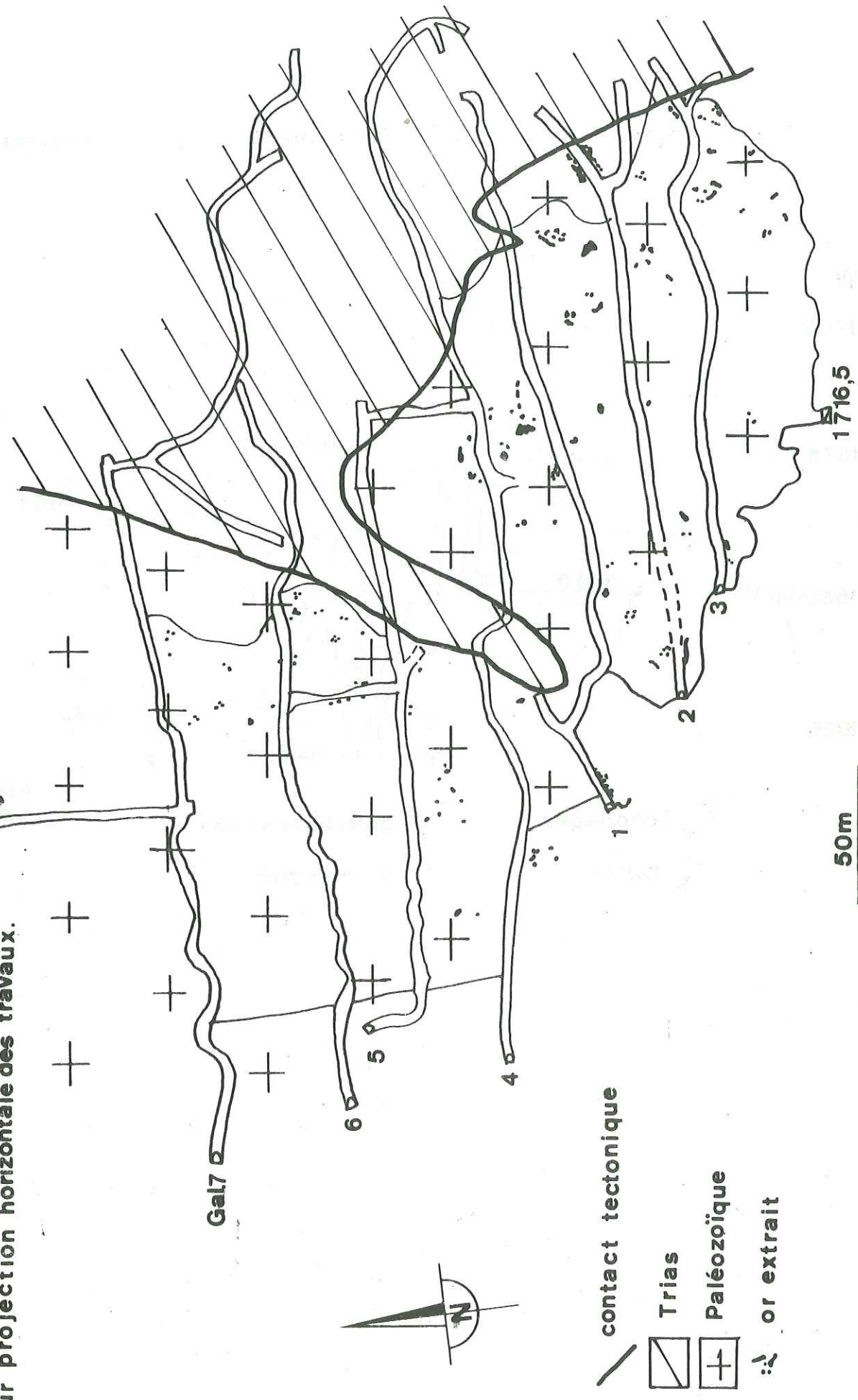


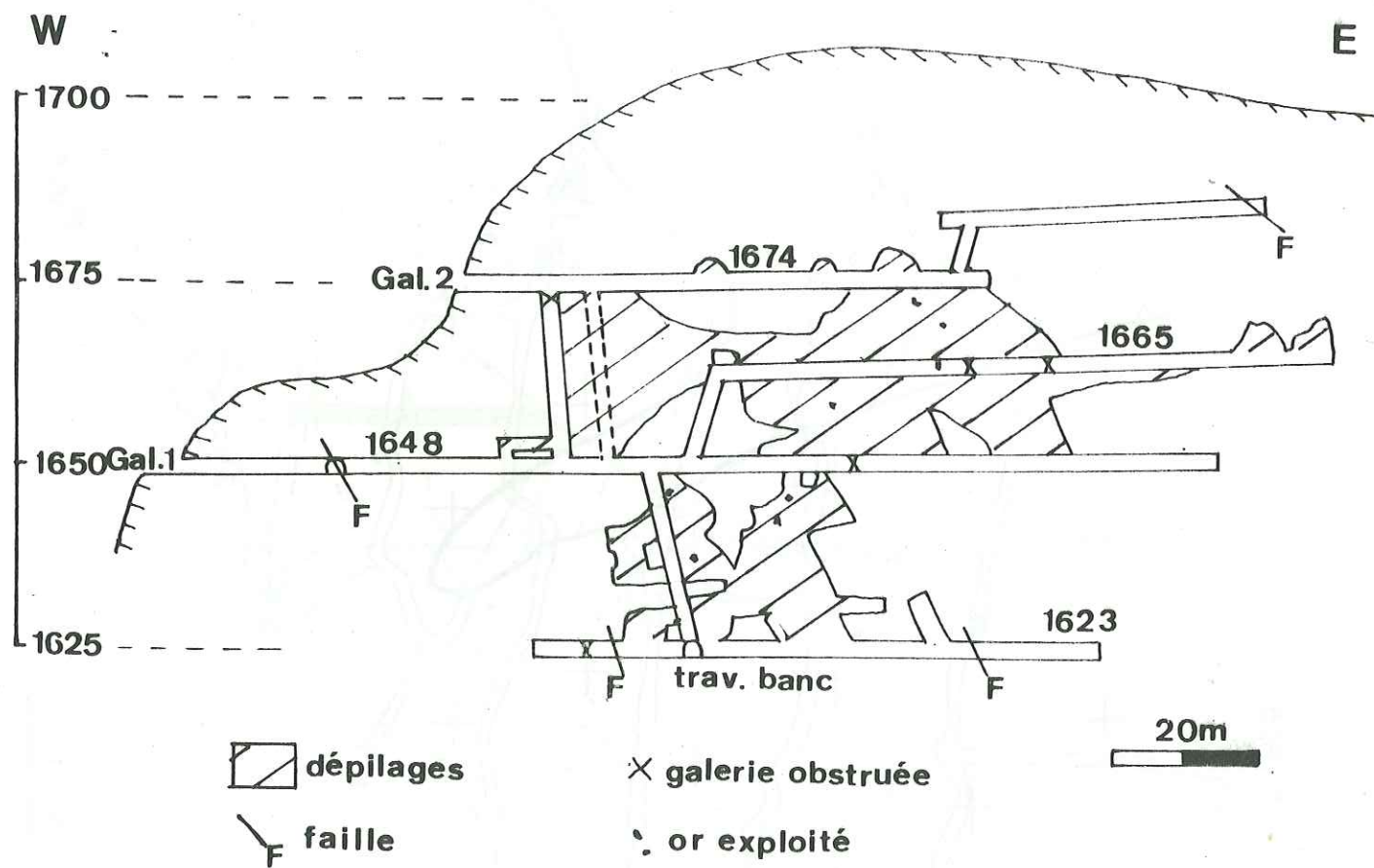
Fig. 33  
Répartition de l'or du filon Fenillaz  
sur projection horizontale des travaux.



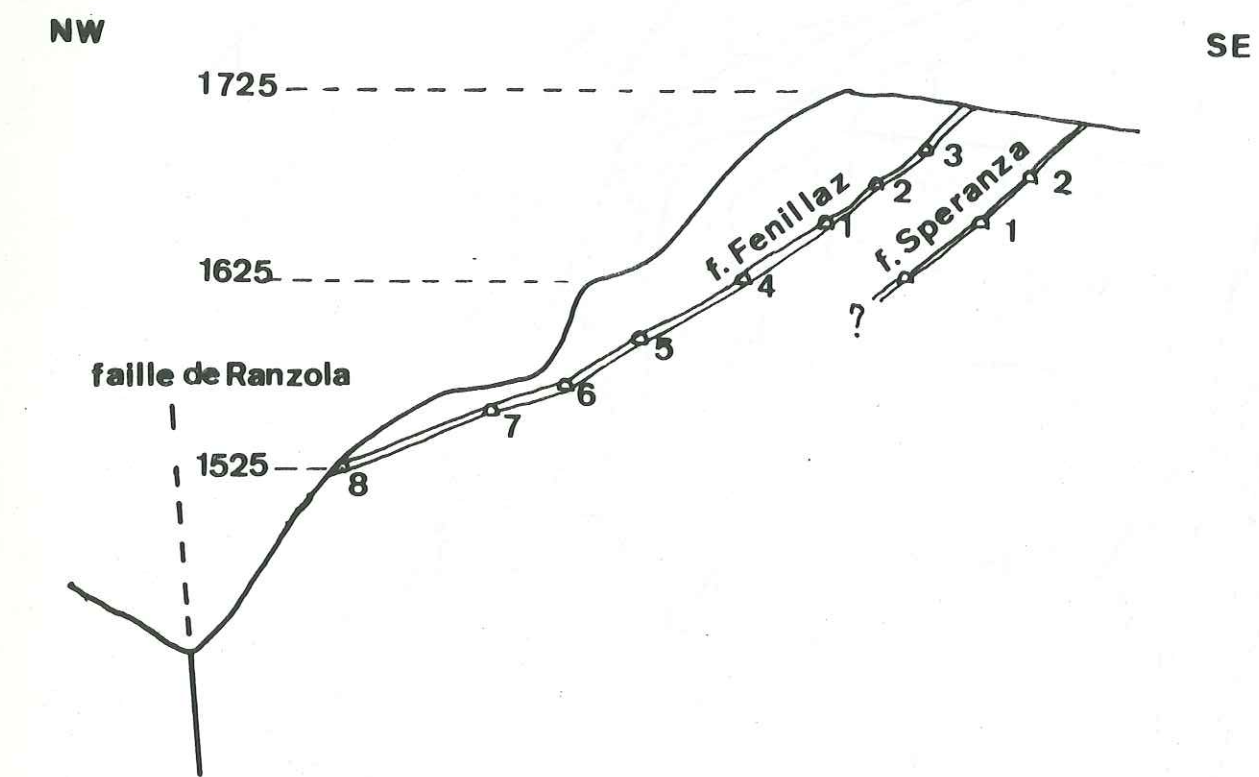
**Fig 34**

**Filon Speranza: projection verticale des travaux .**

**au 1/1000**



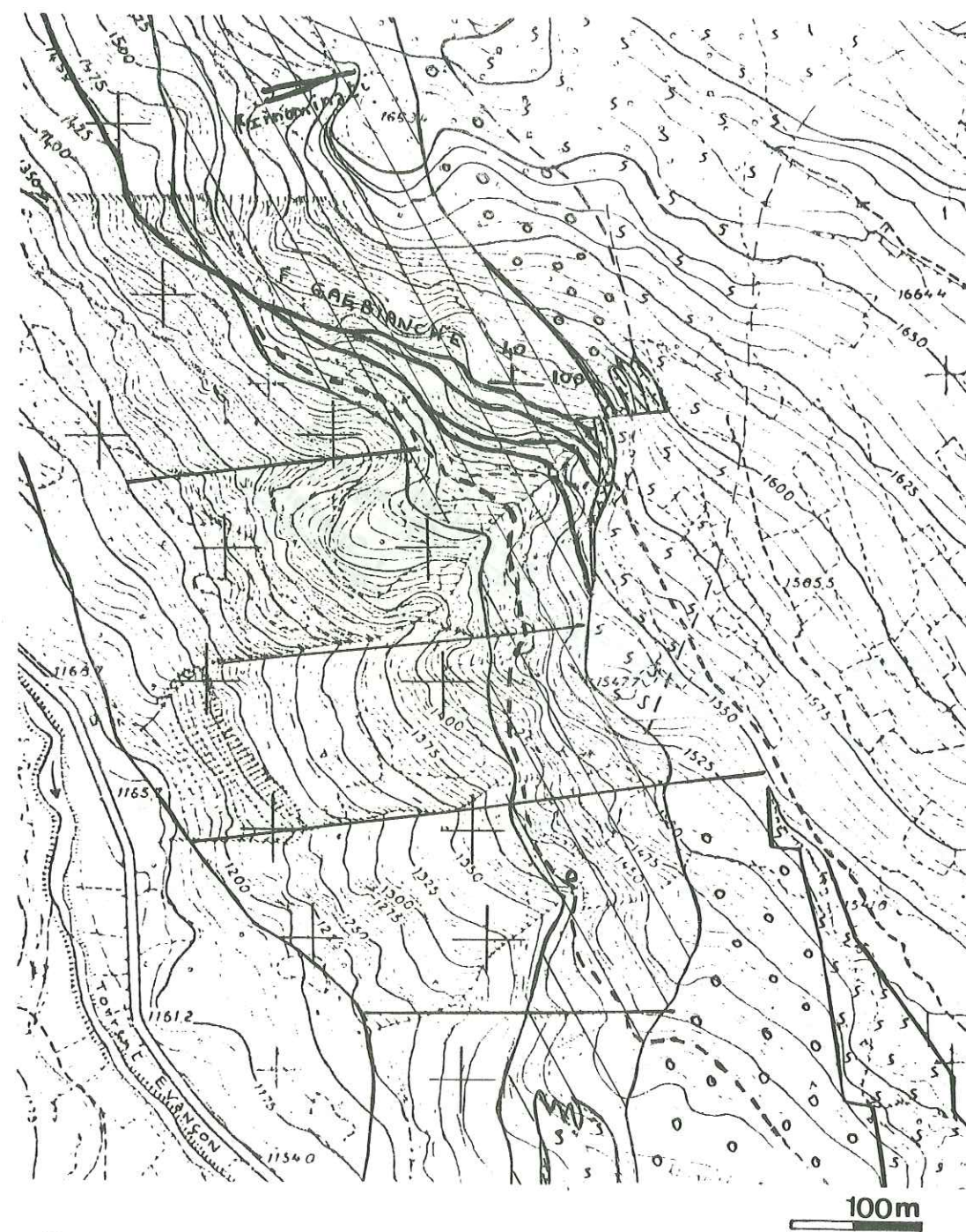
**Fig. 35: Vue de la partie supérieure de la falaise orientale : mine de Ciamusera.**



30 AOUT 2003

Univ. J. Fourier - O.S.U.G.  
MAISON DES GÉOSCIENCES  
DOCUMENTATION  
F. 38041 GRENOBLE CEDEX  
Tél. 04 76 63 54 27 - Fax 04 76 51 40 58  
Mail : pialour@ujf-grenoble.fr

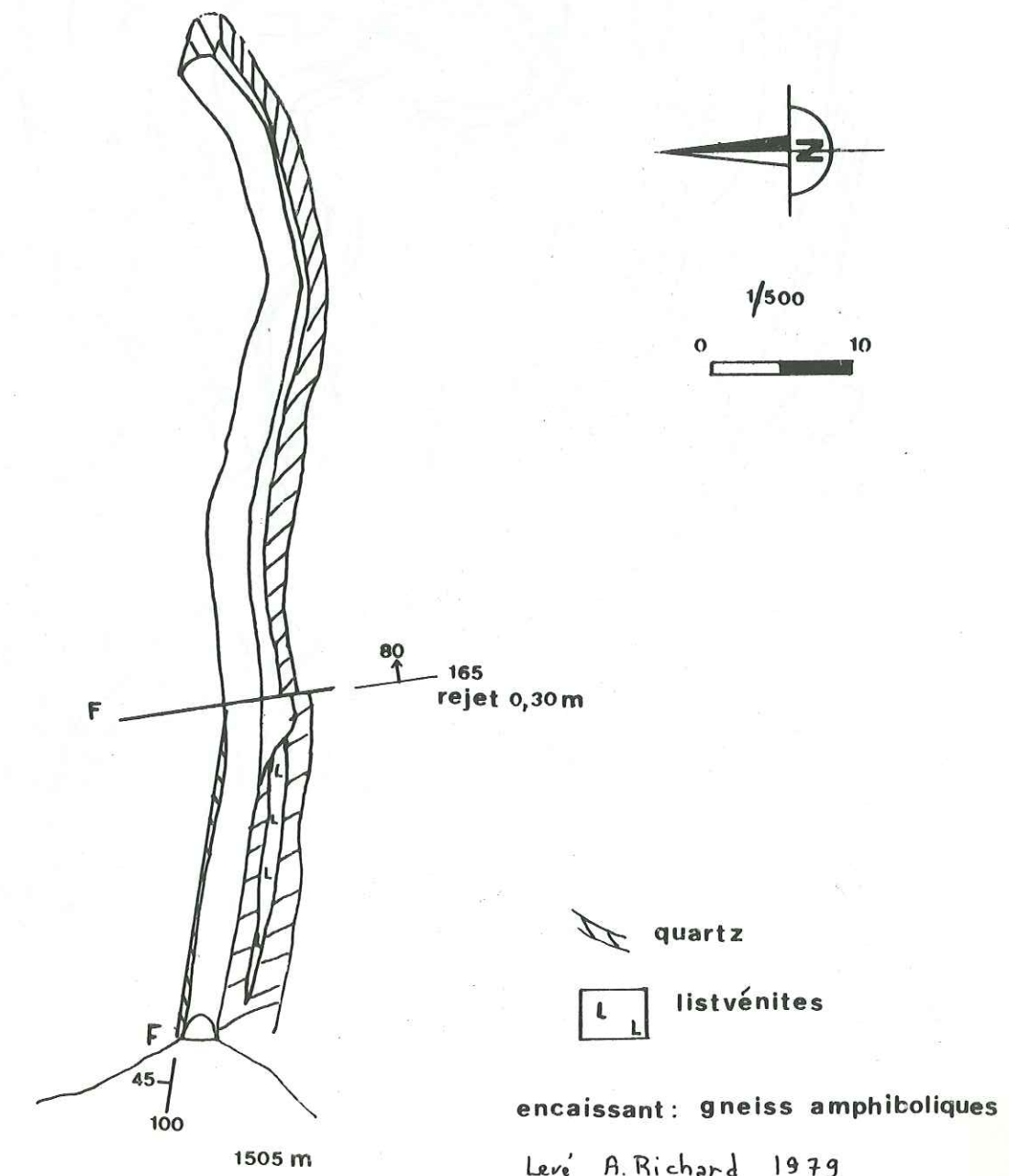
**Fig. 36:** Situation du filon Gaebianche (secteur Ciamusera) sur carte géologique au 1/5 000.



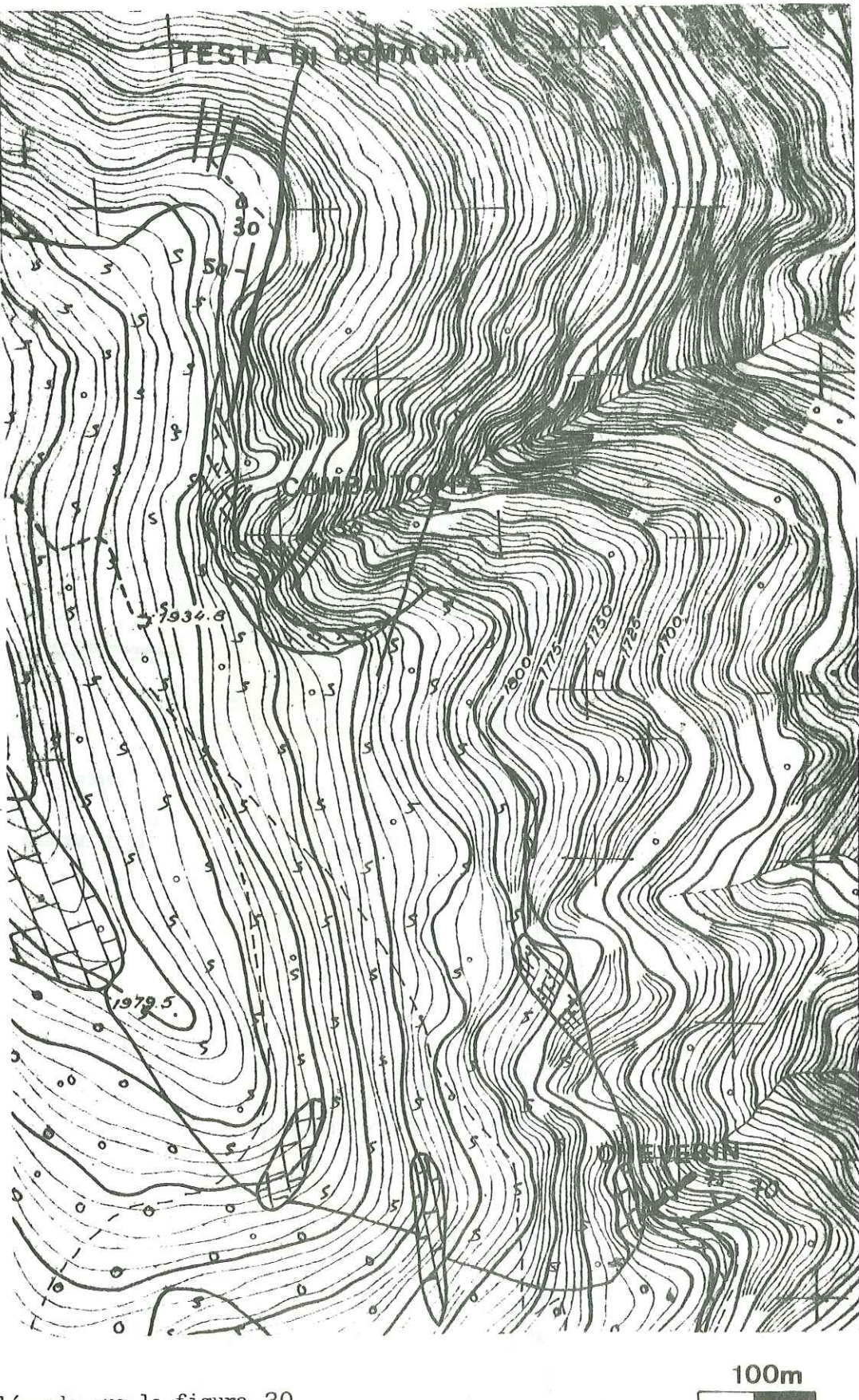
Géologie=même légende que fig. 30

Sentiers

**FIG. 37 : FILON GAEBIANCHE**



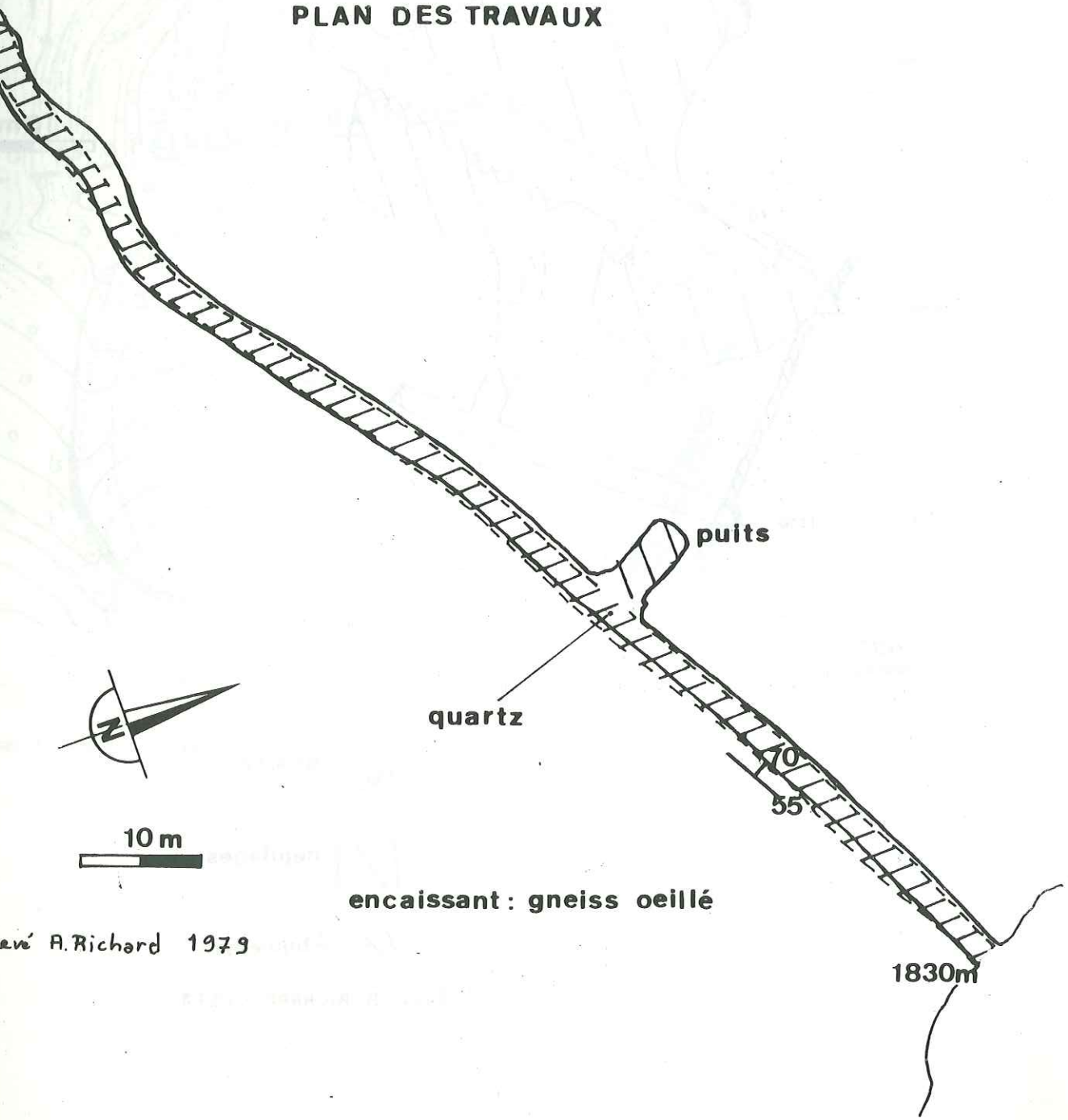
**Fig. 38:** Situation des filons du secteur Testa di Comagna sur carte géologique au 1/5 000.



même légende que la figure 30

**FIG. 39: FILON COMBA TOPPA:**

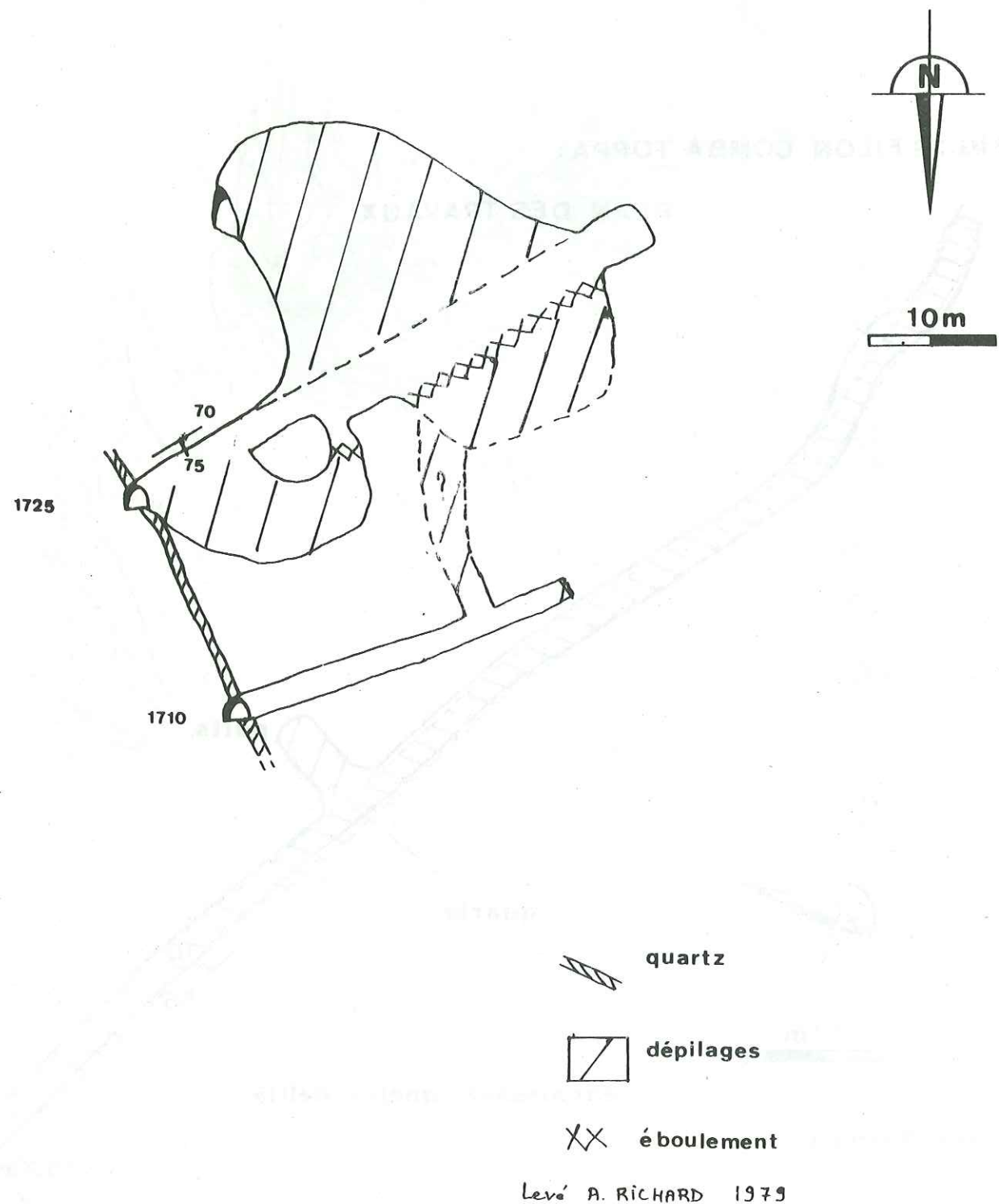
**PLAN DES TRAVAUX**



Levé A. Richard 1979

**FIG. 40 MINE DE CHEVERIN**

**PLAN DES GALERIES**



**Fig.41 : Situation des filons du secteur Testa di Comagna sur carte géologique au 1/5 000.**

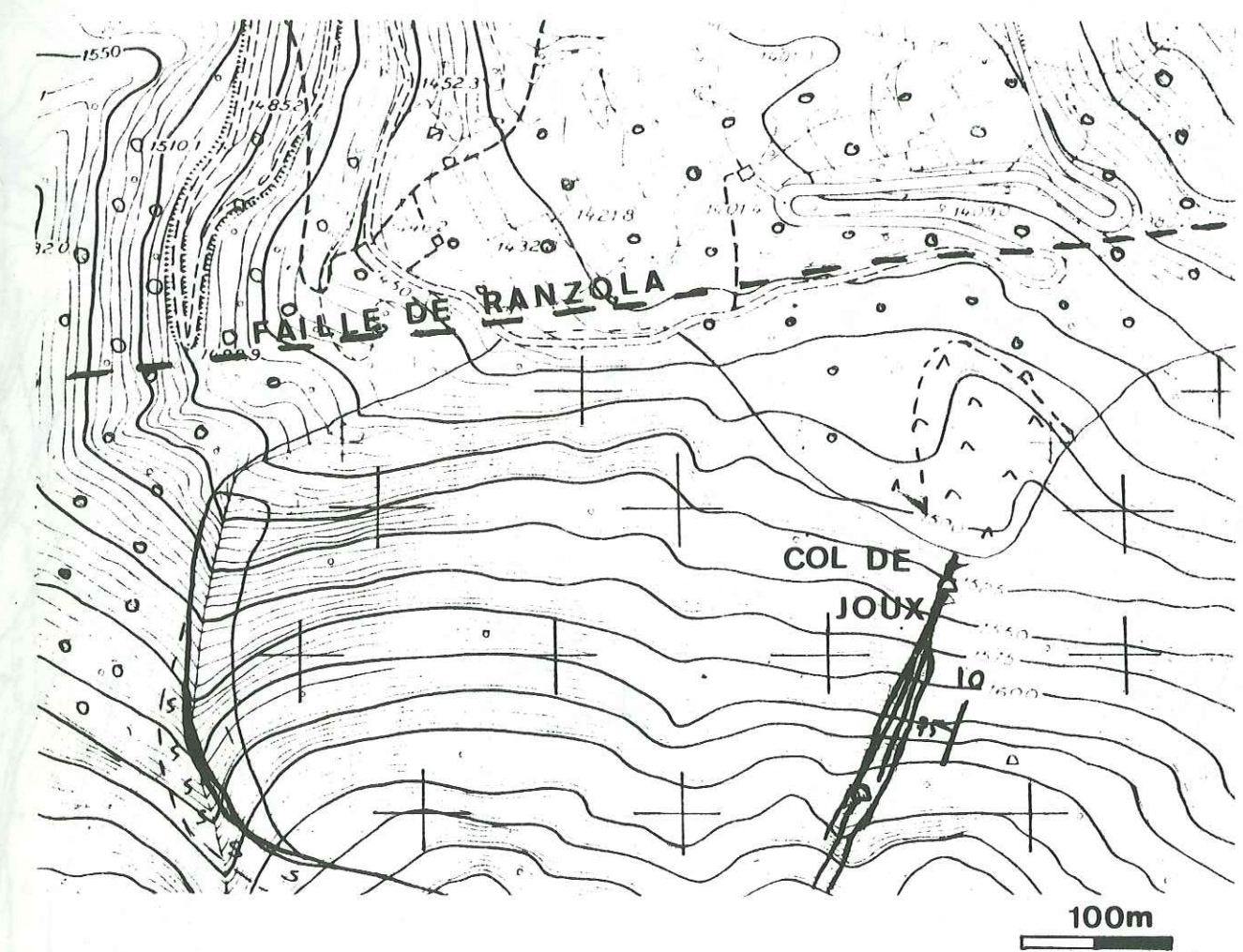


Fig. 42 : Situation des filons du secteur Arbaz sur carte géologique au 1/5 000.

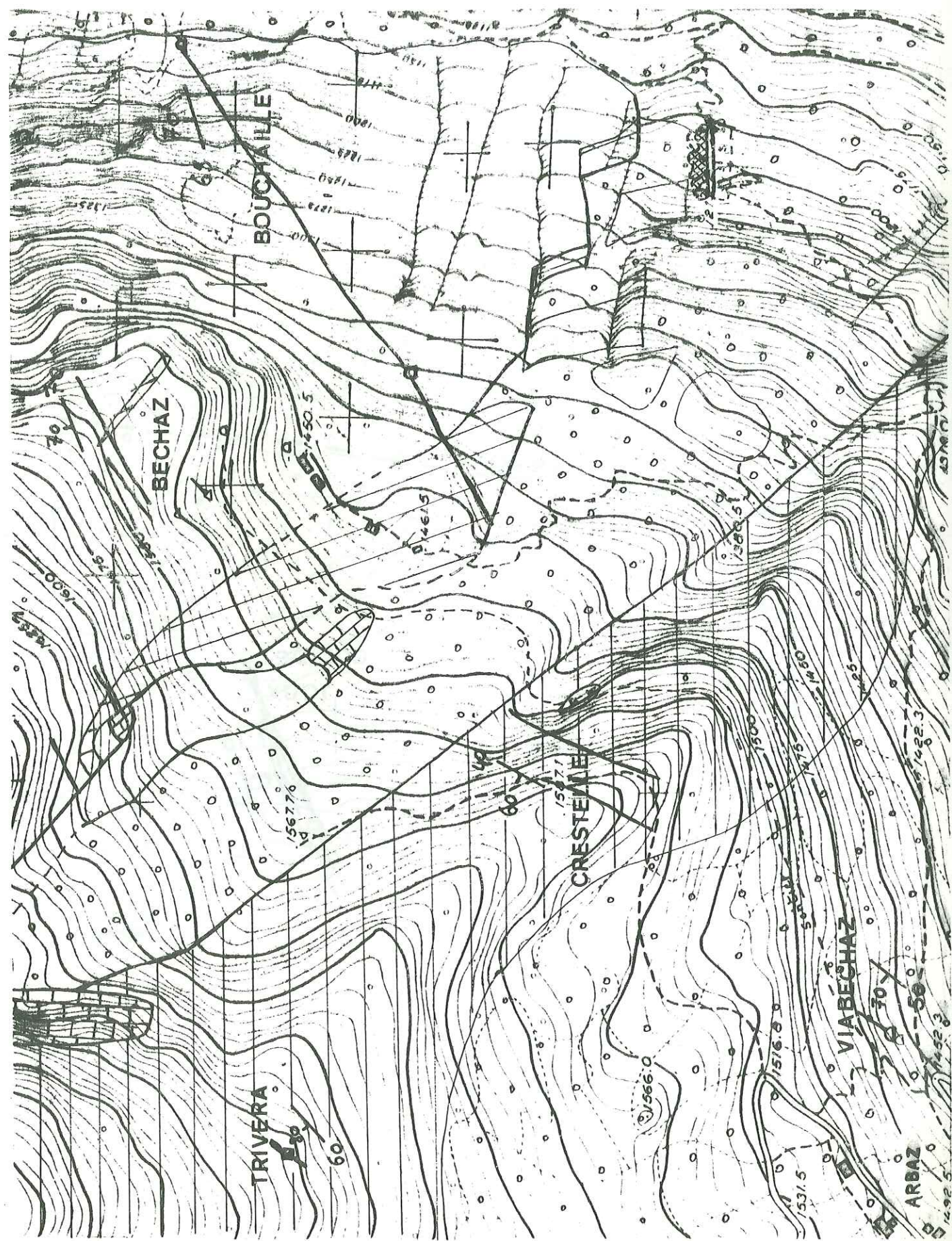


Fig. 44  
MINES DE BECHAZ - ARBAZ

LEVÉ DES GALERIES

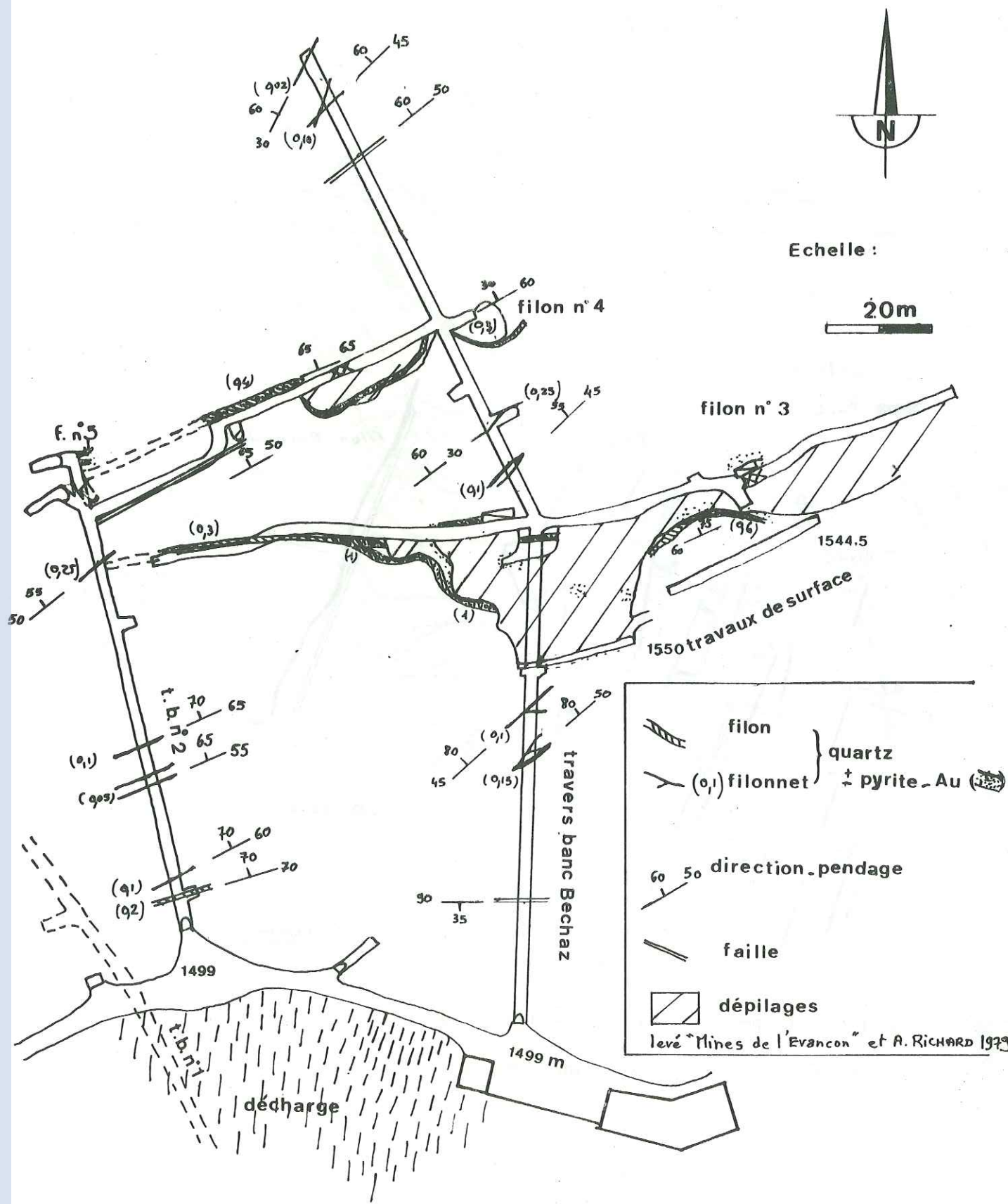


FIG. 45 MINES DE BECHAZ - ARBAZ

LEVÉ DES GALERIES

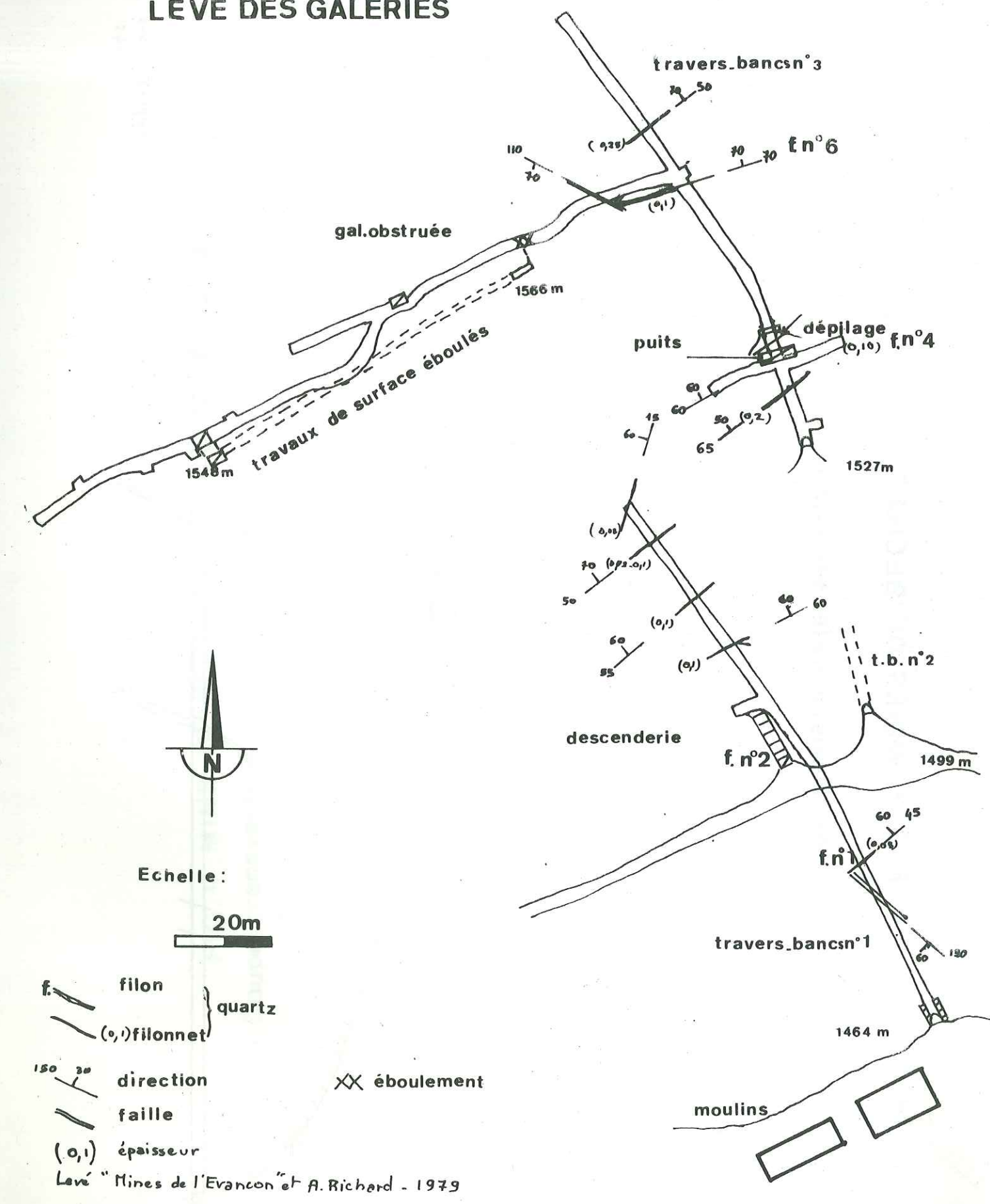


FIG. 46 : MINES DE BECHAZ

Coupe transversale des filons

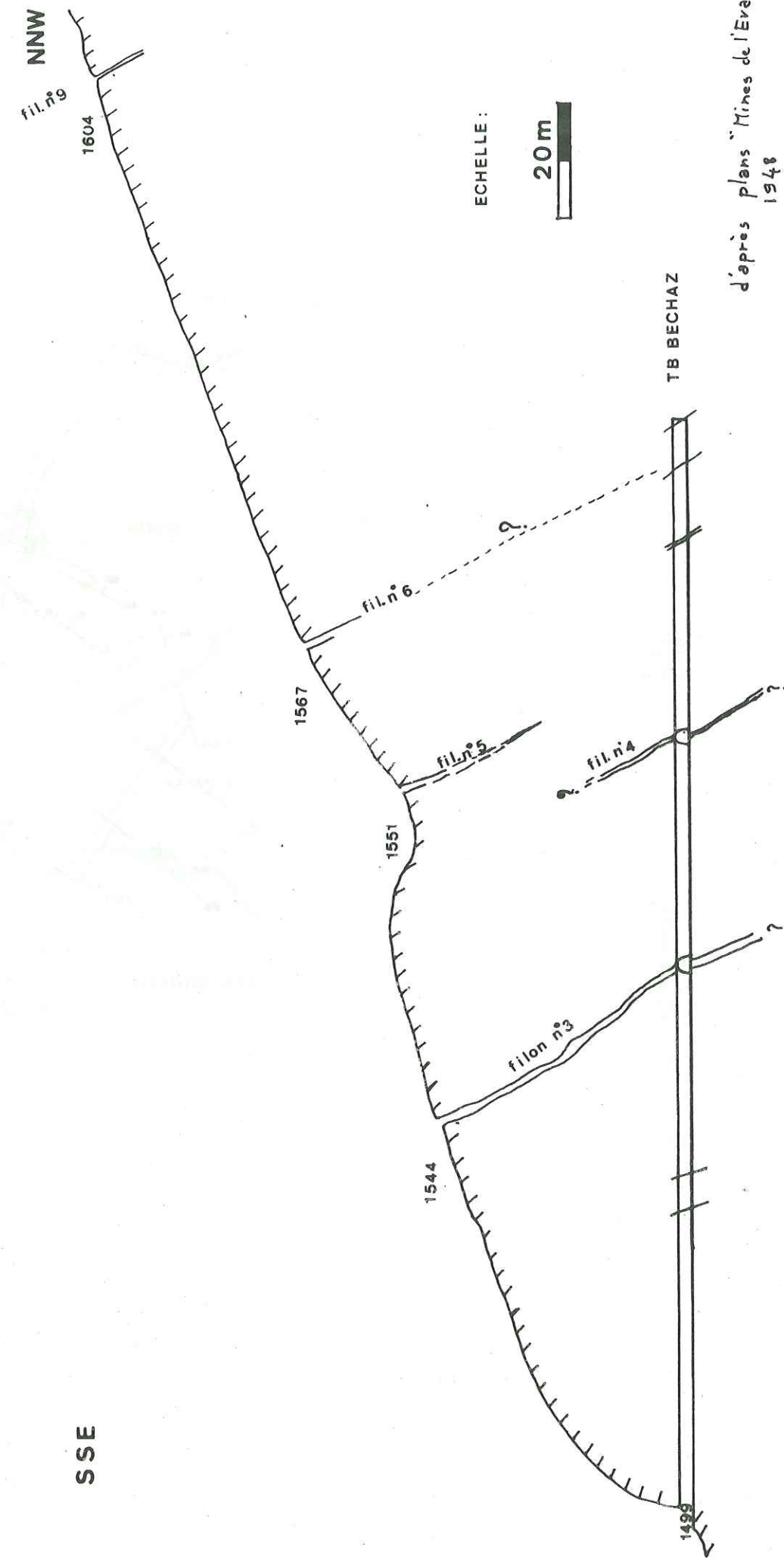


FIG. 47 : MINE DE BECHAZ  
Coupé transversale des travers-bancs

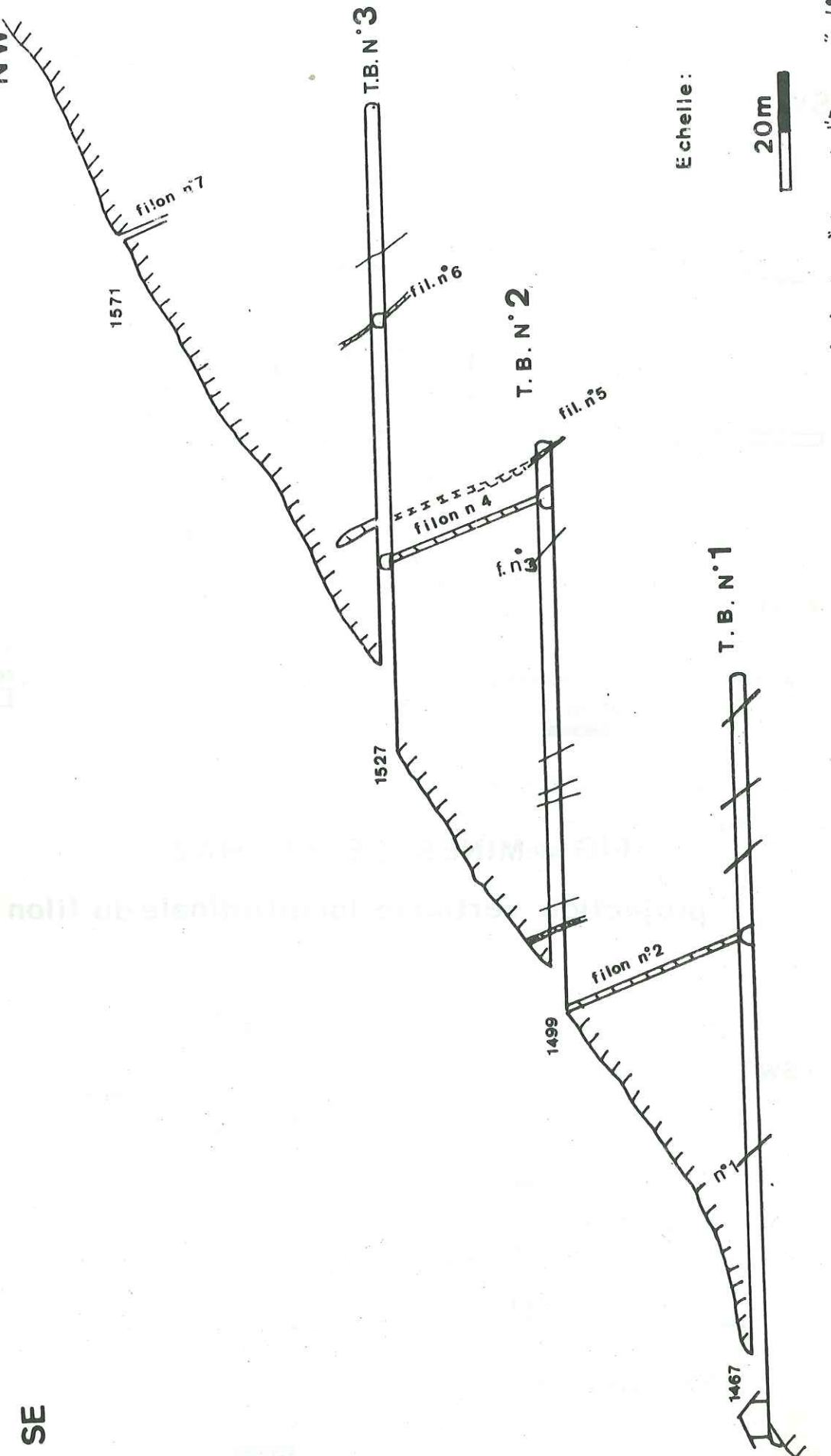


FIG. 48: MINES DE BECHAZ

PROJECTION VERTICALE LONGITUDINALE DU FILON N°3

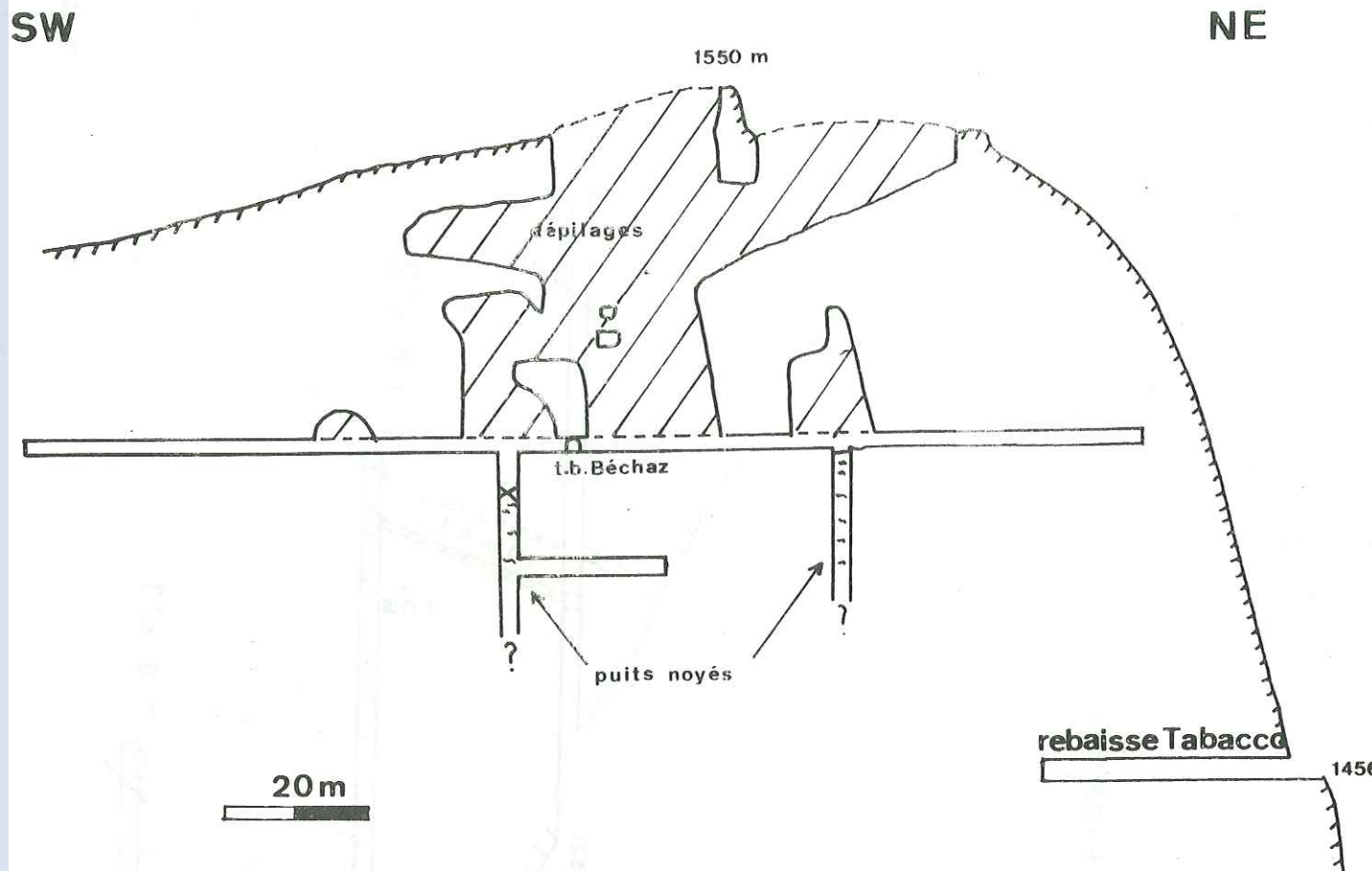


FIG. 49: MINES DE BECHAZ

projection verticale longitudinale du filon n°6

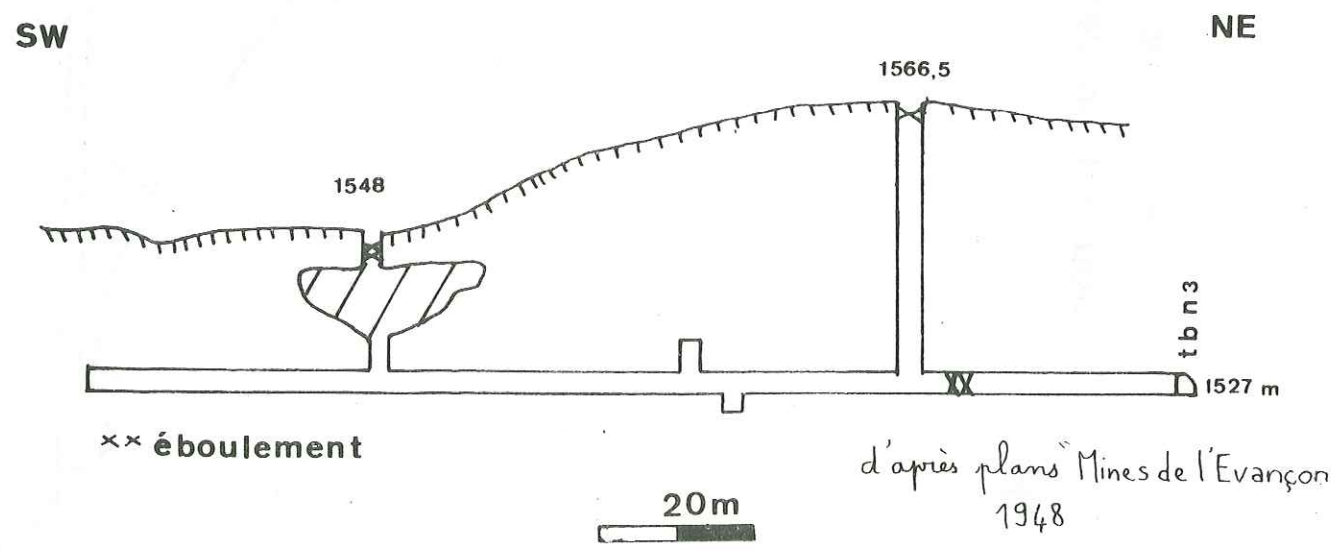
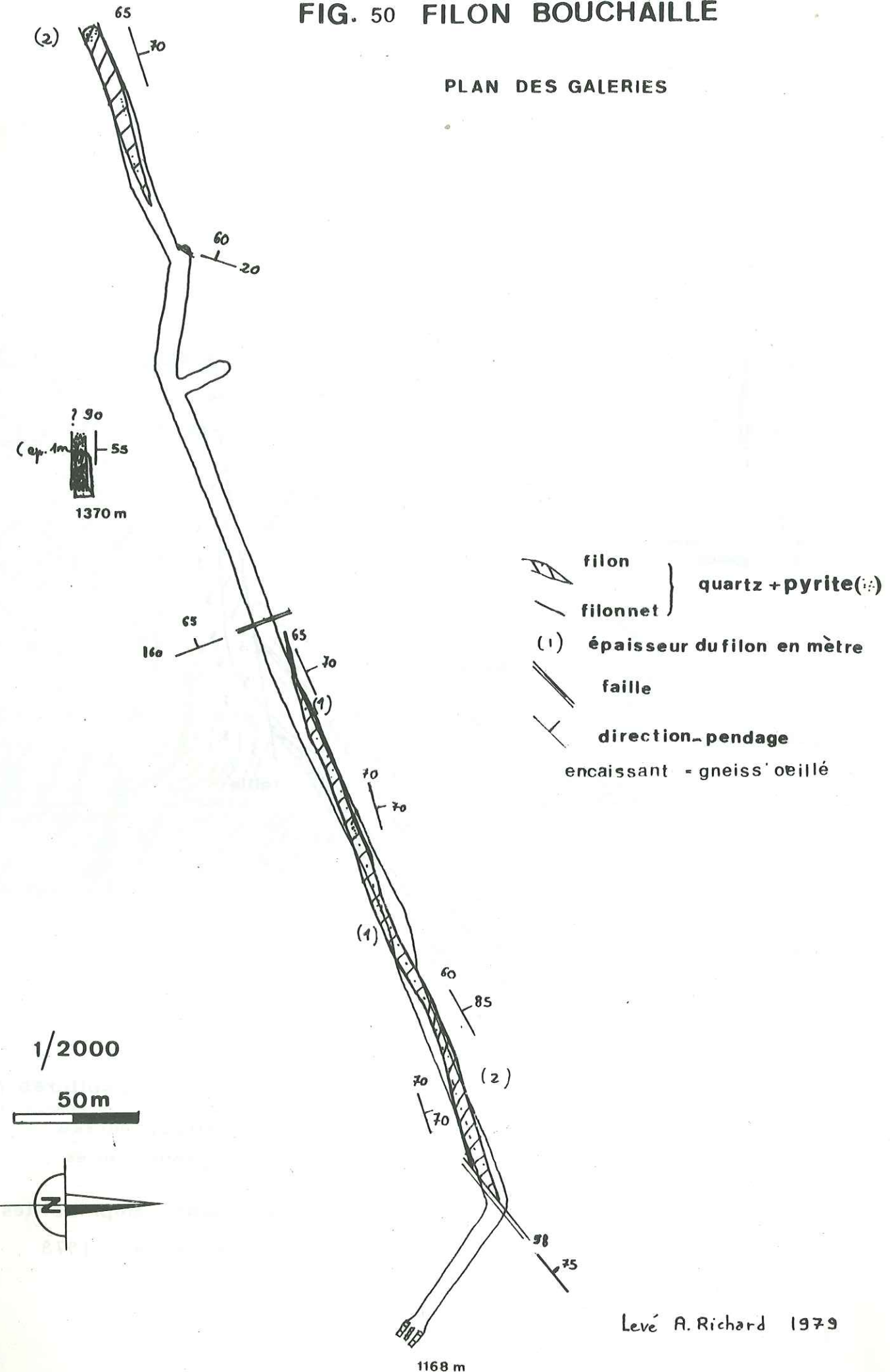


FIG. 50 FILON BOUCHAILLE

PLAN DES GALERIES



Levé A. Richard 1979

FIG. 51 FILON VIA BECHAZ

Levé de la galerie

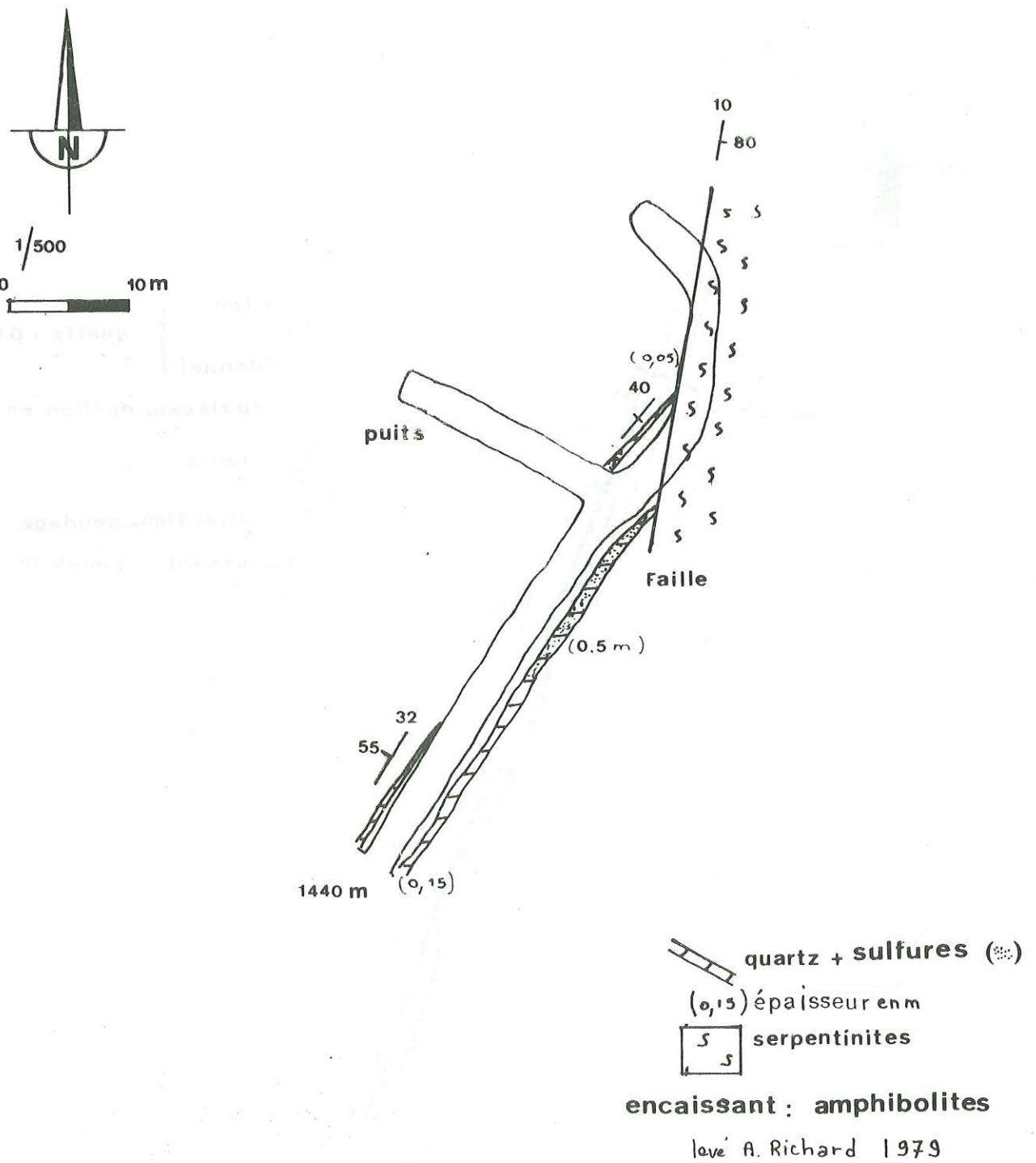
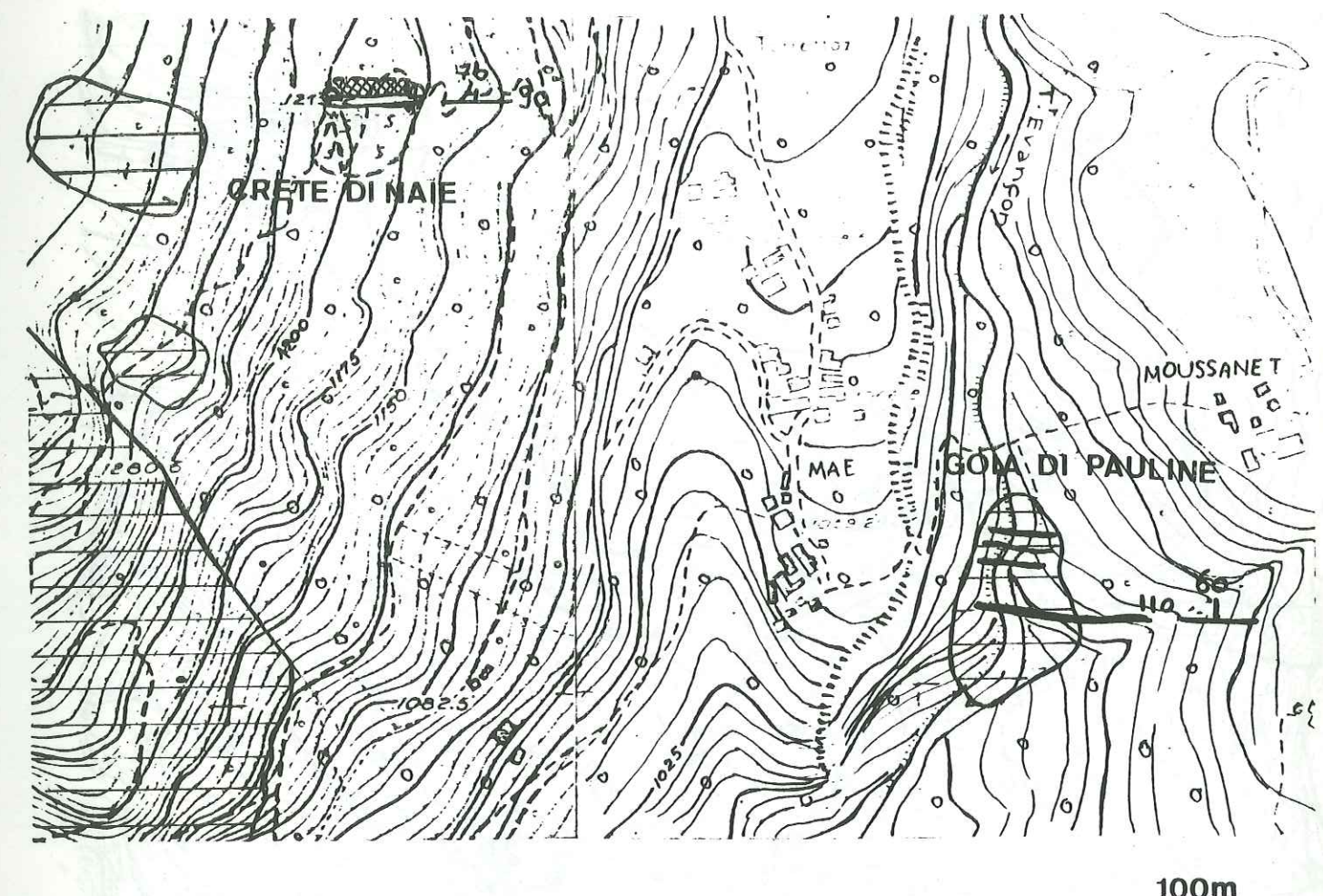


Fig. 52 : Situation des filons du secteur Challant-Saint-Anselme sur carte géologique au 1/5 000.



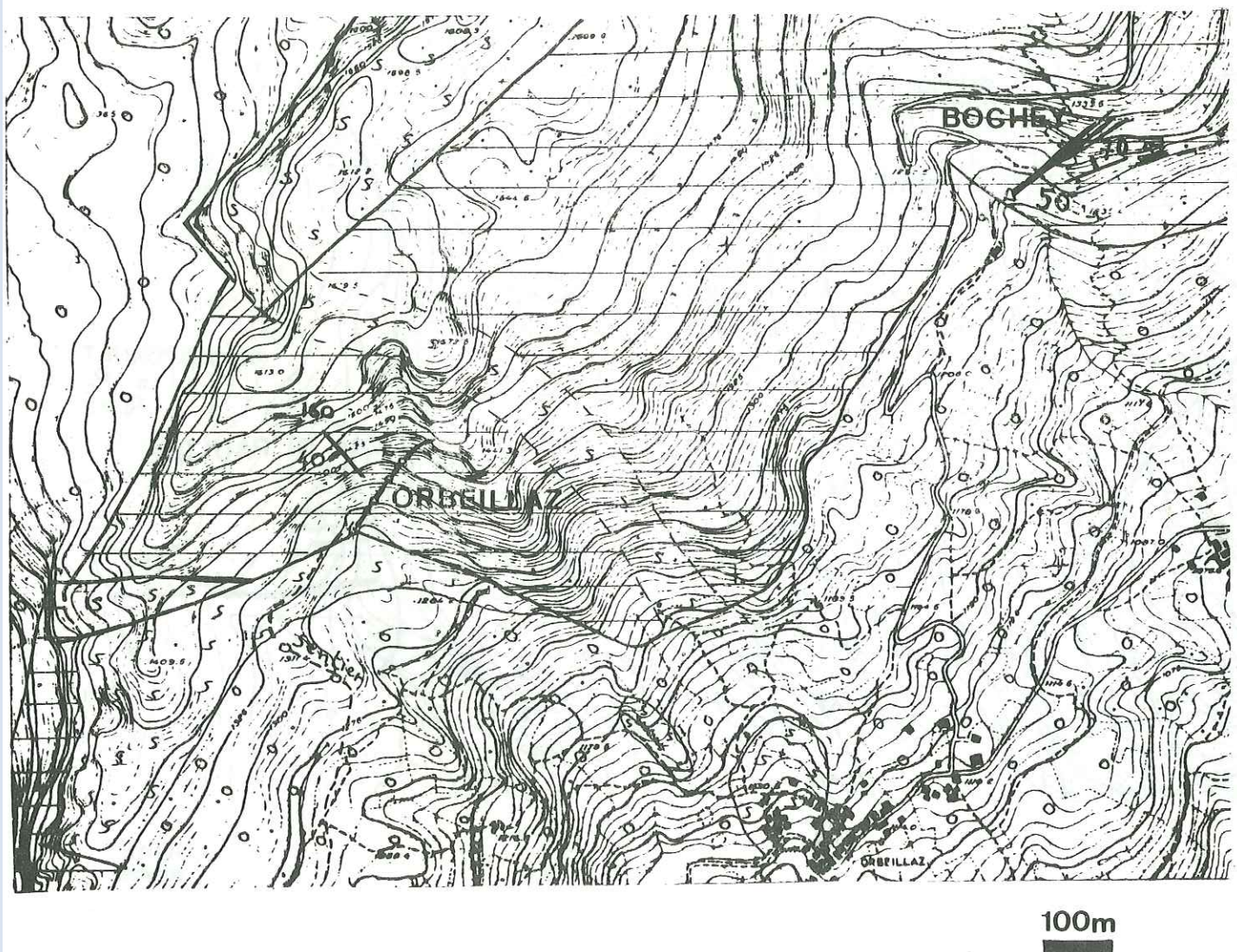
Univ. J. Fourier - O.S.U.G.  
MAISON DES GÉOSCIENCES  
DOCUMENTATION  
F. 38041 GRENOBLE CEDEX  
Tél. 04 76 63 54 27 - Fax 04 76 51 40 58  
Mail : ptalour@ujf-grenoble.fr

30 AOUT 2003

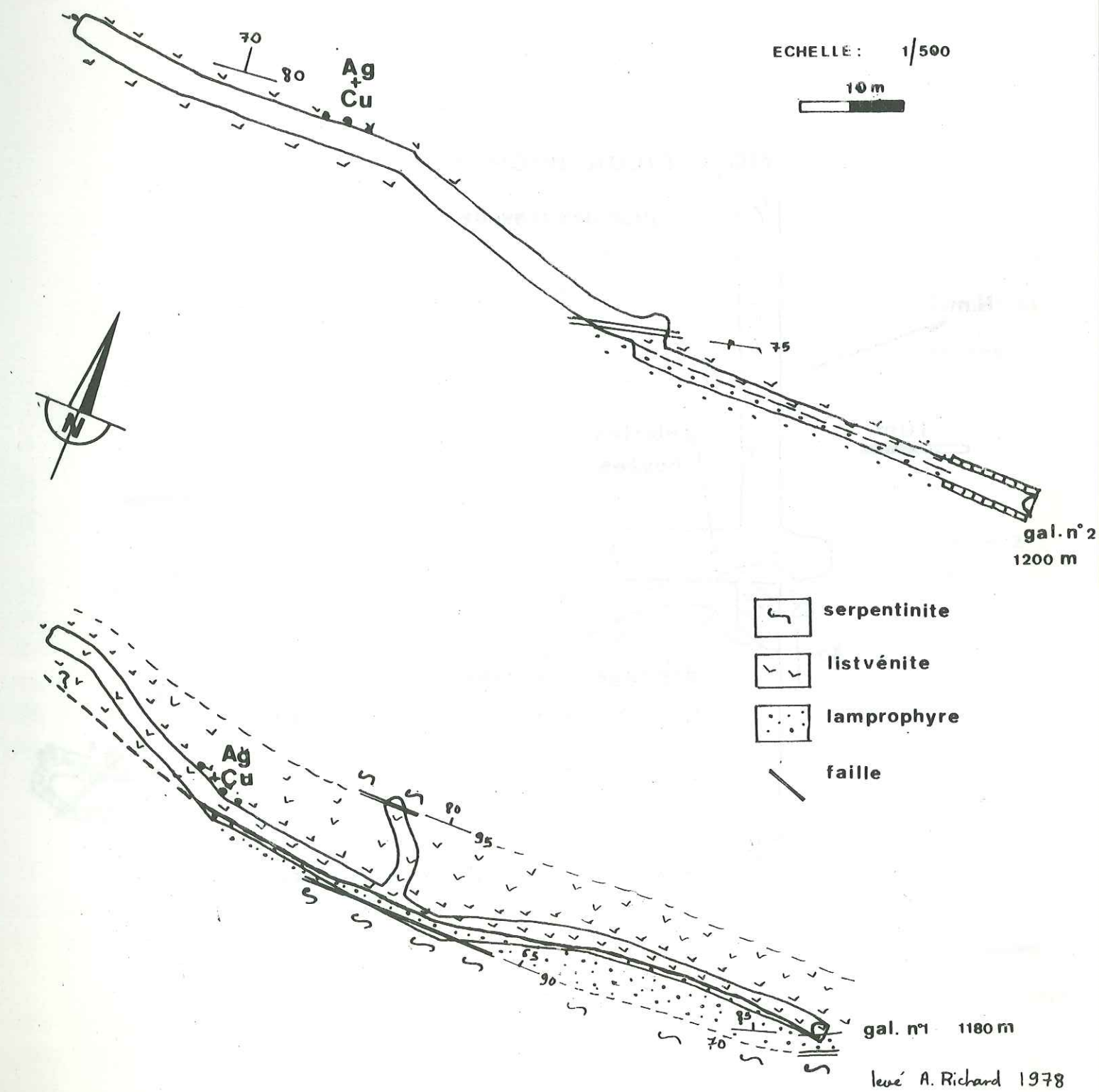
FIG. 54 FILON CRETÉ DI NAIE

LEVÉ DES GALERIES

Fig. 53: Situation des filons du secteur Challant-Saint-Anselme sur carte géologique au 1/10 000.



même légende que la figure 52



levé A. Richard 1978

Fig. 56  
FILON ORBEILLAZ  
PLAN DES GALERIES

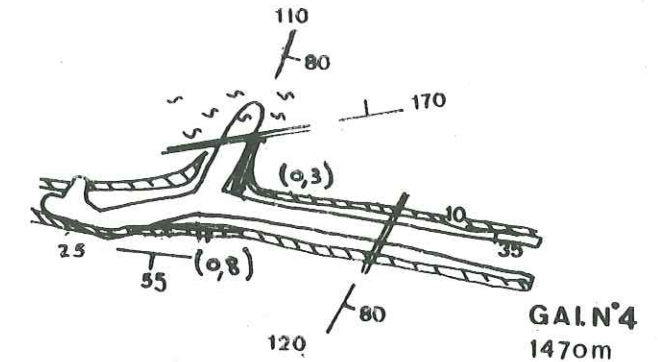
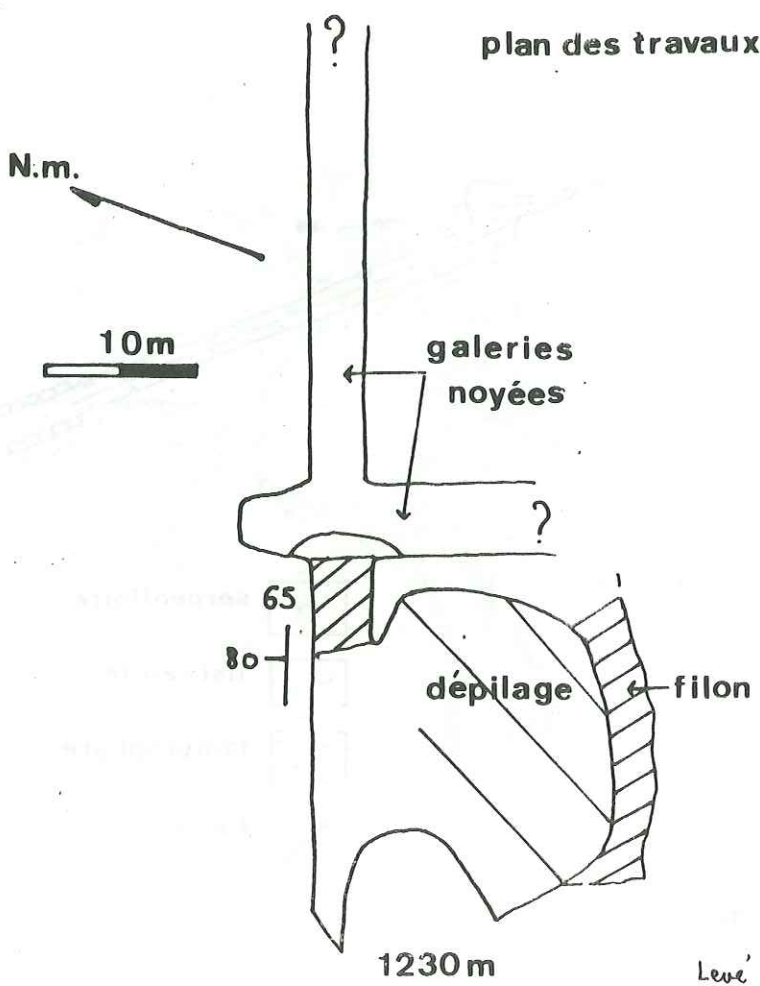


FIG. 55: FILON BOCHÉY



Levé A. Richard 1978

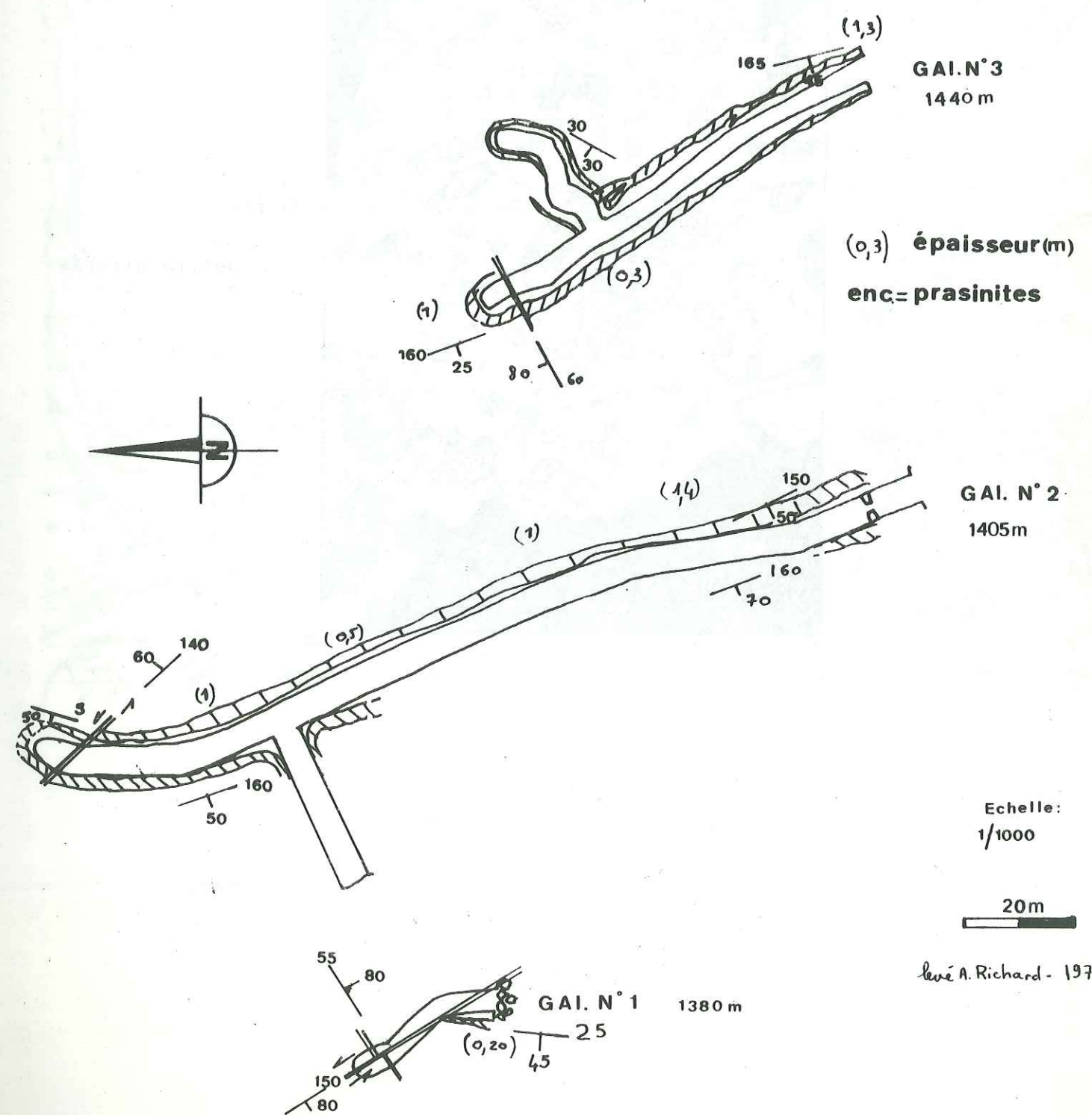


Fig. 57 : Amas Bec de l'Aigle: brèche de quartz laiteux à éléments d'amphibolites mesozoïques altérées en roches à carbonates de fer, sériite, chlorite .

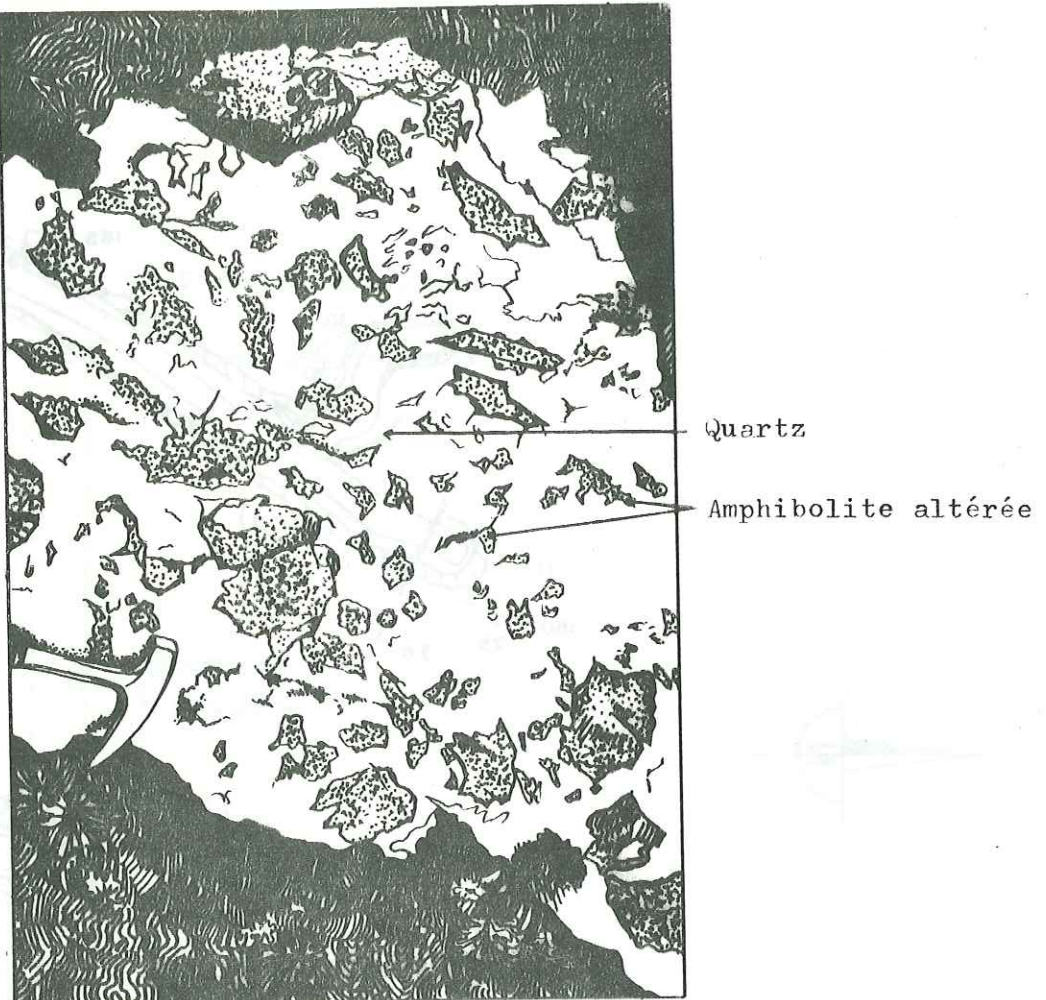
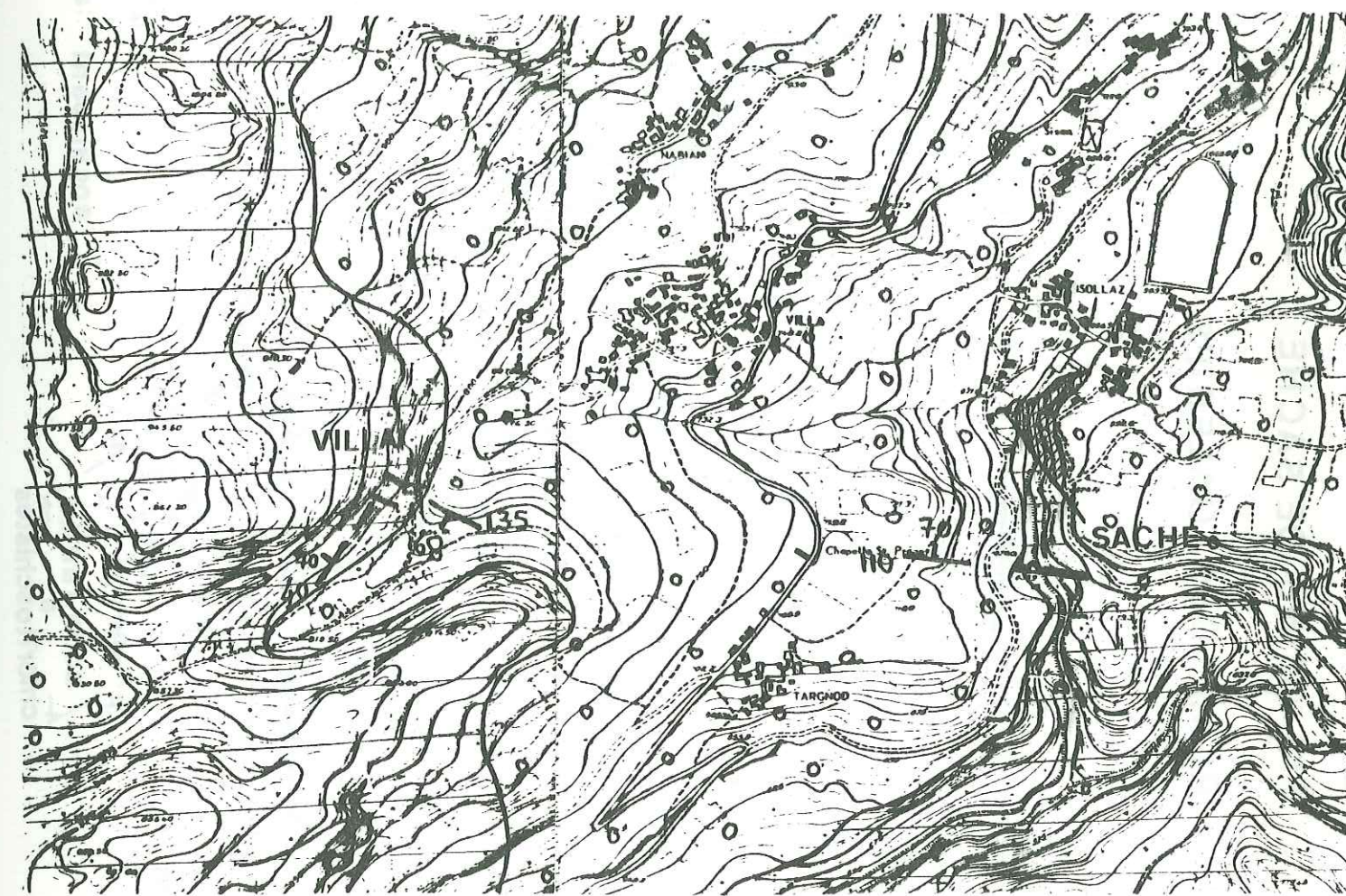


Fig. 58: Situation des filons du secteur Chéllant-Saint-Victor sur carte géologique au 1/10 000.



- ○ Quaternaire
- ▨ Listvénites
- ■ Amphibolites et prasinites

## PLAN DES GALERIES

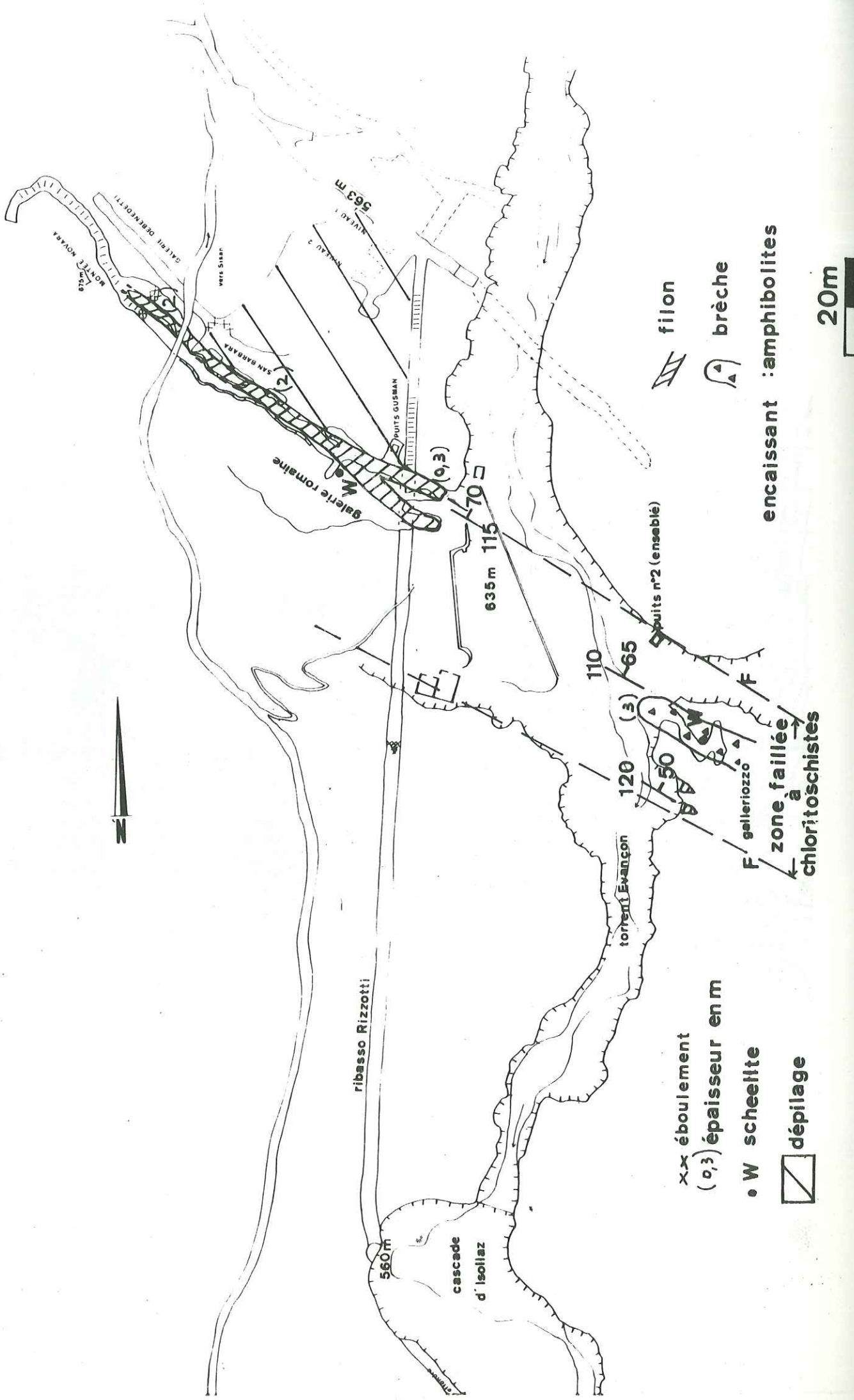


FIG 60: MINE DE SACHE

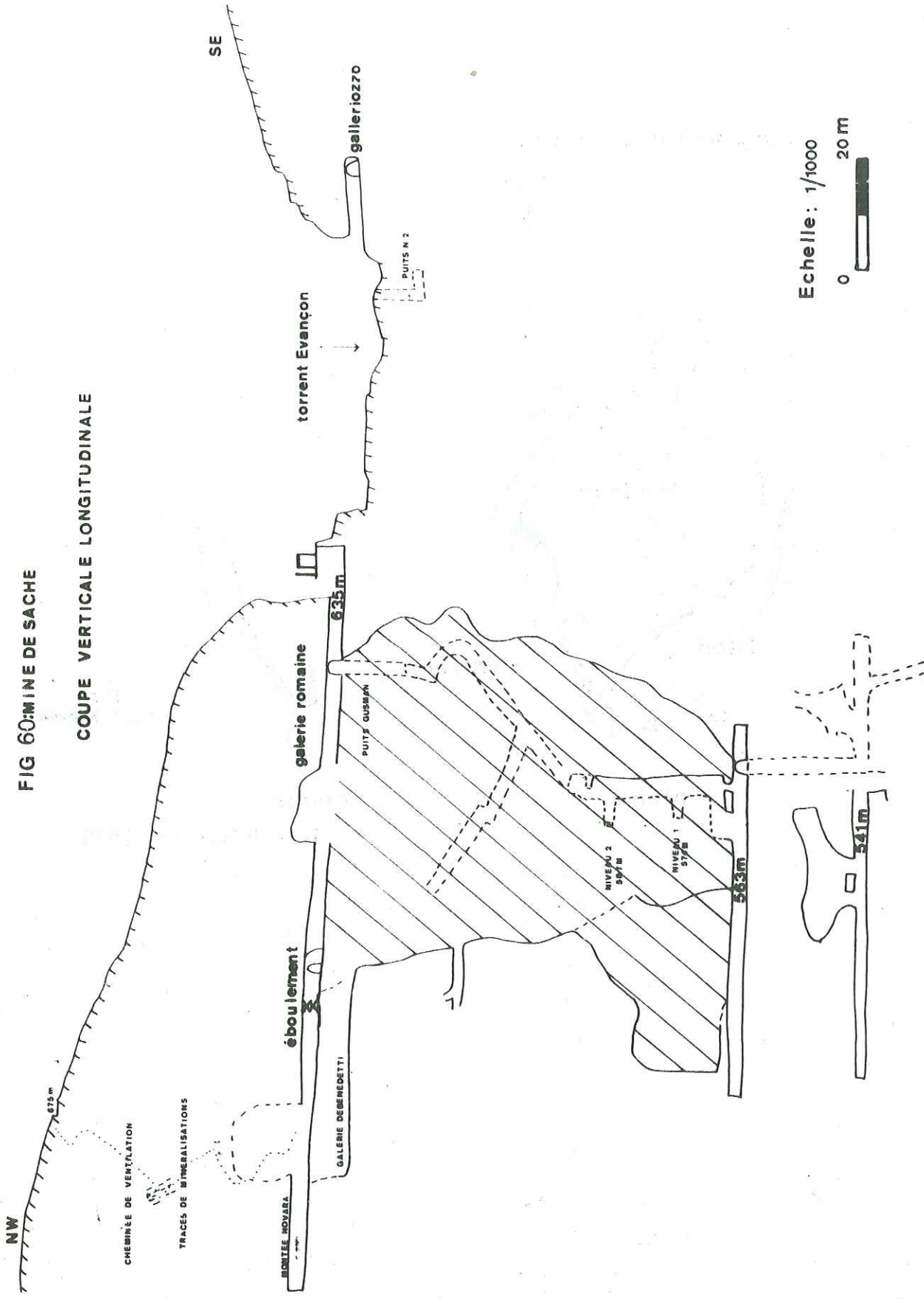


FIG. 61: FILON VILLA

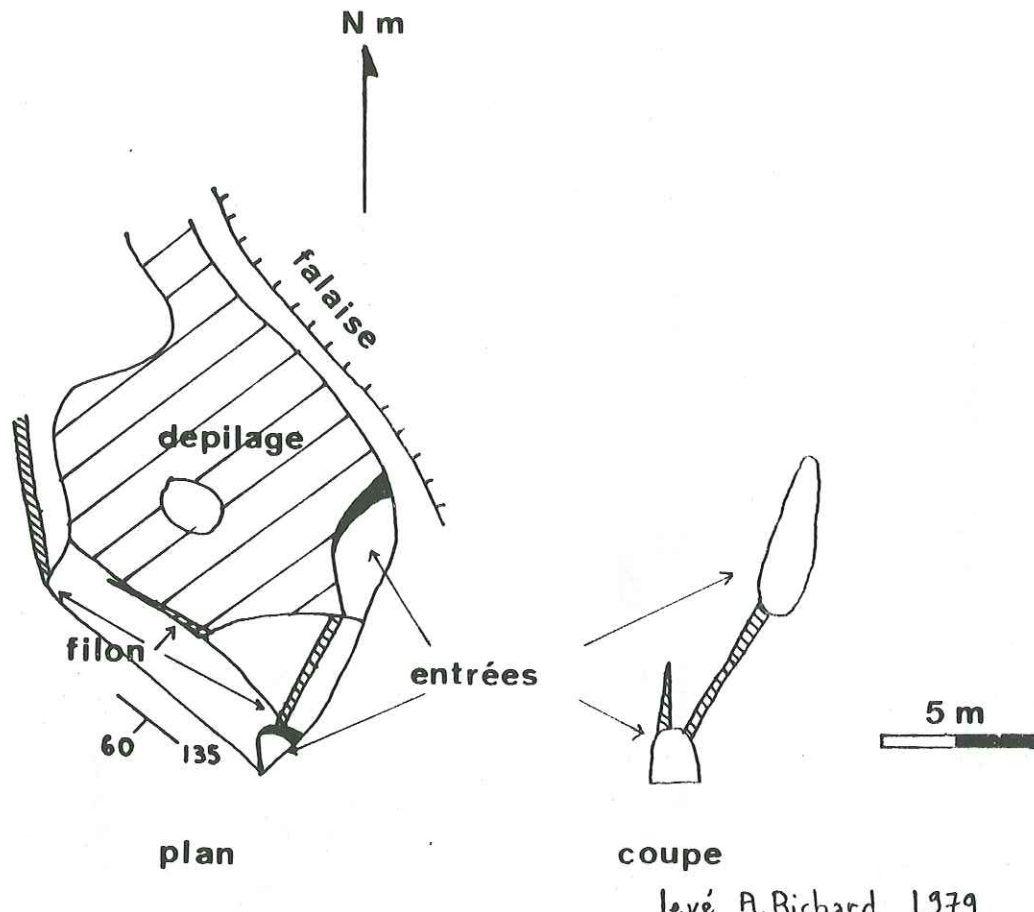
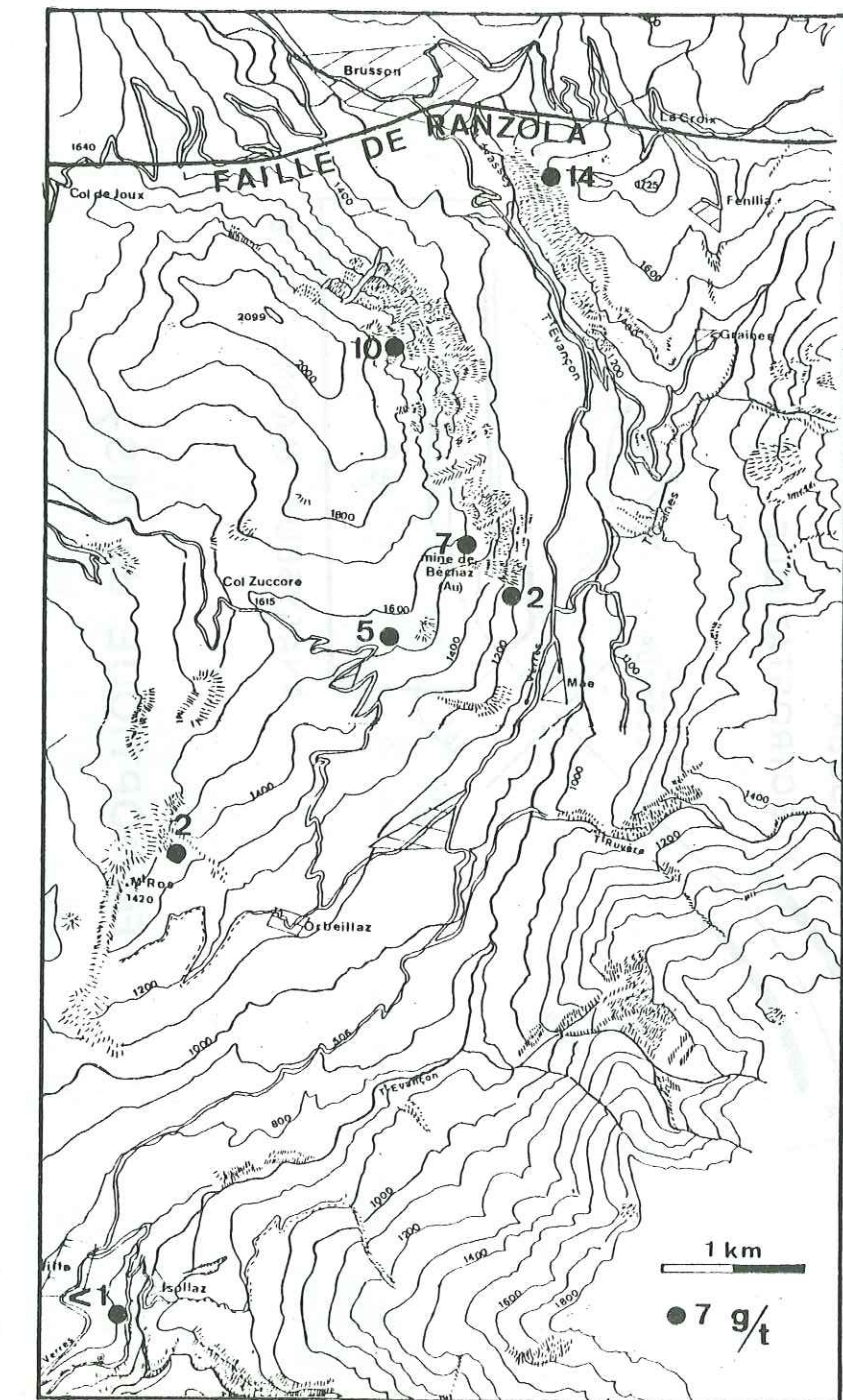


Fig. 62: Répartition spatiale des teneurs en or des filons du district de Challant.



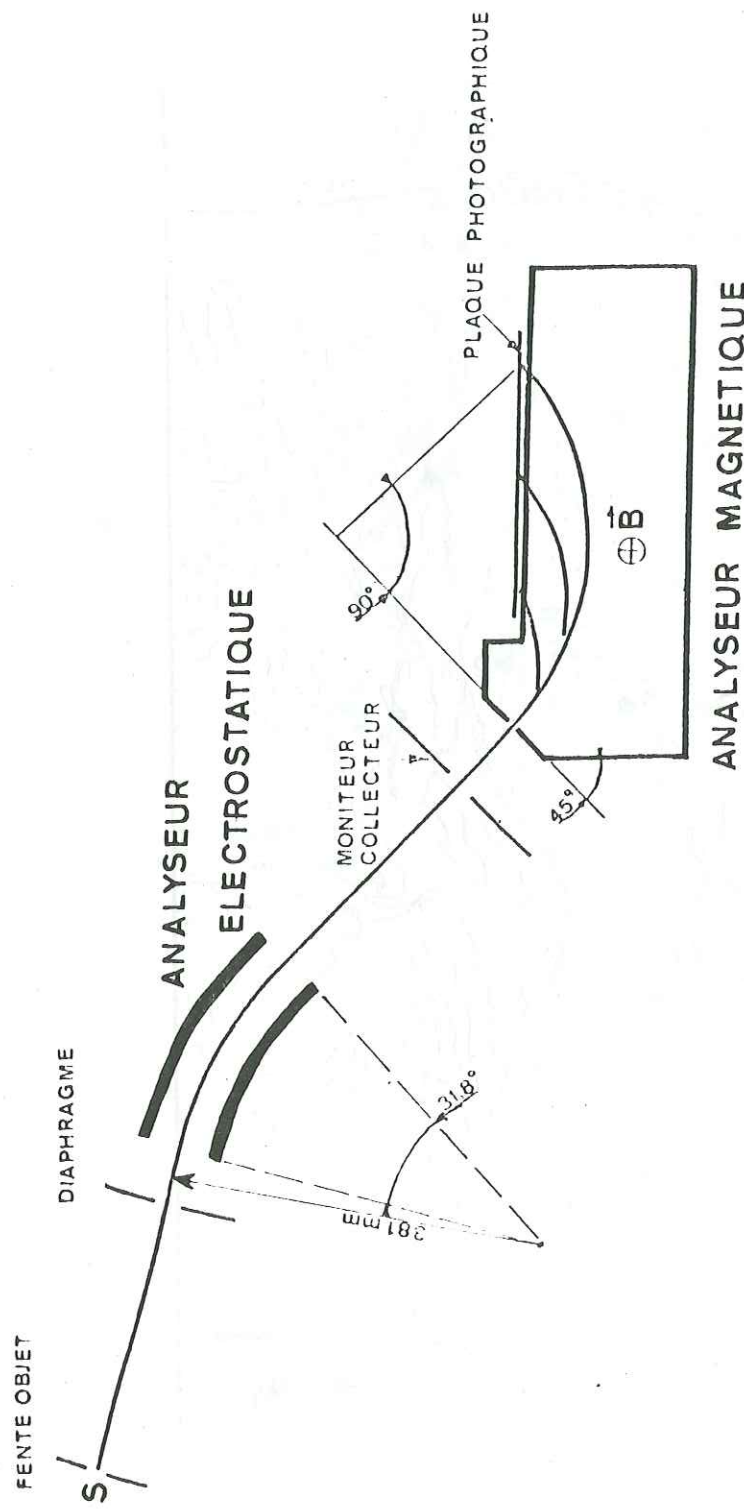
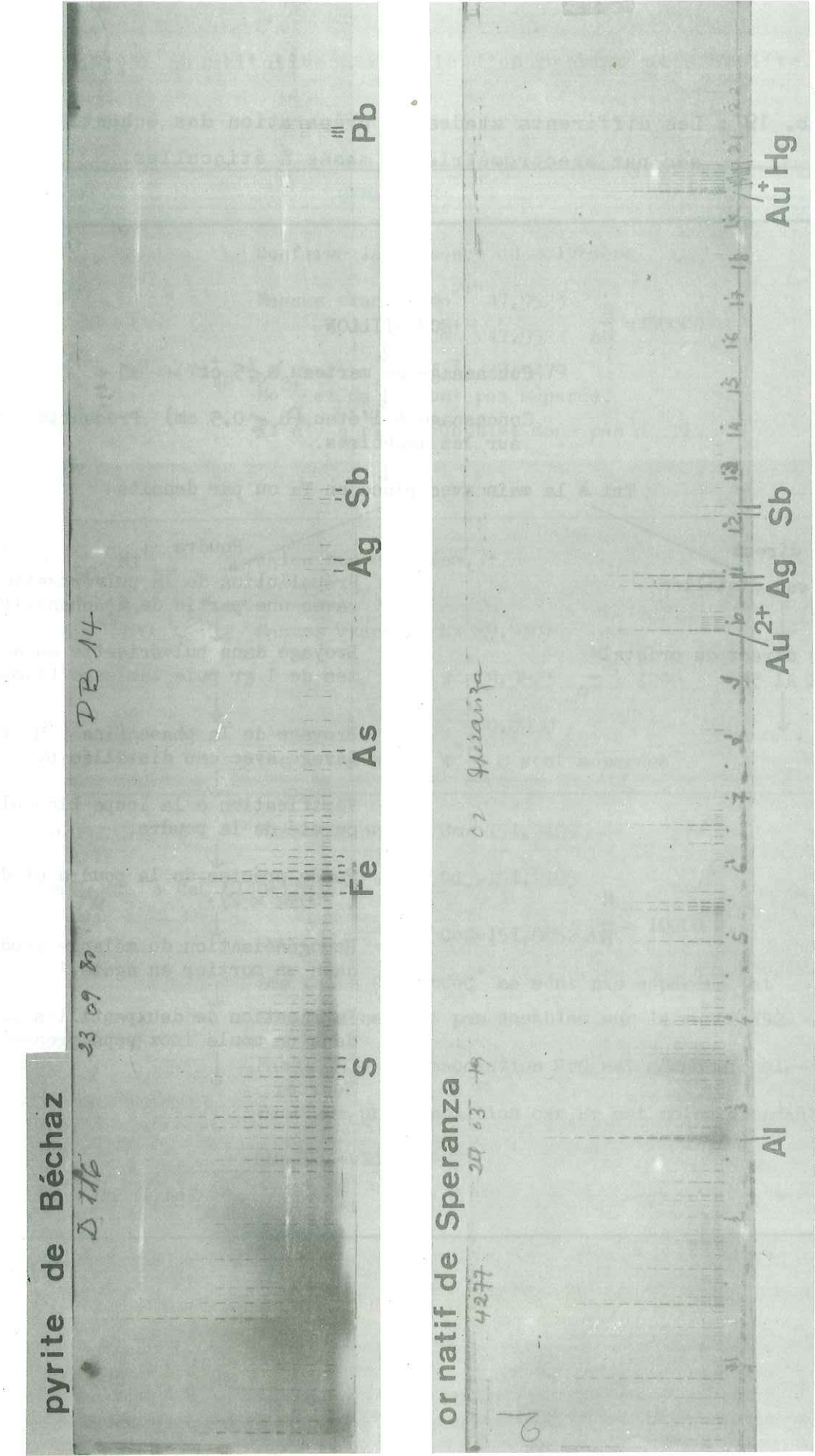
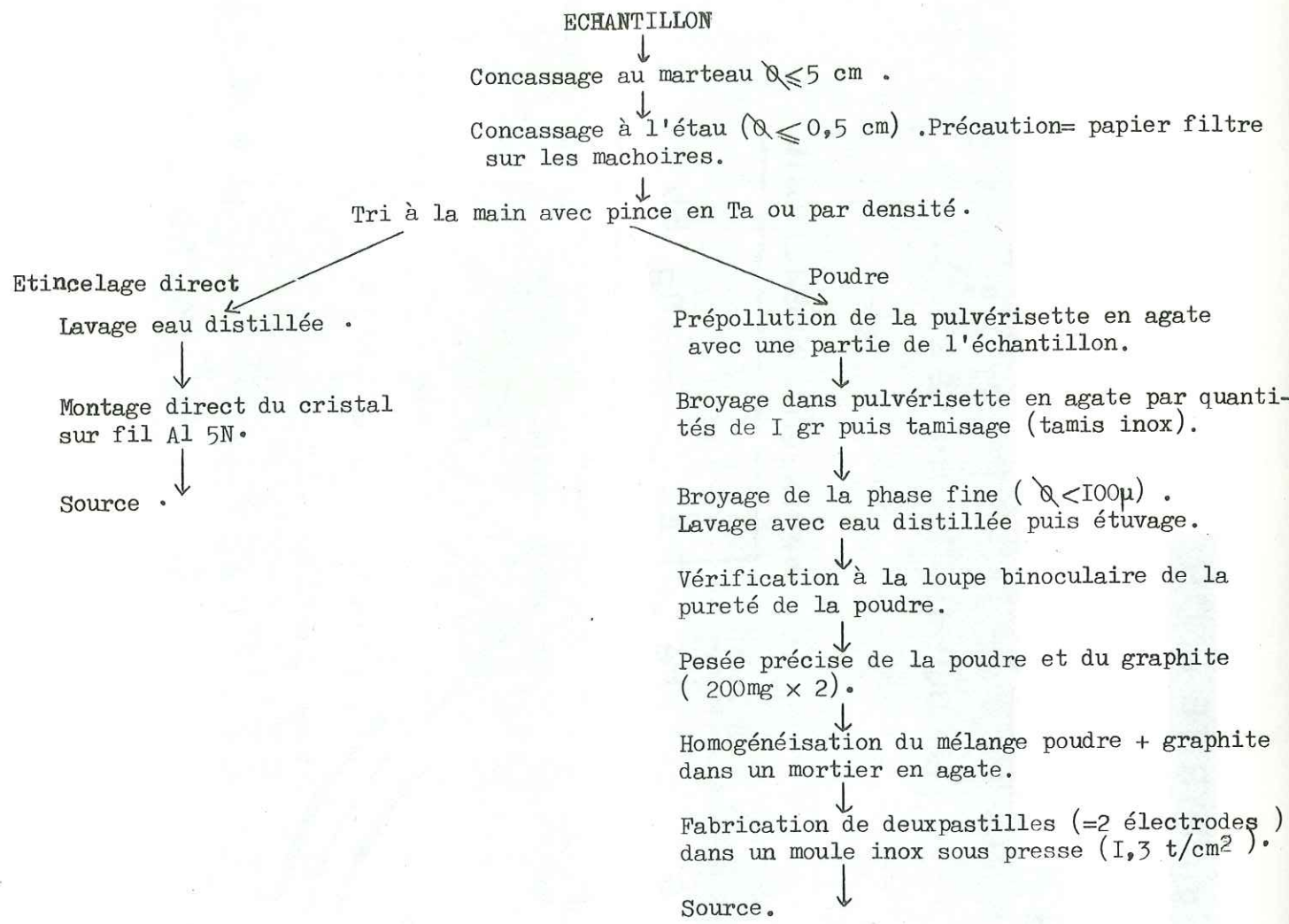


Fig.63 OPTIQUE du MS<sub>7</sub>

Fig. 64 SPECTRES de PYRITE et OR



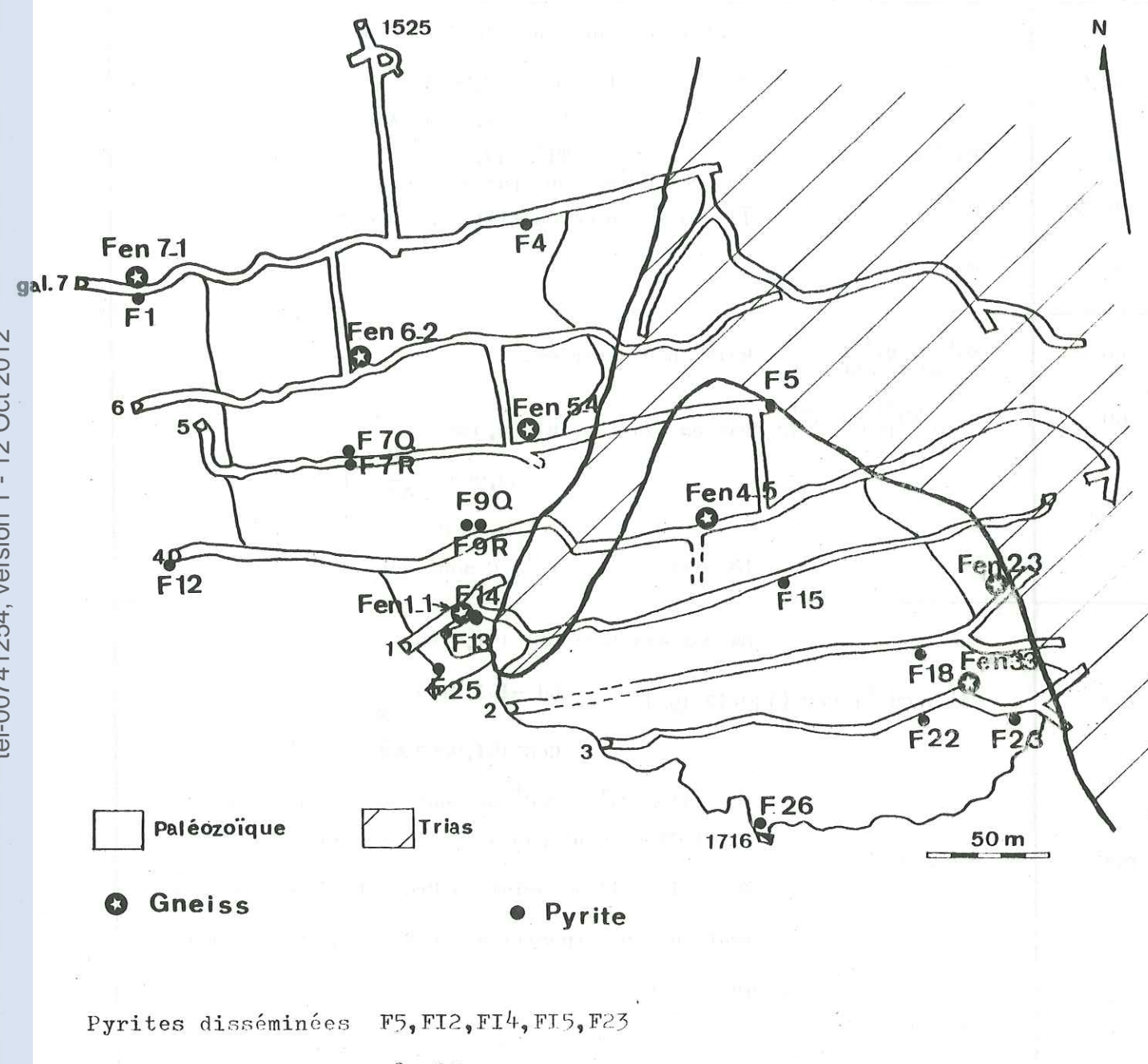
Tab. 19 : Les différents stades de préparation des échantillons à analyser par spectrométrie de masse à étincelles.



Tab. 20 : Analyse quantitative partielle d'un spectre de scheelite.

MASSES	IONS	REMARQUES
47	Mo <sup>2+</sup>	Confirme la présence du molybdène
47,5	Mo <sup>2+</sup>	Masses exactes: Mo <sup>2+</sup> 47,9523 Ca <sup>+</sup> 47,9524 $\frac{M}{\Delta M} = 180000$
48	Mo <sup>2+</sup> + Ca <sup>+</sup> + (Ti <sup>+</sup> ) <sub>48</sub>	Ti <sup>+</sup> 47,9479 Mo <sup>2+</sup> et Ca <sup>+</sup> ne sont pas séparés.
48,5	Mo <sup>2+</sup>	Il n'y a pas de doublet donc pas de Ti
49	Mo <sup>2+</sup>	
58	Fe <sup>+</sup> 58 <sup>+</sup> Ni <sup>+</sup> 58	Raies non séparées.
60	Ni <sub>60</sub> + W <sup>3+</sup> <sub>180</sub> + Sc <sup>+</sup> <sub>12</sub>	Masses exactes: Ni 59,9307 W 59,9823 $\frac{M}{\Delta M} = 1200$ C 60,0000 Les raies Ni <sup>+</sup> , W <sup>3+</sup> , C sont séparées.
I51	Eu <sup>+</sup>	Masses exactes: Sm= 151,9195
I52	Sm <sup>+</sup> + Gd <sup>+</sup> + CeC (I40+I2=I52)	Gd = 151,9195 CeC=151,9052 $\frac{M}{\Delta M} = 10600$
I53	Eu <sup>+</sup> + PrC	Les raies Gd <sup>+</sup> et CeC <sup>+</sup> ne sont pas séparées et Sm et Gd ne sont pas dosables sur la masse I52. Masse I53: l'association PrC est gênante seulement sur une exposition car Pr est moins abondant que Ce ou Nd.
I54	Sm <sup>+</sup> + Gd <sup>+</sup> + NdC	

Fig. 65 : Situation des échantillons de pyrite analysés par SME, dans le filon FENILLAZ.



Pyrites disséminées F5, F12, F14, F15, F23

Pyrites en amas F1, F18, F22

Pyrites dans enclaves de gneiss F4, F9, F25, F26

Fig. 66 : Situation des échantillons de pyrite analysés par SME, dans le filon BECHAZ N°3.

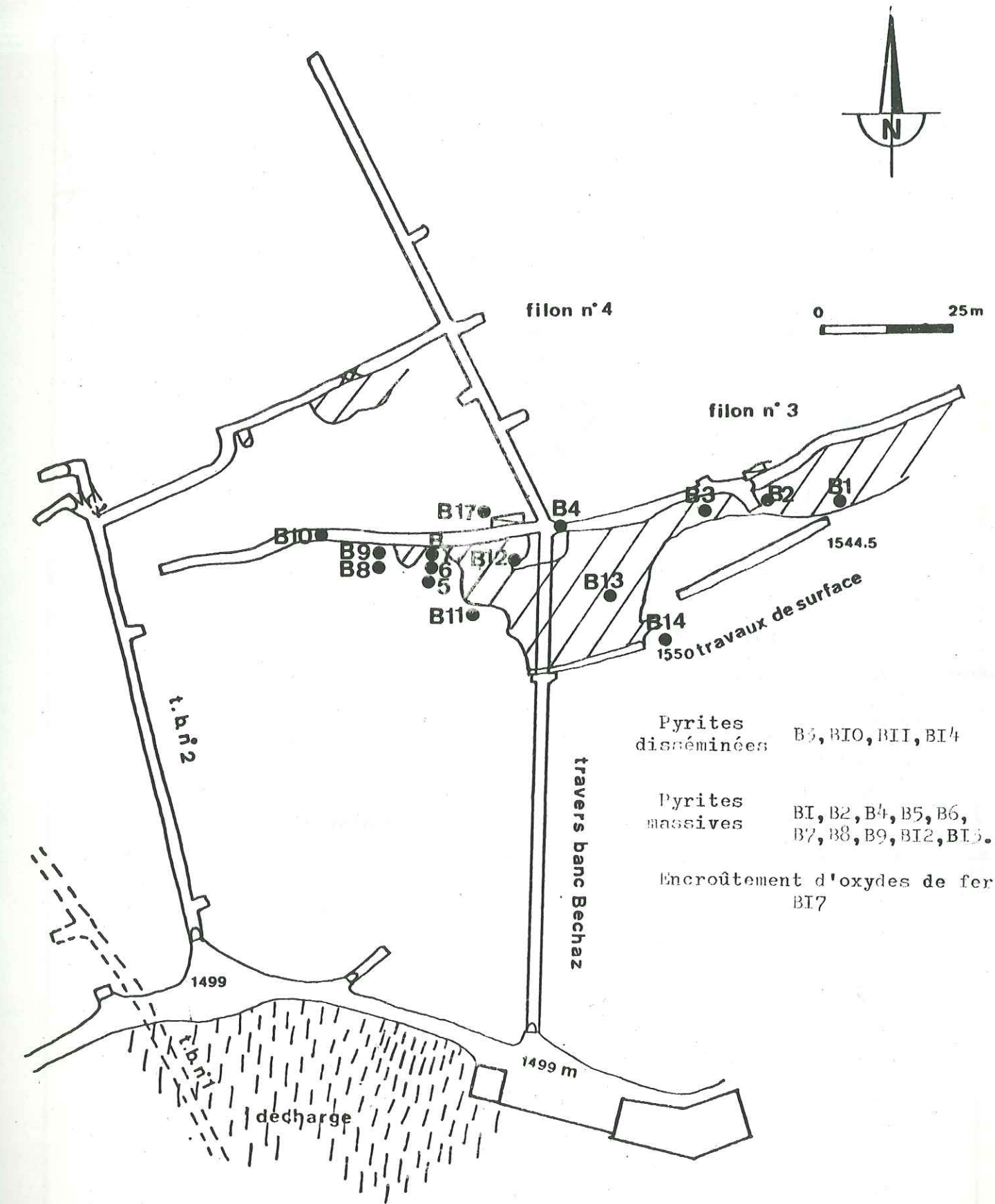
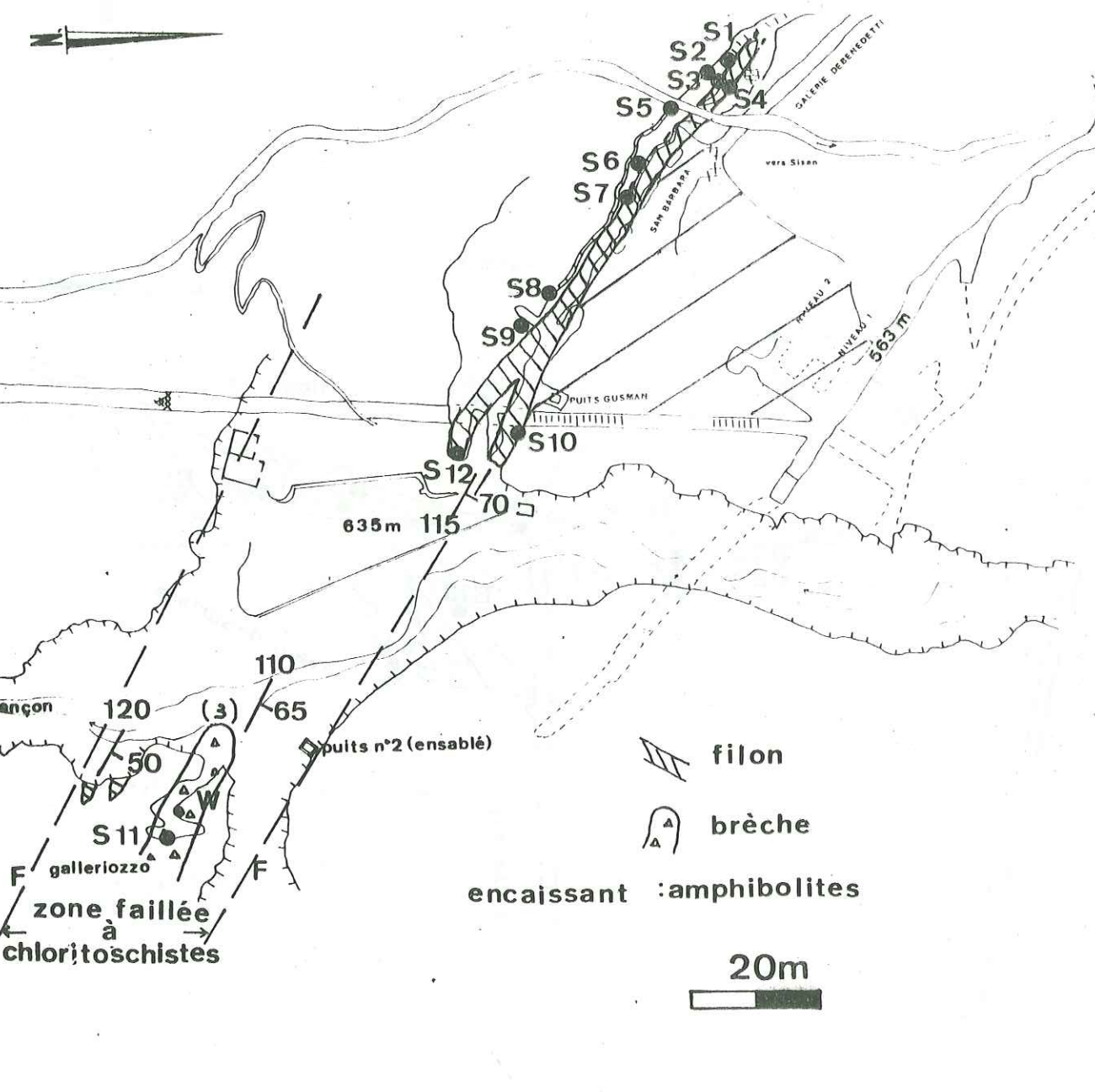


Fig. 67: Situation des échantillons de pyrite analysés par SME, dans le filon SACHE.



Pyrites disséminées S5, S7

Pyrites massives S1, S2, S3, S4, S8, S9, S10, S11, S12

Boue dans fracture du filon S6

TAB. 21 Résultats d'analyses de l'or dans des prélèvements systématiques en galerie (méthode par éclats): filons Orbeillaz et Bechaz n° 3.

Filon Orbeillaz		Filon Bechaz n° 3	
N° prélèvement	Teneur Au ( $10^{-3}$ µg/g)	N° prélèvement	Teneur Au ( $10^{-3}$ µg/g)
I	40	I	900
2	10	2	(900)
3	<10	3	10
4	10	4	(13700) ou 10 (10500)
5 haut	650	5	6
5 bas	740	7	(1800) ou 470 (4900) ou 110
6	4900	8	<10
7	170	10	40
8	20	II	3850
9	100	12	1900
IO	15800	Ech. M. Bitossi	(34500)
II	1900		
I2	(820)		
I3	150		
I4	4200		
I5	160		
I6	310 ou (400)		
I7	10		
I8	(<50)		
I9	20		
20	<10		
21	(<50)		
22	25		
23	1450		
24	60		
25	70		
26	600	900 Analyse Barringer	
27	140	(900) Analyse B.R.G.M.	
28	780		
29	(590)		
30	30		

FIG. 68 Dosages spécifiques de l'or dans des prélèvements par éclats dans le filon BECHAZ n°3.

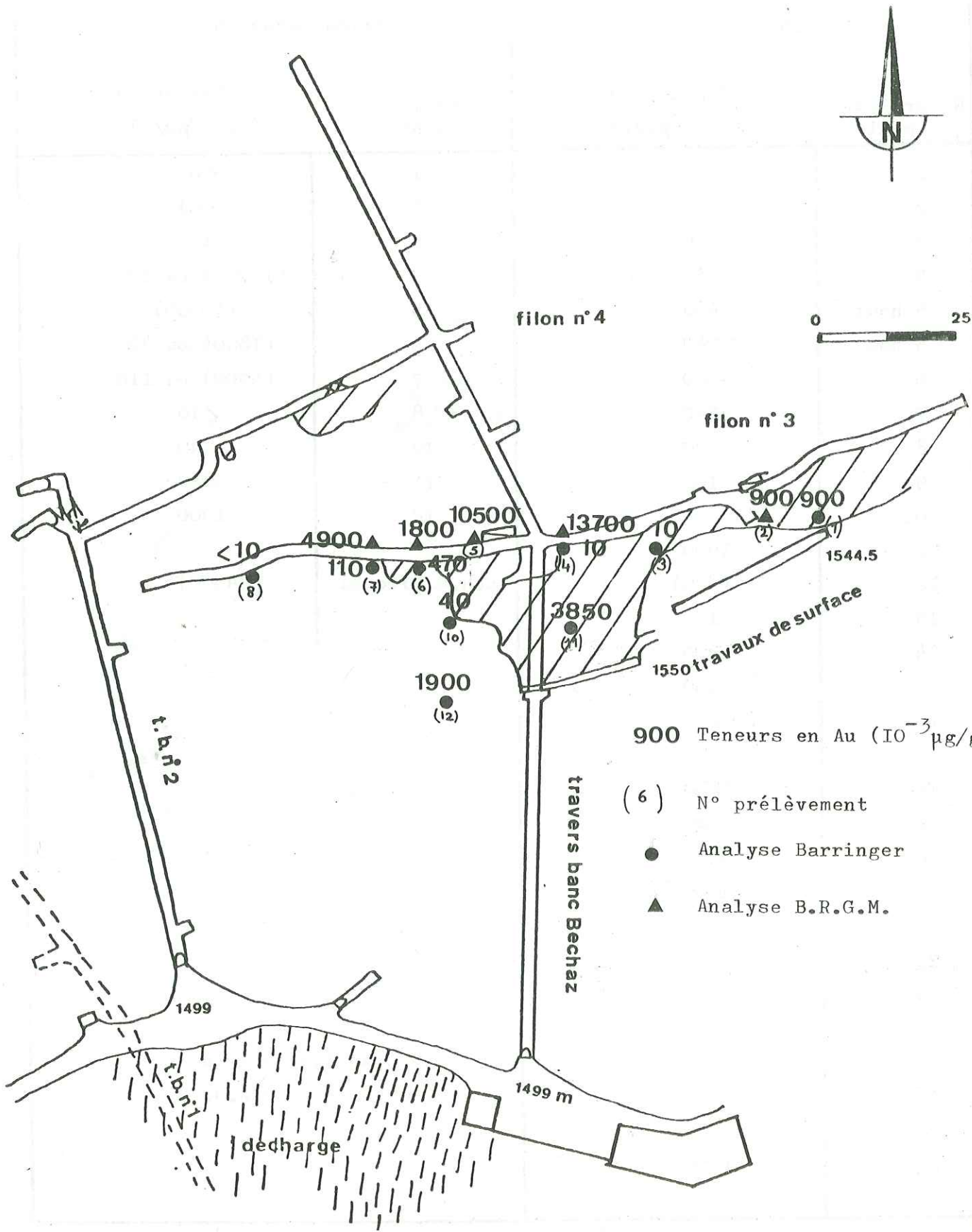
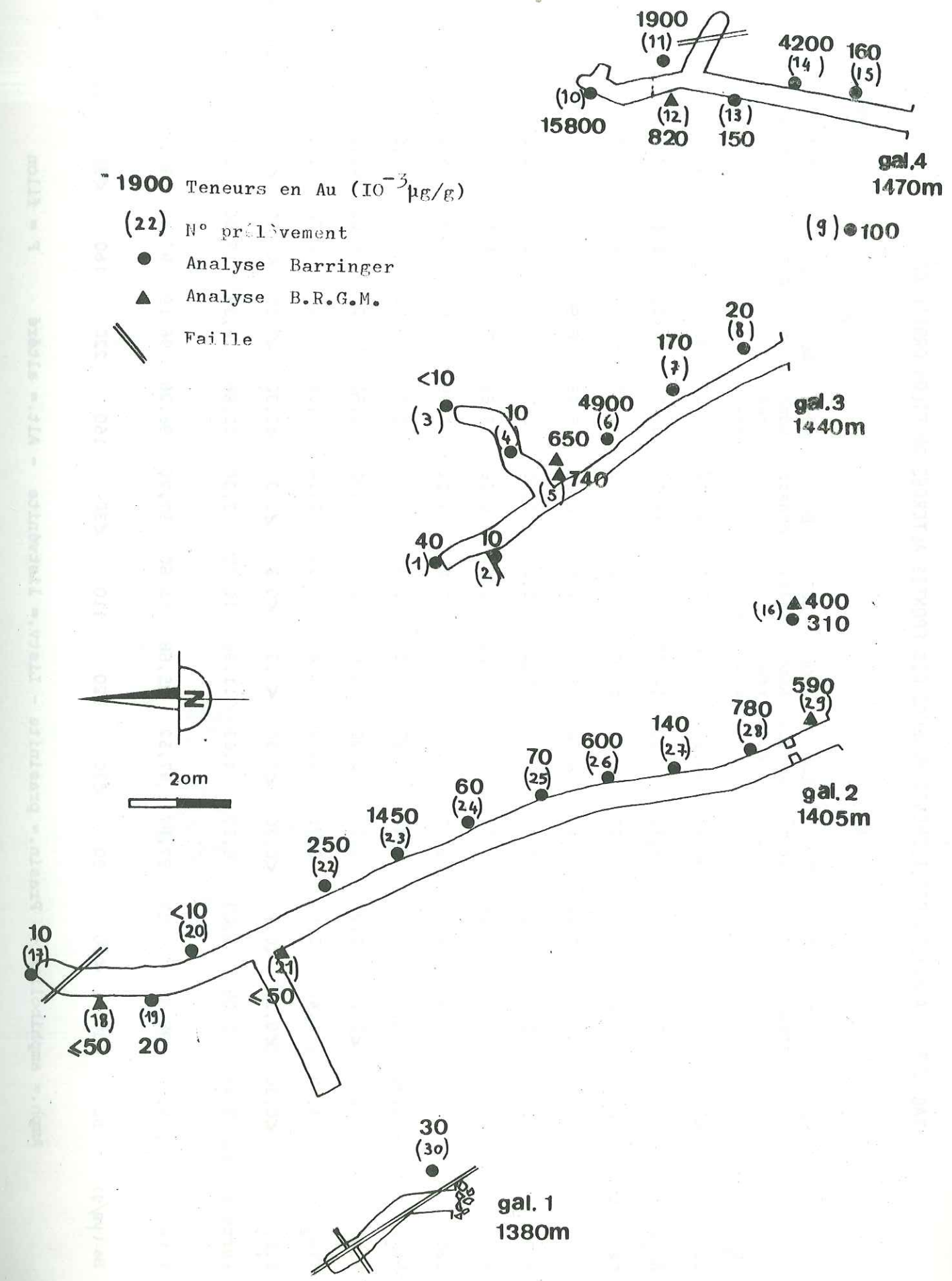


FIG. 69 Dosages spécifiques de l'or dans des prélèvements par éclats dans le filon ORBEILLA%.



TAB. 22 : ANALYSES DES ELEMENTS MAJEURS DES EPONTES ALTEREES DU FILON ORBEILLAZ

	EO1 Amph. Prasin.	EO2 Prasin. Amph.	EO3 Amph. alt.	EO4 Amph. alt.	EO5 Amph. pyrite	EO6 Amph. très alt.	EO7 Prasin. très alt.	EO8 Prasin. très alt.	EO9 Prasin. très alt.	EO10 Amph. Prasin. List.	EO11 Prasin. List.	EO12 Prasin.	EO13 Prasin.	EO14 Prasin.	EO15 Prasin.	
%																
SiO <sub>2</sub>	42,00	44,30	45,90	46,40	45,90	38,70	43,10	47,10	39,00	32,50	33,10	44,80	43,10	44,30	45,20	
Al <sub>2</sub> O <sub>3</sub>	13,90	17,20	14,20	16,10	14,20	14,70	14,10	14,80	13,70	14,00	16,60	14,30	16,80	17,4	14,40	
Fe <sub>2</sub> O <sub>3</sub> tot.	8,88	11,00	11,80	13,00	12,00	10,60	9,04	10,80	9,68	11,30	6,19	15,00	8,10	12,60	15,10	
FeO	6,20	7,52	6,64	8,40	6,96	5,76	4,56	6,88	5,36	6,96	4,24	10,00	3,08	9,32	10,60	
MnO <sub>2</sub>	0,16	0,18	0,17	0,08	0,18	0,17	0,14	0,22	0,16	0,12	0,13	0,25	0,15	0,18	0,25	
MgO	8,10	8,39	6,20	5,50	5,78	3,31	3,64	6,06	5,65	7,69	6,57	8,47	4,12	8,54	8,54	
CaO	8,79	7,48	8,33	3,07	9,53	6,13	7,28	9,22	7,79	7,66	10,40	8,21	8,76	7,14	8,20	
Na <sub>2</sub> O	1,90	3,30	3,00	3,40	2,80	2,20	2,30	3,10	3,30	1,80	0,90	0,90	1,90	2,50	3,3	2,40
K <sub>2</sub> O	0,70	<0,20	0,20	1,30	0,20	3,60	3,10	0,30	3,50	4,20	5,00	<0,2	3,00	<0,2	<0,20	
TiO <sub>2</sub>	1,42	1,42	2,57	2,78	2,34	2,42	2,19	2,14	2,06	1,46	0,70	1,53	0,89	1,26	1,53	
P <sub>2</sub> O <sub>5</sub>	<0,30	<0,30	<0,3	<0,30	<0,30	<0,3	<0,3	<0,3	<0,30	<0,30	<0,3	<0,30	<0,3	<0,3	<0,3	
Perte au feu	9,44	5,09	5,07	6,27	4,63	11,88	10,70	3,30	12,96	16,39	17,86	2,71	11,02	3,55	2,67	
Total	95,29	98,39	97,27	97,87	97,52	95,68	95,60	97,20	96,26	96,19	97,46	97,17	98,44	98,27	98,29	
Ba (μg/g)	50	<30	<30	50	<30	120	110	<30	160	220	160	<30	120	<30	<30	

Amph. = amphibolite - Prasin. = prasinite - Listv. = listvénite - Alt. = altéré F = filon

Fig. 70 Profils des variations de teneurs en éléments majeurs dans des roches d'altération d'éponges: toit du filon ORBEILLAZ.

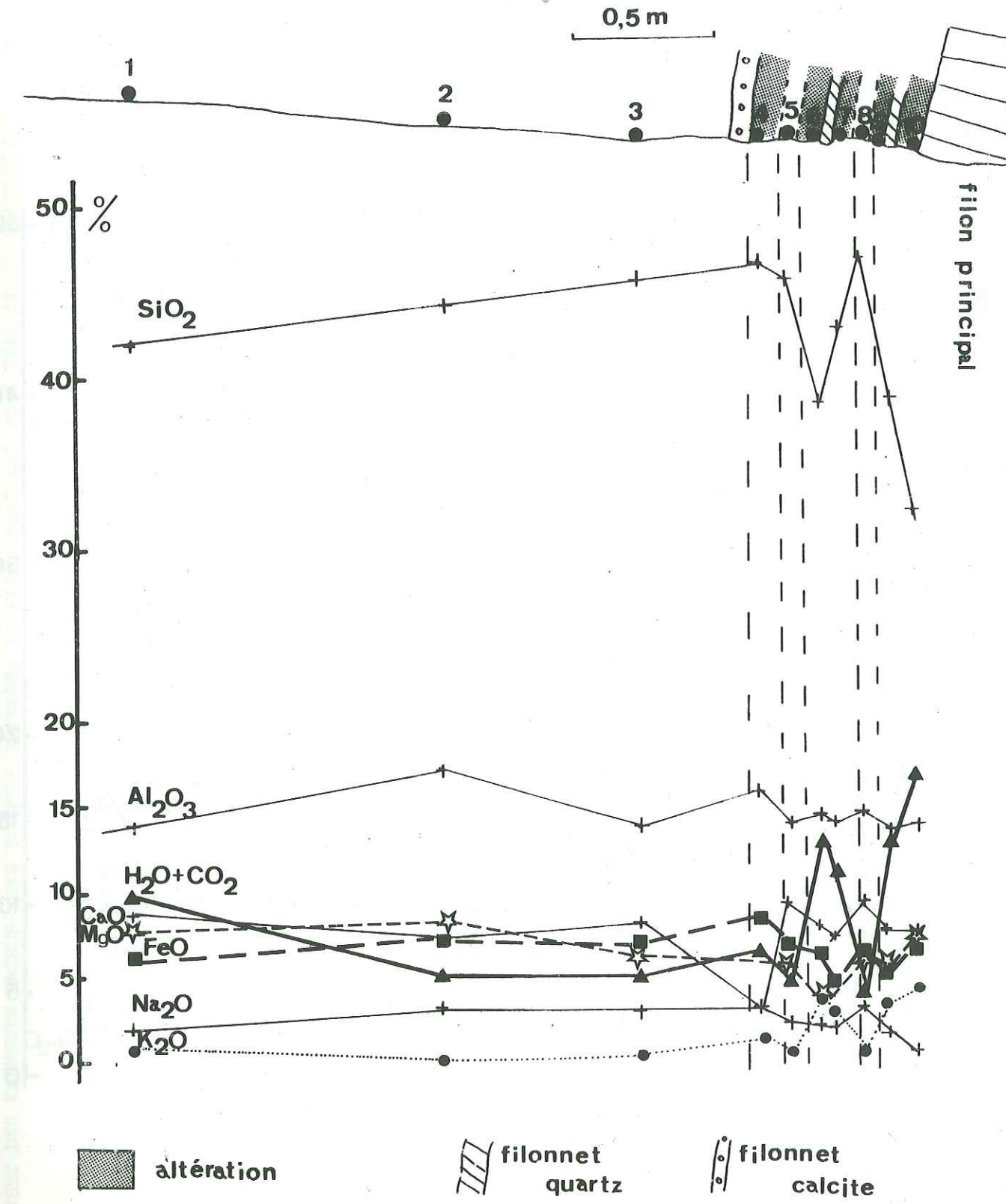
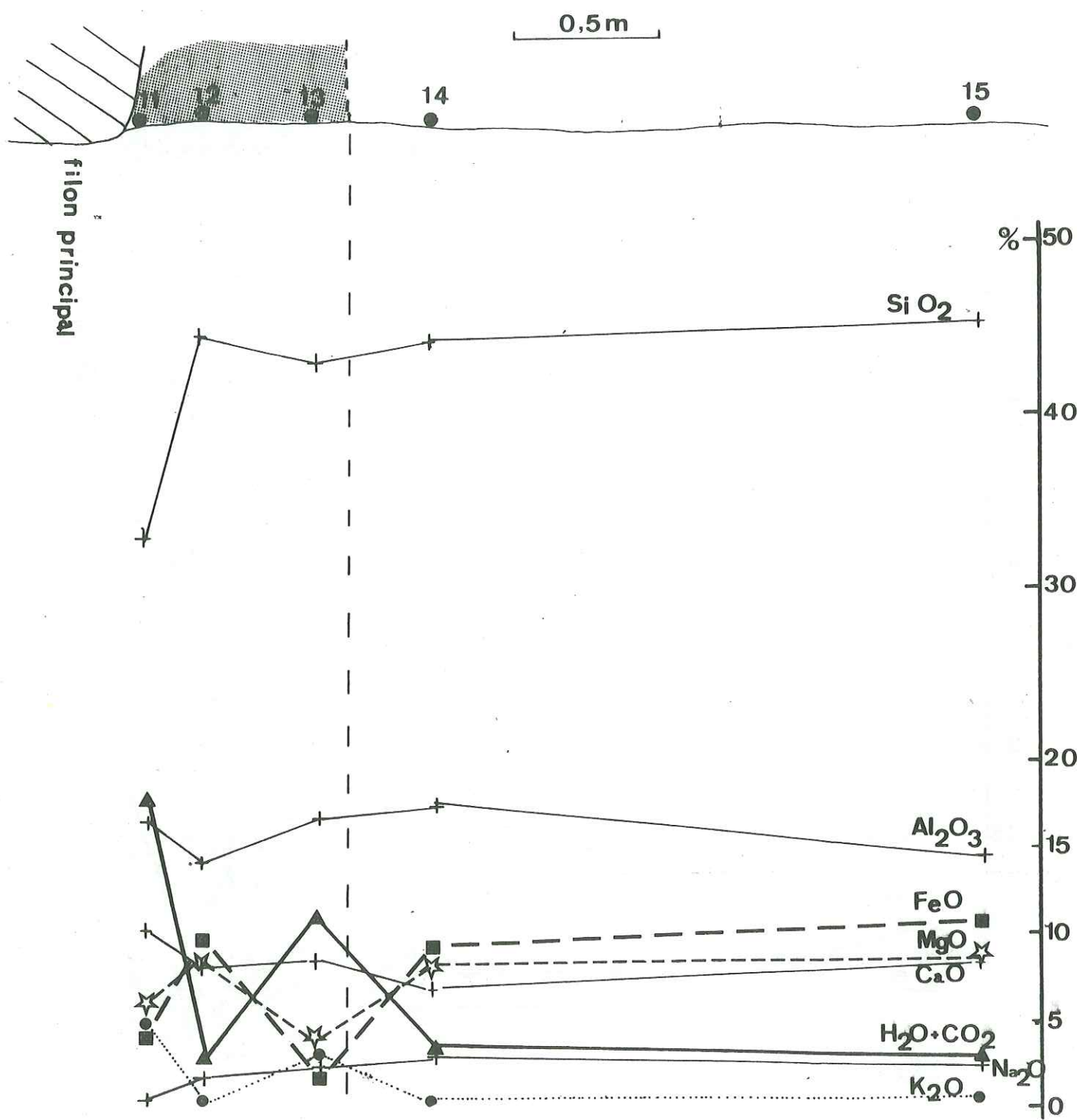


Fig. 71 Profils des variations de teneurs en éléments majeurs dans des roches d'altération d'épontes: mur du filon ORBEILLAZ.



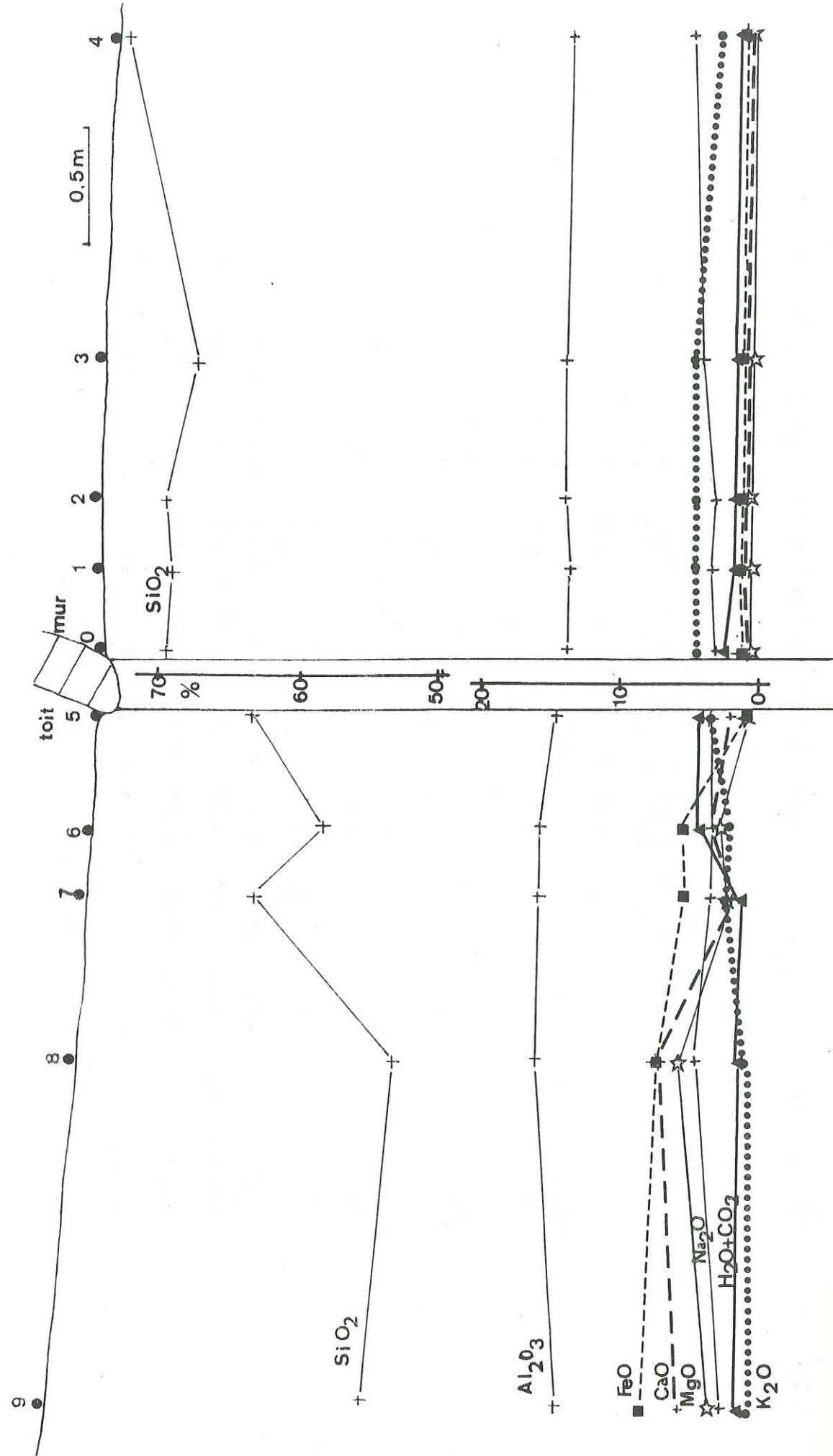
Même légende que la figure 70 .

TAB. 23 : ANALYSES DES ELEMENTS MAJEURS DES EPONTEES ALTEREES DU FILON FENILLAZ AU NIVEAU DE LA GALERIE 6 (1 570m)

	EF0 Gneiss micacé	EF1 Gneiss ocell. micacé	EF2 Gneiss ocell. micacé	EF3 Gneiss ocell. micacé	EF4 Gneiss amphib.	EF5 Gneiss très altéré	EF6 Gneiss très altéré	EF7 Gneiss amphib. bolite	EF8 Amphi- bolite	EF9 Gneiss amphib.
SiO <sub>2</sub>	69,70	69,20	69,80	67,20	72,90	63,20	57,70	62,90	52,90	55,20
Al <sub>2</sub> O <sub>3</sub>	13,90	13,70	14,10	14,00	13,50	14,60	15,80	16,00	16,10	14,60
Fe <sub>2</sub> O <sub>3</sub> Tot.	2,24	2,16	2,23	2,21	1,81	5,58	8,90	6,28	9,22	10,50
FeO	1,04	1,44	1,28	1,32	1,32	1,12	5,28	5,12	6,96	8,32
MnO <sub>2</sub>	0,04	0,04	0,05	0,04	0,03	0,09	0,17	0,11	0,16	0,19
MgO	0,41	0,41	0,45	0,41	0,39	0,71	2,53	2,08	5,67	3,19
CaO	1,17	1,03	1,23	1,17	0,98	2,09	3,31	1,74	7,51	5,57
Na <sub>2</sub> O	2,80	3,50	3,30	3,90	4,60	3,20	3,10	3,30	4,50	2,60
K <sub>2</sub> O	4,30	4,20	4,50	4,40	2,60	3,30	2,00	2,60	1,0	0,80
TiO <sub>2</sub>	0,36	0,33	0,33	0,34	0,27	0,83	1,63	0,90	1,81	2,27
P <sub>2</sub> O <sub>5</sub>	<0,3	<0,3	<0,3	<0,30	<0,3	<0,30	<0,30	<0,30	<0,30	0,60
Perte au feu	2,31	1,95	1,97	1,50	1,79	4,04	3,89	1,38	1,06	1,60
Total	97,20	96,52	97,96	95,17	98,87	97,64	99,02	97,29	99,93	97,12
Ba (µg/g)	310	310	390	400	210	400	390	630	260	200

amphib. = amphibolique      ocell. = ocellaire

Fig. 72 Profils des variations de teneurs en éléments majeurs dans des roches d'altération d'éponte : niveau 6 du filon FENILLAZ.



TAB. 24 : ANALYSES DES ELEMENTS MAJEURS DES EPONTES ALTEREES DU FILON FENILLAZ AU NIVEAU DE LA GALERIE 1 ( 1 650 m)

	EF10 Gneiss amph. alt.	EF11 Gneiss amph. alt.	EF12 Gneiss amph. alt.	EF13 Gneiss amph. alt.	EF14 Gneiss amph. alt.	EF15 Gneiss très alt.	EF16 Gneiss très alt.	EF17 Gneiss très alt.	EF18 Amph. à yrrite	EF19 Gneiss amph.	EF20 Gneiss amph.
%	52,10	58,30	49,40	68,40	69,20	66,40	70,70	57,20	59,10	49,30	59,90
SiO <sub>2</sub>	14,30	14,50	14,30	12,90	11,80	14,40	13,10	14,20	13,20	12,60	15,30
Al <sub>2</sub> O <sub>3</sub>	13,00	6,54	7,83	5,15	2,97	6,78	3,79	7,51	7,55	12,20	6,77
Fe <sub>2</sub> O <sub>3</sub> Tot.	0,25	0,08	0,14	0,03	0,05	0,13	0,08	0,11	0,16	0,20	0,13
FeO	10,30	3,40	2,64	1,84	1,88	4,84	2,80	1,88	5,60	7,04	5,36
MnO <sub>2</sub>	4,57	2,97	2,71	0,93	0,71	2,67	1,23	1,08	2,93	5,92	3,27
MgO	6,72	4,12	5,78	0,27	1,65	1,29	0,79	4,44	3,67	7,18	3,38
CaO	2,70	2,20	1,80	3,70	3,90	4,30	3,80	4,00	1,90	2,60	3,10
Na <sub>2</sub> O	0,70	1,90	3,50	2,10	1,60	1,10	1,70	1,50	2,20	0,60	1,90
K <sub>2</sub> O	1,72	1,12	1,20	0,56	0,36	0,99	0,50	1,18	0,89	1,41	1,03
TiO <sub>2</sub>	<0,30	<0,30	<0,3	<0,3	<0,3	<0,3	<0,3	<0,3	<0,3	<0,3	<0,3
P <sub>2</sub> O <sub>5</sub>	0,96	1,85	9,45	2,56	2,74	1,69	3,26	6,31	4,86	3,92	2,18
Perte au feu	Total	97,02	95,83	96,11	96,60	94,98	99,75	98,95	97,53	96,46	96,96
Ba (μg/g)	550	820	550	470	440	530	720	290	1000	330	500

amph.= amphibolique -

Fig. 73: Profils des variations de teneurs en éléments majeurs dans des roches d'altération d'éponte: niveau 1 du filon FENILLAZ.

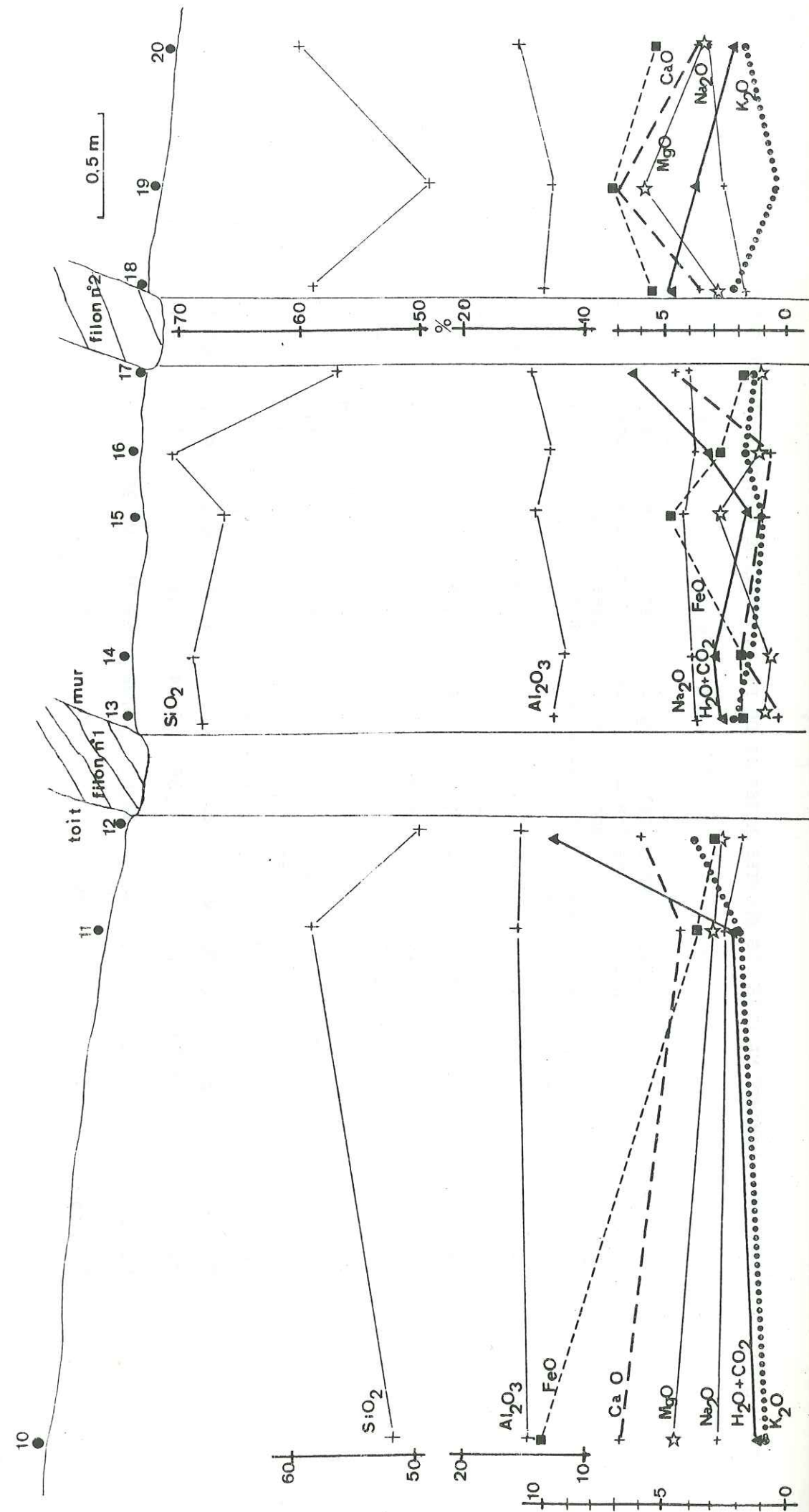
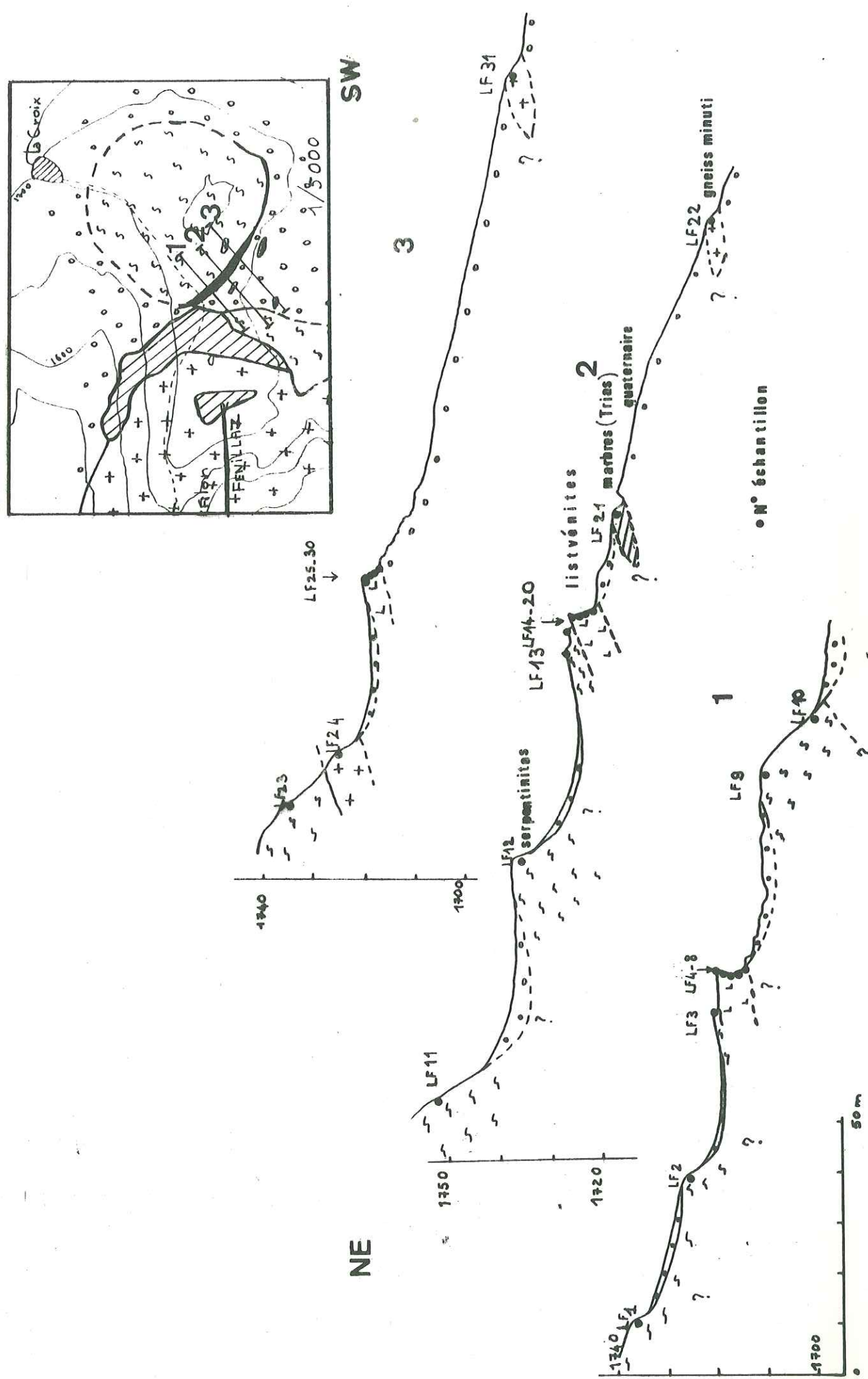


Fig. 74 :Coupes transversales à la petite falaise de listvénites (secteur Ciamusera) et emplacements des échantillons.

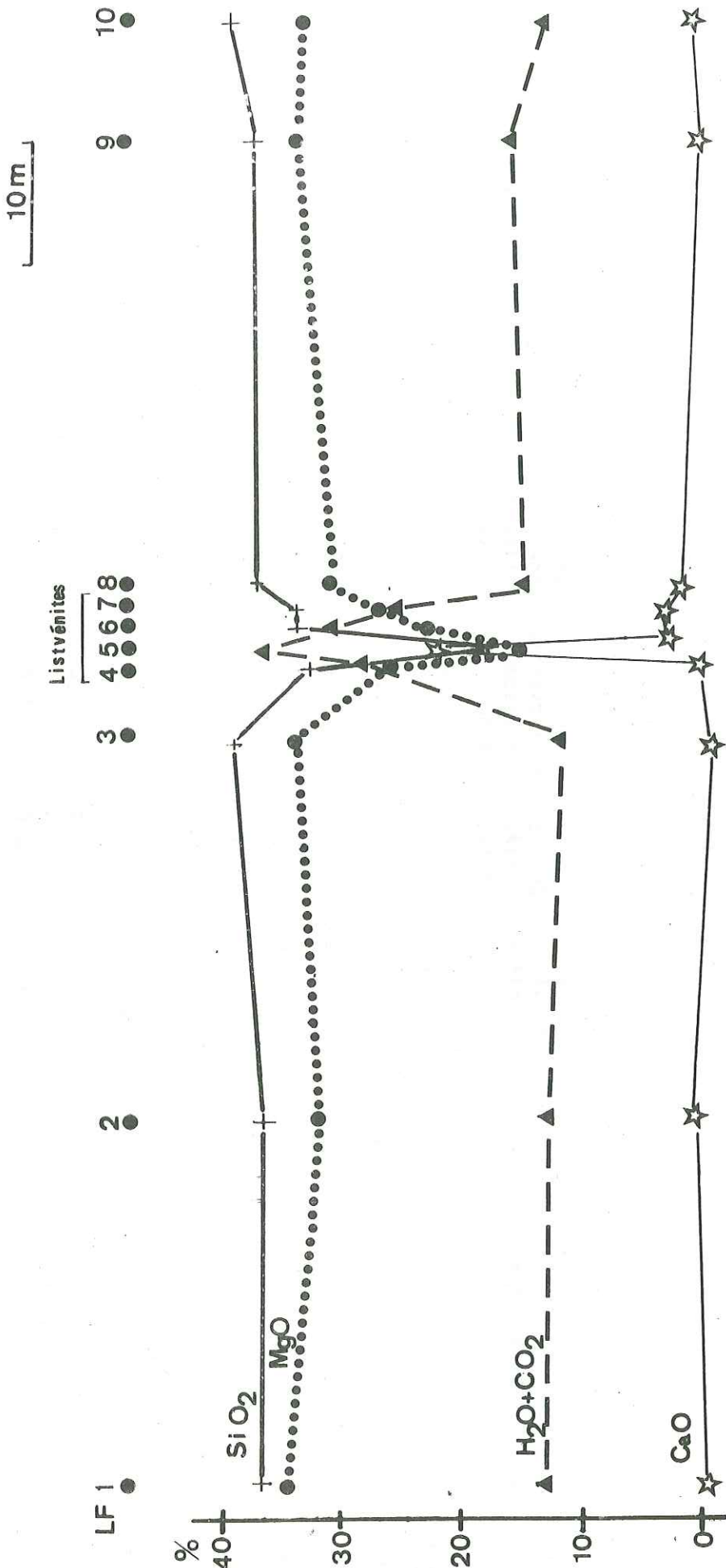


TAB. 25 : ANALYSES PAR FLUORESCENCE X DES LISTVINITES DU SECTEUR CIAMUSERA : TRANSVERSE 1

TAB. 26 : ANALYSES PAR FLUORESCENCE X DES LISTVINITES DU SECTEUR CIAMUSERA : TRANSVERSE 2

	LF 11	LF 12	LF 13	LF 14	LF 15	LF 16	LF 17	LF 18	LF 19.1	LF 20	LF 21	LF 22	
Serpentinite massive magn.	Serpentinite massive schisteuse	Roche Listv. à carb. silicifiée	Listv. à fuchsite	roche à Listv. qz, carb. à fuchsite	Mylonite de serpent. chsiter.	Amph. à tremolite (Paléoz.)							
% SiO <sub>2</sub>	31,6	39,2	37,9	39,8	41,0	30,1	30,1	34,3	35,5	33,0	38,6	8,27	39,0
Al <sub>2</sub> O <sub>3</sub>	13,4	2,2	2,0	2,2	2,2	1,6	1,7	1,2	1,3	1	1,4	2,1	2,0
Fe <sub>2</sub> O <sub>3</sub> tot	7,80	7,77	9,83	8,15	8,53	8,01	7,12	4,83	4,11	5,11	7,10	0,78	7,51
MnO	0,079	0,079	0,092	0,09	0,10	0,10	0,10	0,07	0,06	0,08	0,10	0,02	0,10
MgO	30,7	34,6	33,2	34,6	33,0	27,5	27,9	20,6	20,3	21,3	26,1	3,52	34,8
CaO	0,28	0,05	0,05	< 0,03	< 0,03	0,11	0,55	5,84	4,99	2,68	3,14	42,4	0,32
Na <sub>2</sub> O	< 0,1	< 0,1	< 0,1	< 0,1	< 0,1	< 0,1	< 0,1	< 0,1	< 0,1	< 0,1	< 0,1	< 0,1	< 0,1
K <sub>2</sub> O	0,2	0,2	< 0,2	0,2	0,2	< 0,2	< 0,2	0,2	< 0,2	< 0,2	< 0,2	0,5	< 0,2
TiO <sub>2</sub>	0,045	0,019	0,046	0,04	0,048	0,026	0,032	0,019	0,026	0,13	0,026	0,101	0,081
P <sub>2</sub> O <sub>5</sub>	< 0,3	< 0,3	< 0,3	< 0,3	< 0,3	< 0,3	< 0,3	< 0,3	< 0,3	< 0,3	< 0,3	< 0,3	< 0,3
H <sub>2</sub> O+CO <sub>2</sub>	11,99	12,11	11,69	11,82	11,52	30,96	33,67	30,74	27,43	30,64	18,45	38,06	11,20
Ba	< 30	< 30	< 30	30	< 30	< 30	< 30	< 30	< 30	30	< 30	60	< 30

Fig. 76: Géochimie des listvénites: profils des éléments majeurs le long de la transversale n° 1.



Tab. 28 : Analyses par spectrométrie de masse à étincelles des gneiss amphiboliques (en µg/g).

	1	2	3	4	5	6	7
	Fen 1-1	Fen 2-3	Fen 3-3	Fen 4-5	Fen 5-4	Fen 6-2	Fen 7-1
Li	800	210	210	40	60	50	30
Be	<0,01	<0,01	<0,01	<0,01	<0,005	<0,001	<0,01
B	115	40	380	15	30	7	18
F	35	260	160	130	18	50	25
P	1900	500	700	700	30	510	520
S	M	15	5000	220	3420	25	2550
Cl	20	60	22	35	10	25	30
Sc(2+)	<30	<80	<70	<40	<15	<105	<200
Ti	3500	5000	M	7500	M	M	M
V	430	40	580	280	80	180	410
Cr	180	15	205	320	70	470	160
Mn	1750	1770	2350	1180	730	1300	980
Fe	M	M	M	M	M	M	M
Co	50	10	45	260	20	10	50
Ni	380	35	200	90	45	6	60
Cu	150	7	170	10	85	5	65
Zn	1200	50	30	7	10	20	8
Ga	35	<500	<25	<20	12	<12	50
Ge	n.d.						
As	<70	1	150	1	2	0,5	5
Se	0,5	3	3	6	0,2	2	1,5
Rb	530	810	800	40	120	25	360
Sr	30	800	60	45	12	8	55
Y	40	20	55	18	10	20	30
Zr	80	70	30	80	45	210	90
Nb	4	1,5	6	9	2	2	12
Mo	8	1,5	35	1	1,5	1	5
Ag	2	1	0,5	<0,4	<0,1	0,1	<0,2
Cd	<0,4	<0,5	<0,7	<0,5	<0,2	<0,2	<0,5
In	<0,1	<0,2	<0,2	<0,2	<0,1	<0,1	<0,1
Sn	1	2	2	2	0,2	3	4
Sb	10	0,5	10	0,5	2	0,2	4
Te	<0,5	<2	<1	0,5	0,2	0,5	<0,5
Cs	5	5	4	0,5	2	1	3
Ba	660	2900	1650	170	270	160	810
Hf	<0,5	<1	1,5	1	<0,2	0,2	1
Pt	<0,5	<0,7	<1	<1	<0,3	<0,3	<0,7
Au	<0,2	<0,3	<0,3	<0,3	<0,1	<0,1	<0,2
Hg	<0,7	<0,5	<1	<1	<0,3	<0,3	<0,7
Tl	0,25	0,5	7	<1	<0,2	0,2	0,5
Pb	60	30	7	1	1	0,2	2
Bi	<0,2	0,3	<0,3	0,3	<0,05	<0,05	0,7
Th	0,6	0,7	3	0,5	0,5	0,3	2
U	2	0,5	1	0,5	5	0,2	1
La	15	10	8	6,25	12,5	2,5	25
Ce	50	25	20	17,5	22,5	6	62,5
Pr	2,5	1,5	2,2	1,75	4	1,25	6,5
Nd	9	6,5	9	8	11,5	5	25
Sm	9	3,5	3,25	2,75	2,75	2	5,5
Eu	0,5	0,75	1,5	1	1	0,75	0,75
Gd	3	2,2	5	2,25	2,5	1,75	5
Tb	0,5	<0,25	<0,75	0,40	0,4	0,5	0,75
Dy	6	3,5	<0,5	2,5	2,25	2	5
Ho	0,75	0,25	<0,5	0,5	0,5	0,5	1
Er	3	0,75	2	1,75	1,75	1,5	2,5
Tm	0,15	<0,25	0,5	<0,25	0,25	0,15	0,25
Yb	0,75	0,75	2,25	1	1	0,75	<1,5
Lu	0,25	<0,3	0,25	<0,25	<0,25	0,30	<0,25
M	80	108	58	47	63	25	140

Tab. 29 : Analyses par spectrométrie de masse à étincelles des quartz des filons Fenillaz, Gaebianche, Comba Toppa (en  $\mu\text{g/g}$ ).

	POUDRES			CRISTAUX		
	CT <sub>4</sub>	Gae 2b	Fen. 1-4	CT <sub>4</sub>	Gae 2b	Fen 1-4
Li	< 30	3	35	50 à 300	5 à 125	125
Be	1	< 0,01	< 0,1	< 0,05	< 0,01	< 0,03
B	< 2	< 7	< 3	50 à 430	3,5	30
F	2,5	< 0,03	< 0,02	120	15	17
Na	30	45	20	65	180 à 2800	80
Mg	565	43	215	35	20	< 22
Si	M	M	M	M	M	M
P	2	4	2	35	10	< 11
S	40	35	< 15	< 190	< 1 à 80	10 à 130
Cl	65	40	25	310	70 à 500	140
K	125	135	110	160	25 à 350	280
Ca	M	1170	< 340	70	< 17	25
Ti	6	< 3	3	< 30	7	< 13
V	3	3	1	2	0,5	0,5
Cr	220	430	65	2	0,2	2
Mn	275	25	5	10	3	2
Fe	ND	ND	ND	< 50	2	< 50
Ni	5	13	2	< 30	0,4	< 200
Co	7	8	3	1	0,2	0,5
Cu	6	10	2	12	5	3
Zn	18	1	2	20	8	14
Ge	2,5	< 0,25	13	14	9	13
As	2	3	1	4	1	1
Se	< 0,1	< 0,3	< 0,1	< 0,3	< 0,3	< 0,6
Br	< 0,3	0,5	< 0,3	1	0,5 à 25	1
Rb	0,5	0,1	0,1	< 1	0,5	< 0,3 à 0,1
Sr	280	1	1,5	25	< 0,3	< 1
Y	1	0,3	0,3	< 0,3	< 0,1	< 0,5
Zr	< 0,2	< 0,6	< 0,2	< 1	< 0,3	< 0,6
Nb	< 0,1	< 0,3	< 0,1	< 0,5	< 0,1	< 0,3
Mo	8	13	4	< 1	< 0,1	< 1
Ag	1	1	< 0,4	2,5	2	< 1
Cd	< 0,6	< 0,4	< 0,4	6	1	< 1
Sb	1	< 0,5	1	5	1,5	5
Sn	0,5	< 1	< 1	< 4	< 1 à 8	5
Te	< 0,5	< 0,5	< 0,5	12	2,5	11,5
Cs	0,03	0,5	0,03	< 0,2	0,2	< 0,2
Ba	0,5	0,5	0,2	7	1	1
La	0,3	< 0,2	< 0,1	< 0,5	< 0,1	< 0,5
Ce	< 0,5	0,2	< 0,2	< 2	< 0,5	< 0,5
Pt	< 0,7	< 0,7	< 0,7	< 3	< 0,7	< 3
Au	5 à 12	< 0,3	< 0,2	< 1	< 2	1
Hg	< 0,7	< 1	< 0,7	35	2	< 2
Pb	< 1	< 1	< 1	8	< 1 à 6	< 1,5
Bi	< 0,2	< 0,2	< 0,2	1	0,2	0,7
Th	< 0,2	< 0,2	< 0,2	< 1	< 0,3	< 1
U	< 0,2	< 0,3	< 0,2	4	1	< 1

Tab. 30 : Analyses par spectrométrie de masse à étincelles des listvénites du Val d'Ayas (en  $\mu\text{g/g}$ ).

	LB1	Bru23	Cdn2	Vi1	pastillé Ag
Li	50	55	1600	165	
Be	12	15	9	17	
B	108	220	160	30	
Na	25	25	30	20	
P	≤ 0,5	≤ 0,5	≤ 0,2	≤ 0,7	
S	< 55	< 2,5	< 10	1370	
Cl	50	90	40	120	
K	1000	3000	7000	870	
Ca	10000	1300	10000	10000	
Sc	6	≤ 20	≤ 5	10	
Ti	170	880	300	1130	
V	20	110	20	45	
Cr	850	4500	1100	500	
Mn	330	540	100	355	
Fe	M	M	3300	M	
Co	35	90	10	70	
Ni	630	1770	140	1120	
Cu	2	7	5	2	
Zn	1	3	0,6	< 0,6	
Ga	2	≤ 0,5	≤ 1	< 1	
Ge	< 0,6	≤ 0,5	< 2	< 1	
As (H)	215	6	3	5	
Se	< 0,3	≤ 0,6	< 0,1	< 1,5	
Rb	1800	425	340	22	
Sr	160	< 2	55	80	
Y	0,25	≤ 0,6	< 0,2	< 0,6	
Zr	< 0,3	≤ 0,5	< 0,2	< 1,5	
Nb	< 0,2	≤ 0,1	< 0,1	< 0,7	
Mo	< 1	< 1	< 0,3	< 3	
Ag	0,5	≤ 0,1	0,2	< 1,5	
Cd	< 0,5	≤ 0,7	< 0,1	< 2	
Sn	< 0,5	≤ 0,7	< 0,1	< 2	
Sb	3	≤ 7	12	< 1,5	
Te	< 0,5	< 1	< 0,3	< 3	
Cs	560	75	70	8	
Ba	5	2	8	< 2	
La	< 0,3	< 0,3	< 0,2	< 1	
Hf	< 1	< 1	< 0,2	< 3	
W	n.d.	n.d.	n.d.	n.d.	25
Re	< 1	< 1	< 0,2	< 2	
Pt	< 1	< 1	< 0,3	< 2	
Au	0,5	1	3	< 1,5	
Hg	< 3	< 5	< 0,7	< 6	
Tl	< 0,5	< 0,7	< 0,2	< 2	
Pb	< 1	< 1	< 0,3	< 3	
Bi	< 0,5	< 0,5	< 0,1	< 1,5	
Th	< 0,5	< 0,5	< 0,2	< 1,5	
U	< 1	< 0,7	< 0,1	< 2	

Tab.31 : Analyses par spectrométrie de masse à étincelles de l'or de Challant et de la Gardette (en  $\mu\text{g/g}$ ).

	Au natif Fenillaz	Au natif Speranza	Au+Qz Speranza	Au La Gardette
Teneurs Approximatives				
Li	0,4	0,75	2,5	
Be	<0,01	<0,03	<0,03	
B	9	3	19	
F	10	26	22	
Na	15	53	42	
Mg	11	55	105	
Si	390	45	6000	M
P	4	19	29	
S	52	75	98	
Cl	45	115	60	
K	M	360	M	
Ca	30	92	195	
Ti	4	2,5	5,5	
V	<0,03	<0,15	0,3	
Cr	0,6	<0,3	1,5	
Mn	0,4	10	9	
Fe	19	95	495	5000
Ni	<0,25	<1	<0,5	
Co	<0,05	0,1	0,5	
Cu	160	365	380	5000
Zn	5	30	13	
Ge	<0,25	<1	<0,8	
As	0,5	1,5	2,5	
Se	<0,2	<0,5	<0,2	0,6
Br	5,5	1,2	1,5	
Rb	0,5	0,75	0,4	
Sr	0,15	1,5	8	
Y	<0,1	<0,2	0,6	
Zr	<0,2	<0,25	<0,2	
Mo	<0,25	<1,5	<0,15	
Ag	10 à 20 %	10 à 20 %	10 à 20 %	?
Cd	<0,75	7,5	1,5	
In	<0,1	3,5	2	
Sb	310	140	375	2
Sn	<1	<1,5	2,5	
Te	2	<1,5	2,5	0,5
Cs	0,05	<0,1	0,25	
Ba	0,6	2,5	7,5	
La	<0,1	<0,4	0,25	
Ce	<0,2	0,75	0,4	
Hf	<0,4	<0,75	<0,7	
Pt	<0,5	<1,3	<0,7	
Hg	5 %	5000	5000	450
Pb	2 à 25	5	4	230
Bi	6	1	0,4	
Th	-	<0,5	<0,5	
U	<0,25	1,5	0,5	

Tab.32 : Résultats d'analyses par spectrométrie de masse à étincelles des pyrites de la mine de Fenillaz (en  $\mu\text{g/g}$ ).

	F1.3	* F1.1	* F4	* F5	* F7R	* F7Q	* F9R3	* F9R1	* F9Q	* F12	*
Li	4	* 4	* 0.20	* 1	* 7	* 23	* 17	* 1.50	* 4	* 3	*
BE	* 1.50	* 4	* 0.20	* 1	* 70	* 20	* 170	* 800	* 20	* 0.30	*
B	* 22	* 3	* 12	* 22	* 4	* 120	* 800	* 2000	* 34	* 3	*
F	* 100	* 7	* 9	* 750	* 120	* 170	* 800	* 2000	* 40	* 0.50	*
NA	* 120	* 2100	* 1500	* 4250	* 850	* 10000	* 99999	* 25000	* 860	* 1500	*
MG	* 750	* 2500	* 170	* ****	* 5000	* 10000	* 99999	* 25000	* 5000	* 250	*
AL	* 99999	* 70000	* 5000	* 99999	* 5000	* 10000	* 99999	* 25000	* 5000	* 5000	*
SI	* 70000	* 950	* 13	* 170	* 35	* 1240	* 1240	* 1240	* 55	* 15	*
F	* 160	* 1430	* 320	* 850	* 780	* 625	* 625	* 625	* 235	* 480	*
CL	* 75	* 1750	* 75	* 25000	* 10000	* 7000	* 7000	* 7000	* 980	* 980	*
K	* 30000	* 1250	* 250	* 700	* 20000	* 530	* 530	* 530	* 140	* 245	*
CA	* 65	* 1250	* 12	* 3650	* 110	* 3850	* 3850	* 3850	* 370	* 370	*
TI	* 225	* 60	* 5	* 9	* 2	* 4	* 4	* 4	* 2	* 1	*
V	* 3	* 1.50	* 0.50	* 1	* 35	* 35	* 175	* 175	* 230	* 40	*
CR	* 100	* 50	* 10	* 100	* 100	* 100	* 100	* 100	* 10	* 70	*
MN	* 5	* 40	* 50	* 100	* 190	* 120	* 120	* 120	* 25	* 45	*
CO	* 80	* 220	* 100	* 155	* 1000	* 165	* 165	* 165	* 275	* 260	*
NI	* 220	* 10	* 180	* 35	* 1000	< 25.00	< 25.00	< 25.00	* 16	* 17	*
CU	* 10	* < 25.00	* < 40.00	* < 20.00	* < 90.00	* < 90.00	* < 90.00	* < 90.00	* 3.00	* 3.00	*
ZN	* 40	* 50	* 13	* 40	* 40	* 28	* 28	* 28	* 40	* 40	*
AS	* 1	* 1.50	* 5	* 35.00	* 35.00	* 4	* 4	* 4	* 4.00	* 1.50	*
SE	* 50	* 1	* 0.01	* 50	* 50	* 50	* 50	* 50	* 5	* 1.50	*
RB	* 30	* 3	* 10	* 2	* 40	* 30	* 30	* 30	* 40	* 20	*
SR	* 10	* 0.70	* 3	* 0.50	* 50	* 120	* 120	* 120	* 16	* 1.10	*
Y	* 0.50	* 5	* 0.70	* 1.00	* 650	* 3.0	* 3.0	* 3.0	* 20	* 0.10	*
ZR	* 0.50	* 30	* 0.02	* 0.10	* 5	* 0.10	* 0.10	* 0.10	* 25	* 2.50	*
NB	* 2	* 2	* 30	* 2	* 1.00	* 18	* 14	* 14	* 3	* 6	*
MO	* 2	* 0.70	* 2	* 7.50	* 10	* 1.50	* 8	* 1.50	* 2	* 0.50	*
AG	* 2.50	* 15	* 0.10	* 0.50	* 6	* 1.00	* 1.00	* 1.00	* 3	* 2.50	*
SN	* 1.50	* 5	* 4.50	* 3.50	* 305	* 50	* 4.50	* 4.50	* 3	* 5	*
SB	* 0.50	* 0.50	* 0.30	* 2	* 1.00	* 0.50	* 4.00	* 4.00	* 20	* 1.50	*
TE	* 1	* 0.50	* 0.05	* 0.10	* 3	* 0.20	* 2	* 2	* 2	* 0.10	*
CS	* 1	* 2.50	* 0.70	* 2.5	* 245	* 25	* 175	* 175	* 30	* 12	*
BA	* 0.30	* 0.30	* 4.50	* 0.10	* 25	* 4	* 55	* 55	* 1.50	* 0.10	*
LA	* 3	* 1.50	* 1.50	* 3	* 3	* 2	* 73	* 73	* 6	* 2	*
TA	* 1	* 1	* 0.30	* 0.30	* 32	* 1.50	* 25	* 25	* 3	* 1.50	*
WA	* 0.40	* 0.40	* 0.20	* 0.20	* 0.20	* 0.40	* 2	* 2	* 0.50	* 0.20	*
AU	* 0.10	* 0.10	* 0.30	* 0.30	* 0.30	* 1.00	* 1.00	* 1.00	* 1	* 1	*
HG	* 1	* 4.50	* 0.40	* 4.6	* 13	* 6	* 28	* 28	* 15	* 11	*
PB	* 2	* 1	* 0.50	* 0.50	* 15	* 8	* 9	* 9	* 4	* 6	*
BI	* 0.10	* 0.10	* 0.10	* 0.10	* 0.20	* 0.20	* 0.50	* 0.50	* 0.50	* 0.50	*
TH	* 0.10	* 0.10	* 0.10	* 0.10	* 0.20	* 0.20	* 0.50	* 0.50	* 0.50	* 0.50	*
U	* 0.10	* 0.10	* 0.10	* 0.10	* 0.20	* 0.20	* 0.50	* 0.50	* 0.50	* 0.50	*

Tab.33 : Pyrites de Fenillaz ,suite du tableau 32.

H=teneur hétérogène											*	F25	*	F26	*
	*	F15	*	F18	*	F22.3	*	F22.1	*	F23	*	F25	*	F26	*
LI	*	8	*	1	*	0.20	*	0.30	*	*****	*	0.20	*	2	*
BE	**	0.02	*	3	*	0.01	*	27	*	*****	*	2	*	7	*
B	**	1	*	25	*	8	*	40	*	*****	*	2.30	*	15	*
F	**	10	*	35	*	***	*	50	*	*****	*	1.50	*	14	*
NA	**	40	*	120	*	5	*	7	*	250	*	225	*	30	*
MG	**	1200	*	3250	*	9	*	75	*	*****	*	500	*	8	*
AL	**	5000	*	24000	*	750	*	10000	*	*****	*	900	*	150	*
SI	**	20000	*	50000	*	40000	*	7500	*	*****	*	50000	*	5000	*
P	**	< 5.00	*	16	*	1650	*	28	*	4	*	150000	*	30000	*
CL	*	270	*	90	*	900	*	310	*	125	*	1050	*	500	*
K	*	210	*	7000	*	3000	*	70	*	420	*	80	*	60	*
CA	*	70000	*	700	*	3500	*	< 30.00	*	125	*	*****	*	37	*
TI	*	130	*	370	*	50	*	60	*	23	*	30	*	1.50	*
V	*	1	*	9	*	32	*	0.30	*	0.50	*	0.10	*	35	*
CR	*	12	*	32	*	290	*	6	*	1.50	*	1.50	*	6	*
MN	*	290	*	100	*	10	*	32	*	8	*	*****	*	20	*
CO	*	23	*	340	*	26	*	32	*	1.50	*	3	*	300	*
NI	*	95	*	340	*	48	*	8	*	1.50	*	62	*	90	*
CU	*	160	*	50	*	< 8.00	*	< 1.50	*	< 7.00	*	*****	*	1450	*
ZN	**	< 3.00	*	30	*	< 1.50	*	25	*	4	*	130	*	< 60.00	*
AS	**	40	*	40	*	< 0.10	*	70	*	3	*	52	*	75	*
SE	**	5	*	11	*	2	*	0.50	*	0.30	*	0.05	*	6	*
RB	**	60	*	< 40.00	*	0.50	*	< 1.00	*	< 1.50	*	3.00	*	1.00	*
SR	**	Y	*	15.00	*	0.20	*	< 0.10	*	< 0.70	*	0.70	*	1.00	*
ZR	**	2	*	< 0.20	*	< 0.05	*	< 1.00	*	< 0.30	*	0.50	*	0.50	*
NB	**	0.10	*	< 0.10	*	7	*	< 0.30	*	< 0.50	*	0.20	*	7	*
MO	**	2	*	7	*	7	*	< 10	*	10	*	40	*	38	*
AG	**	2	*	4	*	6	*	0.20	*	0.50	*	2.50	*	< 1.00	*
SN	**	0.50	*	< 1.00	*	0.20	*	0.50	*	10	*	0.10	*	270	*
SB	**	5	*	3	*	70	*	< 0.50	*	10	*	28	*	2.50	*
TE	**	0.50	*	0.70	*	7	*	3.00	*	3	*	4	*	20	*
CS	**	1	*	10	*	22	*	0.50	*	0.70	*	0.10	*	15	*
BA	**	1	*	< 0.30	*	0.10	*	< 0.10	*	0.10	*	0.50	*	5	*
LA	**	3	*	< 0.30	*	5	*	0.10	*	0.50	*	15	*	0.30	*
TA	**	3	*	< 0.30	*	5	*	0.10	*	0.30	*	0.50	*	1.00	*
W	**	0.40	*	< 0.30	*	0.10	*	< 0.30	*	0.20	*	1.50	*	0.30	*
AU	**	< 1.00	*	0.70	*	< 0.20	*	< 0.70	*	10	*	2.50	*	< 1.00	*
HG	**	27	*	16	*	31	*	19	*	40	*	H 140	*	4	*
PB	*	4	*	5	*	15	*	4	*	7	*	H 60	*	H 100	*
BI	**	< 0.50	*	< 0.50	*	< 0.10	*	< 0.20	*	< 0.20	*	H 42	*	2	*
TH	**	< 0.50	*	< 0.50	*	< 0.10	*	< 0.20	*	< 0.20	*	0.50	*	1	*
U	**	< 0.50	*	< 0.50	*	< 0.10	*	< 0.30	*	< 0.30	*	0.20	*	4	*

Tab.34 : Résultats d'analyses par spectrométrie de masse à étincelles des pyrites de la mine de Béchaz (en %/E).

H=teneur hétérogène											*	B6.1	*	B6.F	*	B7	*	B8	*	
	*	B1.1	*	B3	*	B4	*	B5	*	B6.3	*	B6.1	*	B6.F	*	B7	*	B8	*	
LI	0.20	*	5	*	0.50	*	0.20	*	< 0.10	*	< 0.01	*	< 0.50	*	0.20	*	0.01	*	0.20	*
BE	0.01	*	0.30	*	0.10	*	< 0.01	*	< 0.50	*	1	*	0.01	*	< 0.01	*	0.10	*	0.10	*
E	0.20	*	7	*	2	*	0.50	*	0.20	*	0.10	*	5.70	*	1	*	2	*	18	*
F	0.10	*	70	*	5	*	0.50	*	3	*	2	*	3	*	0.50	*	2	*	7	*
NA	12	*	40	*	15	*	40	*	335	*	7000	*	22	*	10	*	1	*	3	*
MG	40	*	11000	*	5000	*	10000	*	99999	*	20000	*	2500	*	7500	*	3750	*	3750	*
AL	4500	*	70000	*	99999	*	10000	*	1	*	0.10	*	0.20	*	0.50	*	4	*	1100	*
SI	5	*	16	*	180	*	90	*	70	*	65	*	170	*	60	*	60	*	180	*
P	250	*	1550	*	90	*	80	*	16	*	160	*	45	*	22	*	5	*	15	*
CL	210	*	140	*	235	*	45	*	3	*	2.50	*	0.05	*	1.50	*	3	*	335	*
K	360	*	1420	*	210	*	10	*	0.10	*	3	*	2.50	*	4.50	*	5	*	500	*
CA	10	*	20	*	0.50	*	0.10	*	0.10	*	0.05	*	1	*	1.50	*	1.50	*	132	*
TI	4	*	7	*	30	*	9	*	22	*	4	*	7.50	*	50	*	12	*	450	*
U	9	*	40	*	260	*	370	*	500	*	220	*	390	*	450	*	30	*	340	*
CR	190	*	170	*	140	*	20	*	37	*	H 45	*	27	*	37	*	30	*	340	*
MN	65	*	480	*	225	*	1400	*	1310	*	105	*	160	*	80	*	H 1800	*	55	*
ZN	< 7.00	*	< 30.00	*	< 12.00	*	< 25.00	*	< 40.00	*										

Tab.35 : Pyrites de Béchaz , suite du tableau 34.

**H=teneur hétérogène**

	B9	* B10	* B11.3	* B11.1	* B13	* B14	* B17	*
LI	* < 0.10 *	3.50 *	0.10 *	*****	* < 0.20 *	2.50 *	0.05 *	
BE	* < 0.01 *	0.50 *	0.05 *	*****	* < 0.01 *	0.50 *	0.20 *	
B	* < 0.70 *	10 *	0.30 *	*****	* < 0.25 *	2.50 *	1.50 *	
F	* < 0.30 *	4 *	0.50 *	*****	* < 0.25 *	2.50 *	2.50 *	
NA	* < 4 *	160 *	11 *	*****	* < 0.1 *	140 *	2.50 *	
MG	* < 45 *	1800 *	135 *	*****	* < 0.135 *	1450 *	220 *	
AL	* < 99999 *	5000 *	1500 *	*****	* < 0.5000 *	15000 *	*****	
SI	* < 4500 *	15000 *	15000 *	70000 *	* < 0.50000 *	500000 *	50000 *	
P	* < 2 *	65 *	55 *	*****	* < 0.16 *	1930 *	32 *	
CL	* < 55 *	3600 *	85 *	*****	* < 0.820 *	315 *	500 *	
K	* < 7 *	270 *	70 *	*****	* < 0.20 *	2450 *	42 *	
CA	* < 70 *	280 *	2130 *	*****	* < 0.20 *	245 *	140 *	
TI	* < 3 *	50 *	12 *	*****	* < 0.12 *	12 *	47 *	
V	* < 0.20 *	0.50 *	0.02 *	*****	* < 0.10 *	3 *	0.05 *	
CR	* < 7 *	25 *	3 *	*****	* < 0.10 *	115 *	22 *	
MN	* < 3 *	40 *	30 *	*****	* < 0.10 *	35 *	390 *	
CO	* < 210 *	160 *	525 *	*****	* < 0.130 *	315 *	200 *	
NI	* < 180 *	40 *	1570 *	*****	* < 0.150 *	315 *	300 *	
CU	* < 200 *	H	80 *	340 *	* < 0.620 *	450 *	480 *	
ZN	* < 165 *	< 200 *	< 3.00 *	< 0.50 *	* < 0.300 *	< 3.00 *	175 *	
AS	* < 165 *	< 200 *	< 0.70 *	< 0.50 *	* < 0.1200 *	< 0.525 *	65 *	
SE	* < 0.70 *	< 2.50 *	< 0.05 *	*****	* < 0.300 *	< 0.50 *	0.70 *	
RB	* < 0.20 *	< 2.00 *	< 5.00 *	*****	* < 0.200 *	< 7.50 *	0.10 *	
SR	* < 0.50 *	< 0.20 *	< 1.50 *	*****	* < 0.500 *	< 0.70 *	2 *	
Y	* < 0.10 *	< 0.70 *	< 1.00 *	*****	* < 0.100 *	< 0.70 *	0.10 *	
ZR	* < 0.40 *	< 1.50 *	< 0.70 *	*****	* < 0.700 *	< 1.00 *	1 *	
NR	* < 0.10 *	< 0.70 *	< 0.10 *	*****	* < 0.100 *	< 0.10 *	0.03 *	
MO	* < 0.50 *	< 1.50 *	< 0.50 *	*****	* < 0.100 *	< 1.50 *	0.10 *	
AG	* < 2.00 *	< 1.00 *	< 0.10 *	*****	* < 0.100 *	< 1.50 *	0.70 *	
SN	* < 4 *	4 *	4 *	*****	* < 0.16 *	13 *	35 *	
SB	* < 0.50 *	1 *	1 *	*****	* < 0.12 *	10 *	35 *	
TE	* < 0.20 *	0.40 *	< 0.03 *	< 0.30 *	* < 0.300 *	< 0.30 *	1 *	
CS	* < 0.50 *	40 *	25 *	16 *	* < 0.500 *	H110 *	62 *	
BA	* < 0.20 *	0.10 *	0.20 *	1.50 *	* < 0.300 *	H110 *	61 *	
LA	* < 0.20 *	3.50 *	3.50 *	0.70 *	* < 0.700 *	0.20 *	1.50 *	
TA	* < 1.00 *	7 *	< 0.10 *	*****	* < 0.700 *	1.50 *	1.50 *	
W	* < 1.00 *	5 *	0.30 *	0.50 *	* < 1.000 *	H3	0.05 *	
AU	* < 0.50 *	< 0.50 *	< 0.20 *	< 2.00 *	* < 1.000 *	< 0.500 *	0.20 *	
HG	* < 1.00 *	55 *	180 *	H450	* < H1360 *	150 *	32 *	
PB	* < 7.50 *	60 *	H350	* < H160 *	40 *	0.05 *		
BI	* < 1 *	7 *	0.20 *	< 0.05 *	< 0.50 *	< 0.50 *	0.05 *	
TH	* < 0.50 *	0.50 *	0.50 *	< 0.50 *	< 0.50 *	< 0.50 *	0.30 *	
U	* < 0.50 *	0.50 *	0.50 *	< 0.50 *	< 0.50 *	< 0.50 *	0.30 *	
							17 *	

Tab.36 : Résultats d'analyses par spectrométrie de masse à étincelles des pyrites de la mine de Sache (en µg/g).

	S1	* S2.30	* S2.10	* S3	* S4	* S5	* S7	* S8	* S9	* S9W	*
LI	* < 0.01 *	0.02 *	< 0.20 *	0.05 *	0.05 *	0.50 *	2	11	* 20	* 4	
BE	* < 2 *	12 *	3 *	0.05 *	0.05 *	0.01 *	0.01 *	< 0.01 *	0.01 *	0.01 *	
B	* < 2.50 *	***	40 *	2 *	2	0.50 *	0.50 *	0.70 *	0.70 *	2.50 *	
F	* < 3.50 *	80	5	2.50 *	2.50 *	18 *	30	6	6	5	
NA	* < 32 *	42	160	*****	* < 1075	640	390	2	2	6	
MG	* < 70	* 10000	6000	*****	* 10000	720	1500	* 10000	* 10000	60	
AL	* < 80000	* 100000	6000	3000	* 35000	* 15000	* 50000	* 40000	* 40000	240	
SI	* < 1.50 *	5	4	* < 0.02	* < 0.02	5	18	4	4	4	
P	* < 40 *	250	110	32	* 210	80	50	45	* 690	120	
CL	* < 10 *	35	108	10	* 52	3	12	26	* 18	10	
K	* < 170 *	700	800	8	* 525	105	105	120	* 180	10	
CA	* < 1.50 *	4	5	* 15	* 305	4	100	60	* 10	6	
TI	* < 1 *	1.50	0.50	0.50	* < 0.50	9	3	2	* 4	2.50	
V	* < 1 *	27	19	3	* 8	16	7	5	* 27	16	
CR	* < 1.50 *	35000	5550	5	* 115	240	50	50	* 41500	790	
MN	* < 1100 *	580	370	290	* 200	125	575	680	* 525	50	
NI	* < 315 *	580	370	290	* 235	80	575	1310	* 500	370	
CU	* < 5.00 *	< 3.00	< 2.00	* 2	* < 2.00	< 1.00	< 8.00	< 5.00	* 15.00	< 10.00	
AS	* < 10 *	20	5	22	* 32	70	50	700	* 35	65	
SE	* < 21 *	25	2	2.50	* 15	0.10	20.00	* 15	* 7.00	10	
RB	* < 0.10 *	< 0.30	< 0.50	< 0.05	* 0.20	< 0.05	< 0.30	< 0.05	* 0.20	< 0.10	
SR	* < 1.50 *	8	0.10	< 0.70	< 1.50	0.05	0.50	0.70	* 4.00	2	
ZR	* < 0.20 *	< 0.40	< 1.50	< 0.05	< 0.20	< 0.50	0.05	0.50	* 0.50	0.10	
NB	* < 0.10 *	< 0.10	< 0.50	< 0.05	< 0.10	< 0.15	< 0.30	< 0.10	* 1.50	0.30	
AG	* < 1.50 *	15	70	2	* 0.40	8	20	0.80	* 12	8	
SN	* < 0.50 *	< 0.50	< 1.00	< 0.20	* 3	* 0.20	0.70	0.80	* 0.02	0.10	
SB	* < 0.20 *	< 1.00	< 0.50	< 0.20	* 0.70	* 0.50	0.50	0.50	* 0.02	0.05	
TE	* < 2.0 *	2.50	2	2	* 0.40	8	10	0.80	* 2.50	4.50	
CS	* < 0.10 *	< 0.20	< 0.50	< 0.05	* 0.10	< 0.10	< 0.10	< 0.10	* 0.10	0.30	
BA	* < 0.20 *	< 1.00	< 0.50	< 0.20	* 0.70	* 0.50	0.50	0.50	* 0.05	0.30	
LA	* < 1.50 *	1	1	< 0.50	< 1.50	0.50	0.				

Tab. 37 : Pyrites de Sache , suite du tableau 36 .

	S10.3 *	S10.1 *	S11 *	S12 *	S6(B) *
LI	5 *	20 *	0.20 *	0.50 *	5 *
BE	0.02 *	< 0.10 *	0.20 *	0.02 *	0.30 *
B	1.50 *	10 *	1.50 *	1 *	15 *
F	20 *	40 *	0.50 *	3 *	60 *
NA	8 *	7 *	1 *	10 *	45 *
MG	720 *	16 *	50 *	1 *	7000 *
AL	2500 *	5000 *	5000 *	7000 *	2400 *
SI	*30000 *	*20000 *	3000 *	*10000 *	*99999 *
P	*1.50 *	5 *	1 *	8 *	2700 *
CL	150 *	105 *	14 *	15 *	1600 *
K	42 *	25 *	12 *	17 *	4200 *
CA	42 *	85 *	12 *	10 *	*40000 *
TI	6 *	50 *	2 *	3 *	*42
V	3 *	5 *	0.50 *	0.50 *	35 *
CR	7 *	35 *	5 *	1.50 *	20 *
MN	6 *	15 *	0.50 *	0.70 *	*50000
CO	180 *	185 *	105 *	75 *	290
NT	450 *	320 *	80 *	140 *	525
CU	270 *	250 *	6 *	15 *	100 *
ZN	< 15.00 *	< 2.50 *	< 15.00 *	< 20.00 *	15 *
AS	80 *	200 *	33.5 *	70 *	2410 *
SE	15 *	< 6.00 *	2.8 *	20 *	< 0.20 *
RB	< 0.10 *	< 0.20 *	< 0.10 *	< 0.05 *	0.20 *
SR	< 0.20 *	< 1.00 *	< 1.50 *	< 2.00 *	345 *
Y	< 0.20 *	< 0.50 *	< 0.05 *	0.10 *	3 *
ZR	< 0.70 *	< 1.00 *	< 0.20 *	0.50 *	0.10 *
NB	< 0.30 *	< 0.50 *	< 0.07 *	0.10 *	< 0.07 *
MO	< 1.00 *	3 *	1 *	1 *	4 *
AG	< 2 *	< 1.00 *	< 0.70 *	1 *	0.20 *
SN	< 0.50 *	< 1.00 *	< 0.50 *	< 0.70 *	< 0.50 *
SB	< 7 *	7 *	0.30 *	0.50 *	3 *
TE	< 3 *	2.50 *	9 *	2.50 *	1 *
CS	< 0.10 *	< 0.10 *	< 0.05 *	0.05 *	0.20 *
BA	< 0.50 *	< 0.50 *	< 0.20 *	0.20 *	370 *
LA	< 0.10 *	< 0.20 *	< 0.10 *	< 0.20 *	0.10 *
TA	< 0.50 *	1 *	1.50 *	1.50 *	0.50 *
W	< 1.50 *	< 1.50 *	< 1.50 *	1 *	20 *
AU	< 0.20 *	< 0.50 *	< 0.20 *	< 0.30 *	< 0.15 *
HG	< 1.00 *	< 2.00 *	< 0.50 *	< 1.00 *	< 0.50 *
PB	< 12 *	9 *	< 0.80 *	1 *	< 0.50 *
BI	< 0.30 *	0.70 *	< 0.20 *	0.50 *	< 0.20 *
TH	< 0.20 *	< 0.50 *	< 0.20 *	< 0.40 *	< 0.20 *
U	< 0.20 *	< 0.50 *	< 0.20 *	< 0.30 *	< 0.20 *

FIG. 74 :Coupes transversales à la petite falaise de listvénites (secteur Giamusera) et emplacements des échantillons.

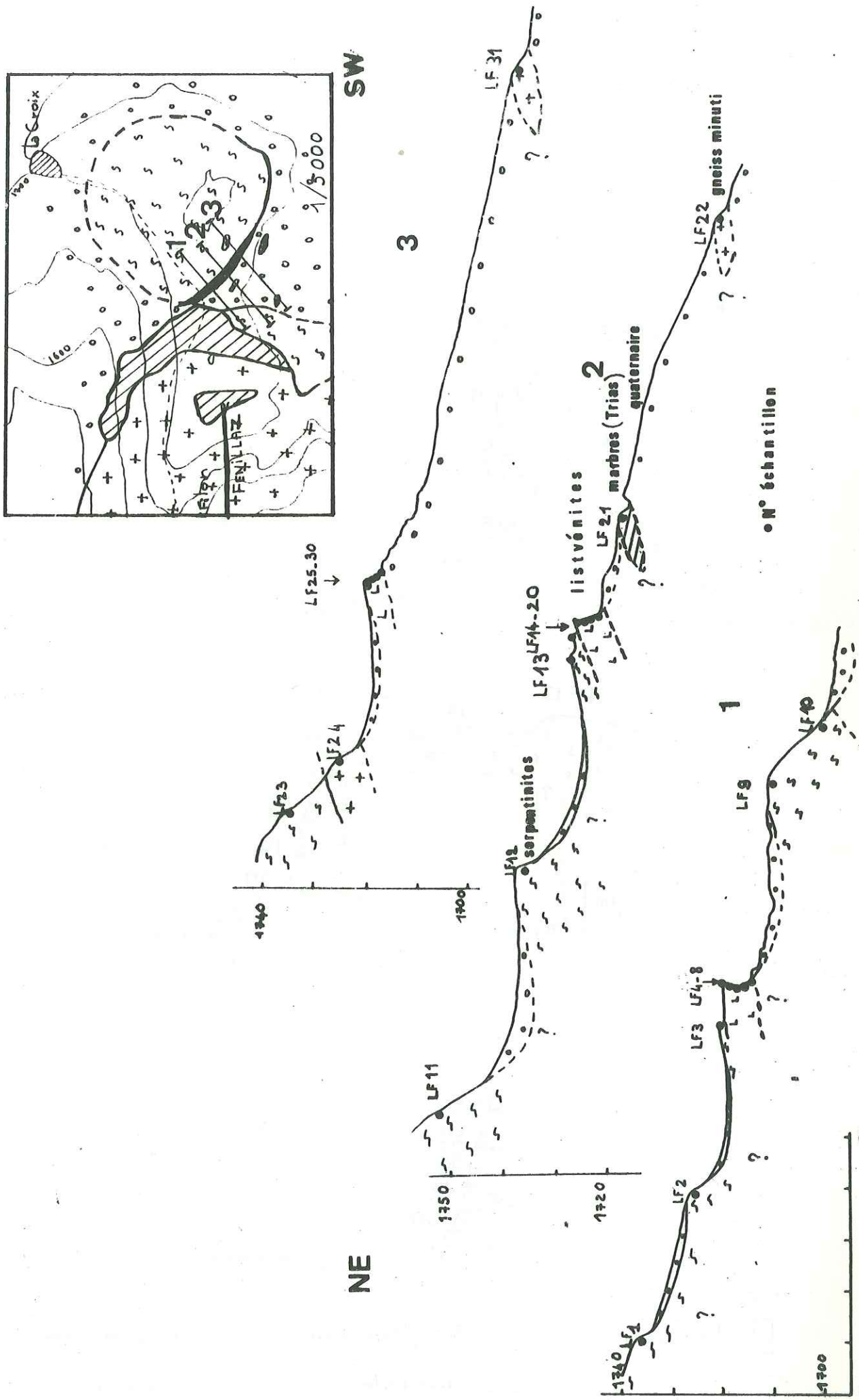


Fig. 75:Coupes détaillées de la petite falaise de listvénites ( secteur Ciamusera) et emplacements des échantillons.

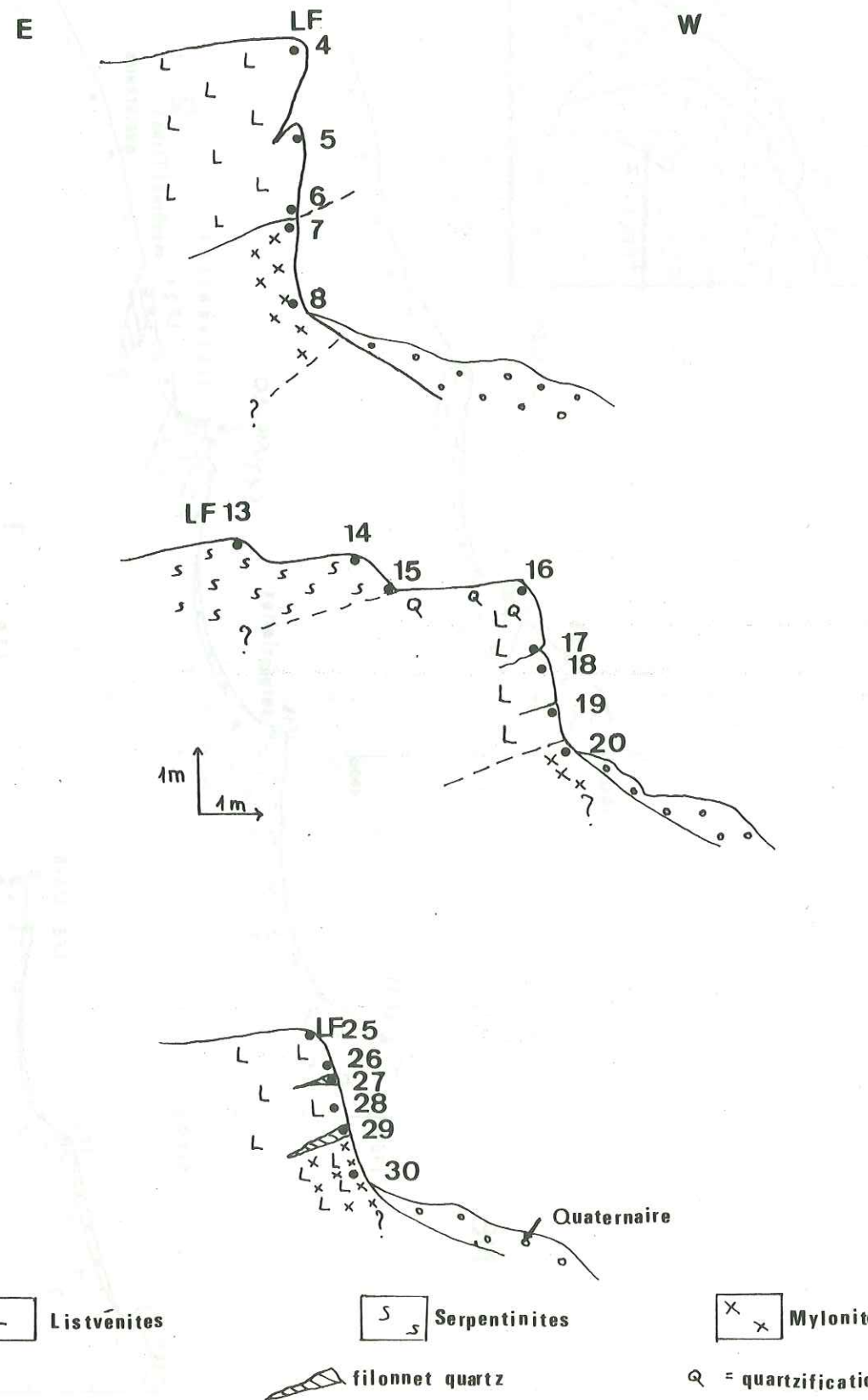


Fig. 77:Histogrammes de fréquence des teneurs en V,Cr,Mn,Cu,Ni,Co des pyrites des filons Fenillaz,Béchaz,Sache.

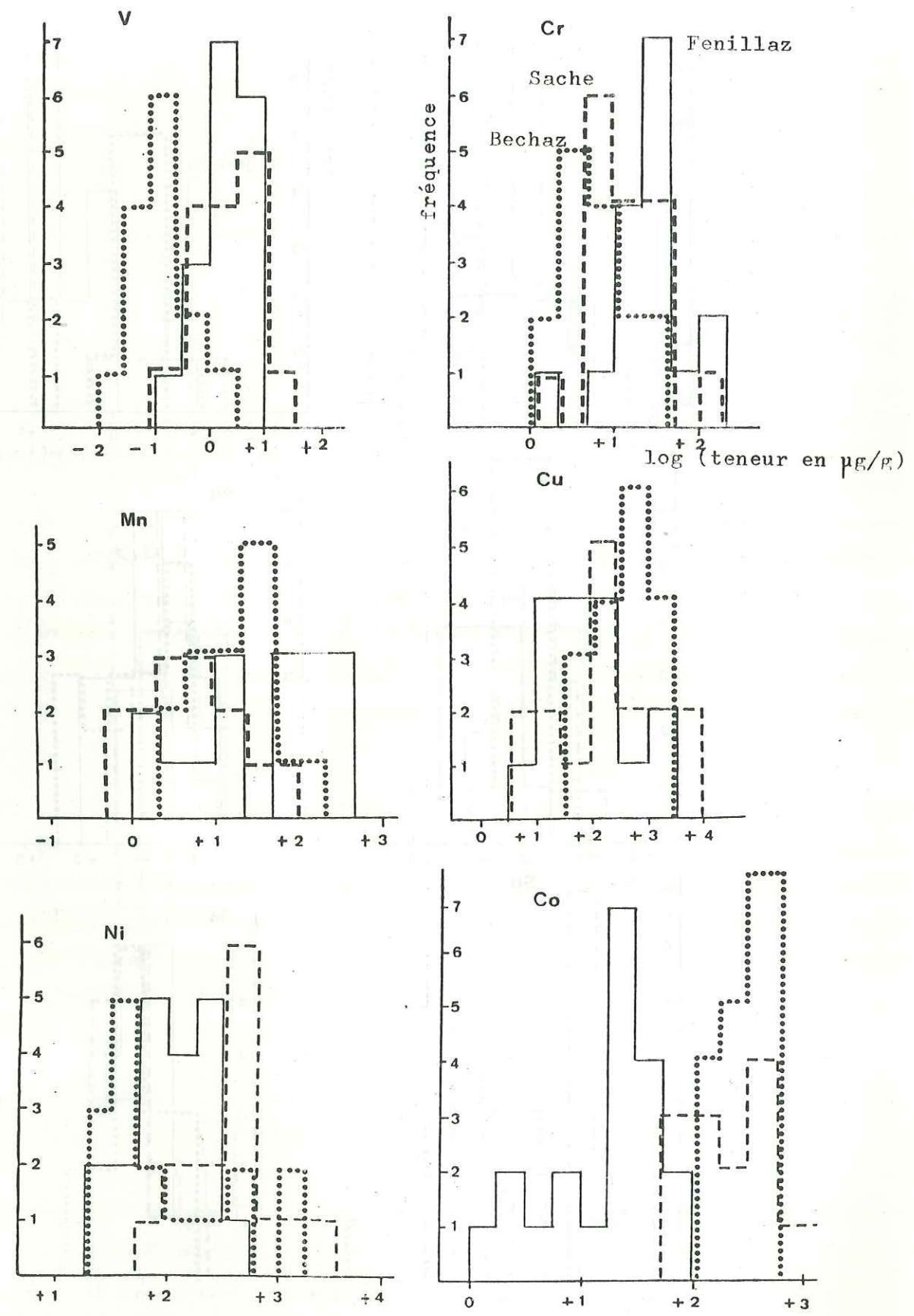


Fig. 78: Histogrammes de fréquence des teneurs en As, Se, Mo, Ag, Sb, Te des pyrites des filons Fenillaz, Béchaz, Sache.

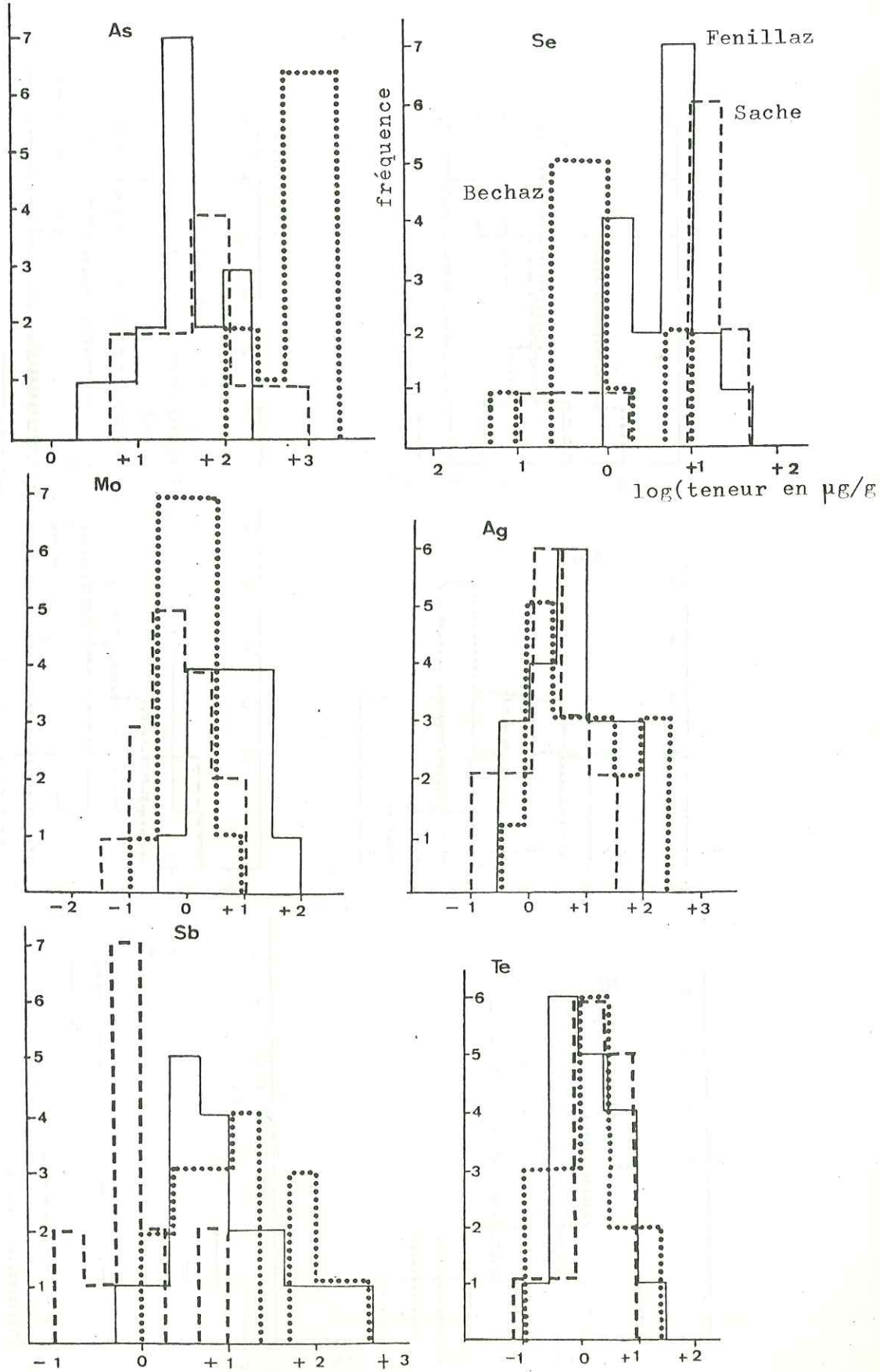


Fig. 79 Histogrammes de fréquence des teneurs en Pb, Bi, Au, Hg, W, U des pyrites des filons Fenillaz, Béchaz, Sache .  
< LD = teneur inférieure à la limite de détection.

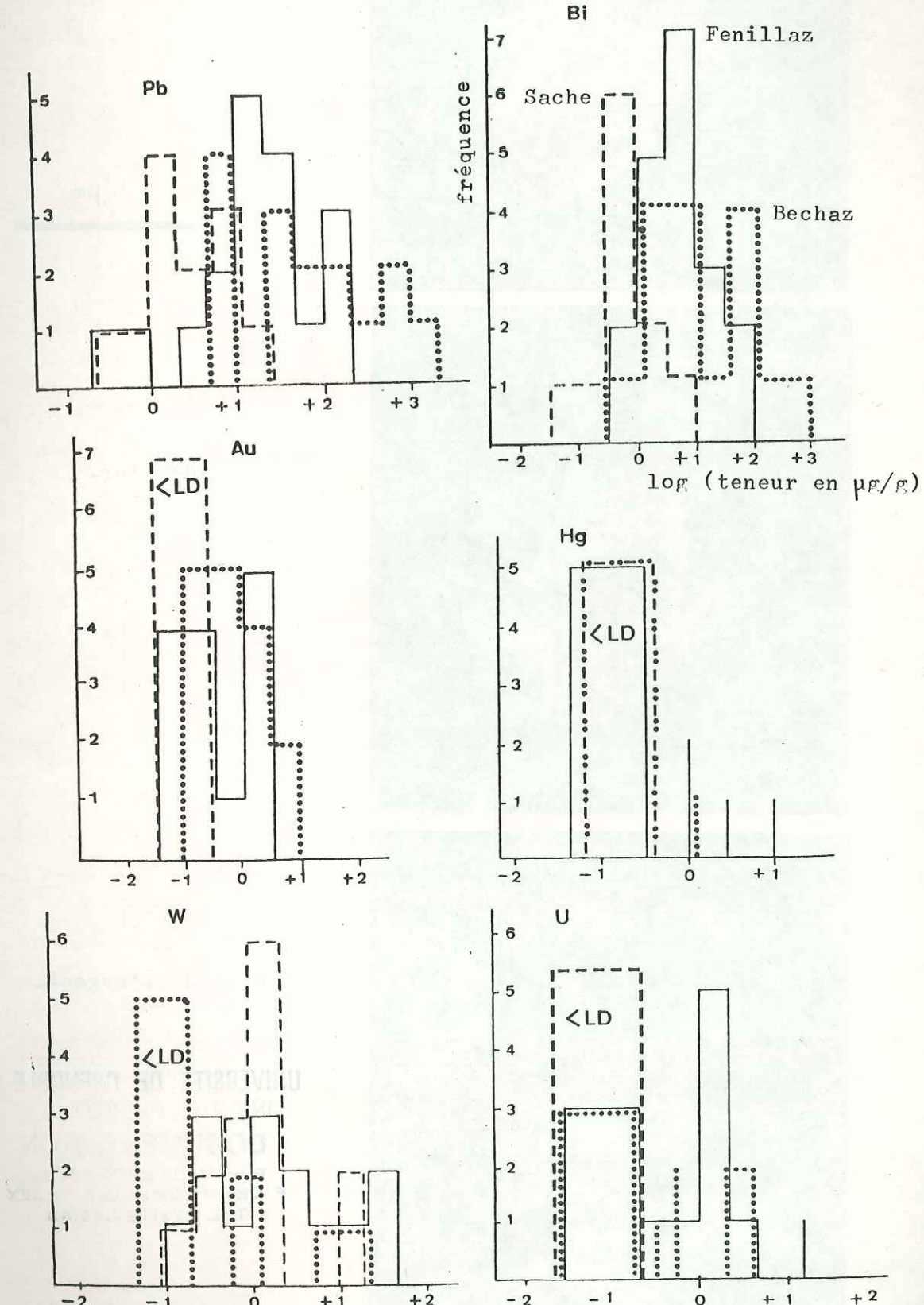
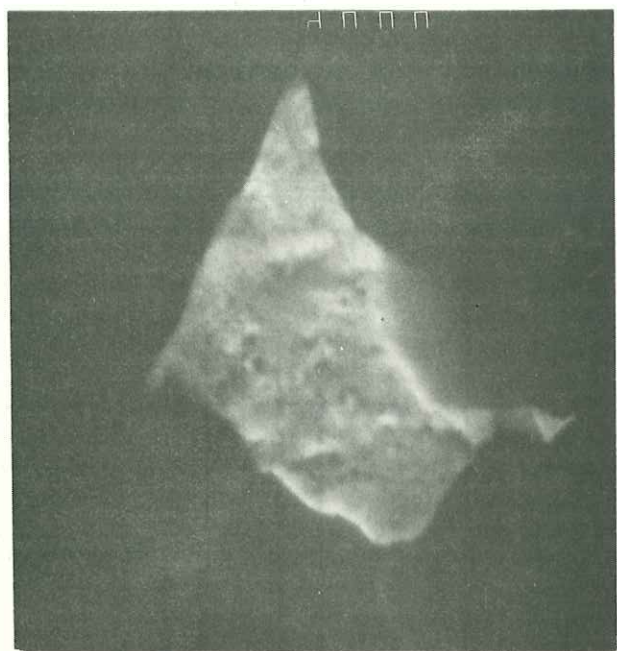


Fig. 80 : Etude par microsonde électronique d'une micro-inclusion d'or natif dans une pyrite du filon Béchaz n°3.



Photographie de l'inclusion  
d'or natif.

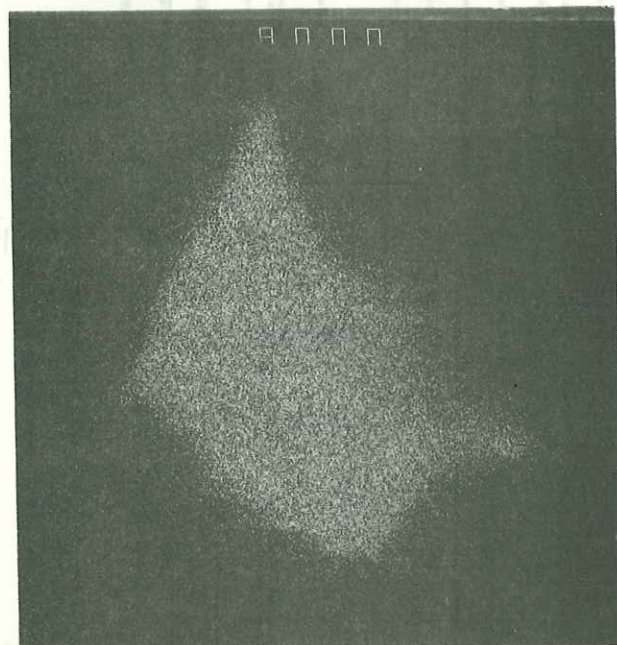


Image de l'or.

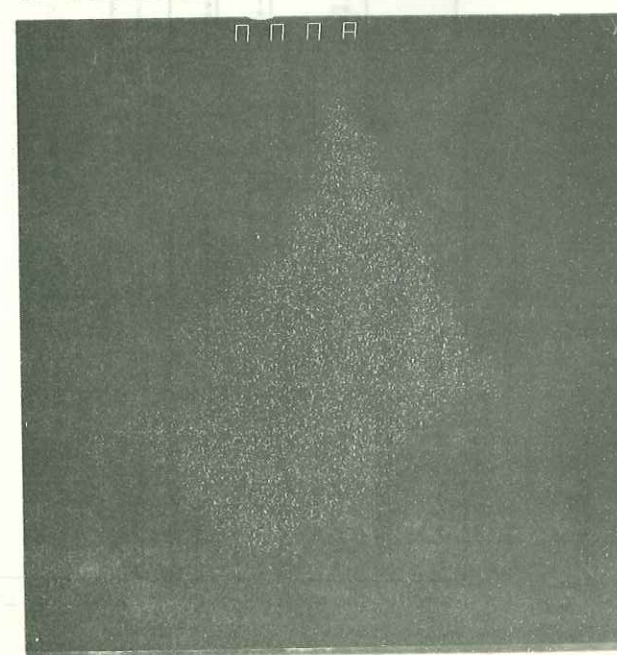


Image de l'argent.

UNIVERSITE DE GRENOBLE 1  
INSTITUT DE GEOLOGIE  
DOCUMENTATION  
RUE MAURICE GIGNOUX  
F 38031 GRENOBLE CEDEX  
TEL. (76) 87.46.43

- 6 MAI 1981

